

**VERMILION
ENERGY**



Vermilion Energy Netherlands B.V.

**Bodemdaling Statusrapport 2020 - Drenthe
Overijssel Friesland**

Versie 1.1

1-Jul-20

Samenvatting

Bij gaswinning treedt bodemdaling op. De mate van bodemdaling wordt ingeschat in het winningsplan dat voor de gaswinning gemaakt wordt. Vervolgens meet Vermilion de bodemdaling die optreedt. In dit rapport wordt verslag gedaan van de duiding van die metingen in de delen van Drenthe, Overijssel en Friesland waar Vermilion actief is. Ook andere processen veroorzaken bodemdaling (de zgn. autonome bodemdaling). Bij de duiding wordt daarmee rekening gehouden. De impact van de autonome bodemdaling is groter in het noordwesten van het verslaggebied, dan in het zuidoosten.

Vermilion heeft ook in 2018 en 2019 Statusrapporten Bodemdaling uitgebracht. Dat laatste documenteerde de bodemdalingmetingen tot en met begin 2019. Na die verslagperiode, dus van het derde kwartaal van 2019 tot en met medio 2020 zijn voor Vermilion bodemdalingmetingen uitgevoerd in Friesland, en Drenthe, om de bodemdaling door gaswinning uit de voorkomens Geesbrug, De Blesse, Sonnega, Blesdijke, Diever, Eesveen, Vinkega en De Hoeve te monitoren. Dit ‘Statusrapport 2020’ besteedt dus specifiek aandacht aan die metingen.

Bij Geesbrug gaf de waterpassing geen significante daling, minder dan verwacht. Ook boven De Blesse, Vinkega, en de andere velden in dit gebied, verloopt de daling zoals verwacht. De permanente GPS-metingen en waterpassing boven Harlingen-Bovenkrijt laten een daling zien binnen de bandbreedte in overeenstemming met de modellen.

Voor de gemeten voorkomens zijn de verwachtingen niet significant aangepast.

Een volledige kaart en een tabel van de bijdragen van individuele voorkomens worden in dit rapport gegeven.

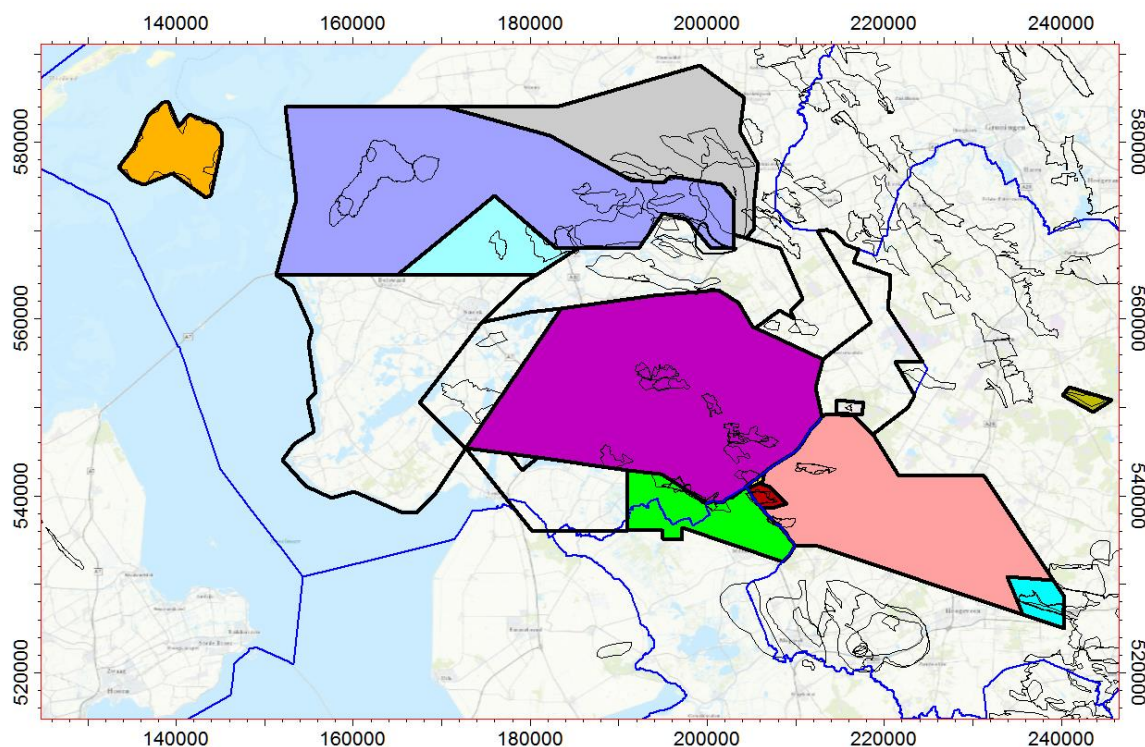
Inhoud

Samenvatting	2
1 Inleiding	6
2 Achtergrond	8
2.1 Hoe wordt bodemdaling veroorzaakt?	8
2.1.1 Gaswinning	8
2.1.2 De oorzaken van bodemdaling bij gaswinning	8
2.1.3 Tijdvertraging	8
2.1.4 Andere oorzaken	9
2.1.5 Autonome bodemdaling	9
2.2 Hoe wordt bodemdaling gemeten?	10
2.2.1 Waterpassing	10
2.2.2 GPS metingen	11
2.2.3 InSAR	13
2.2.4 Peilmerken & meetnet	14
2.3 Meetplan & Winningsplan	17
2.3.1 Rijkswaterstaat	18
2.3.2 NLOG	18
2.4 Analyse metingen	19
2.5 Modelleren bodemdaling	20
2.5.1 Basismodelleren	20
2.5.2 Onzekerheden	22
2.5.3 Oude velden	25
2.5.4 Meer gedetailleerdere modelleren	25
2.6 Effecten bodemdaling	25
2.6.1 Schade aan bouwwerken	25
2.6.2 Waterpeil	26
2.6.3 Schadeafhandeling	26
2.6.4 Zuidwal	27
3 Uitgevoerde metingen & resultaten	28
3.1 Overzicht uitgevoerde metingen in 2019	29
3.2 Overzicht huidige en toekomstige bodemdaling	29
3.3 Overzicht geplande metingen	35
4 Verklarende woordenlijst	36
5 Referenties	38
5.1 Algemeen	38
5.2 Zuidwal	38
5.3 Leeuwarden-West, Harlingen-101	39
5.4 Leeuwarden-Oost/Oosterend	39
5.5 Langezwaag	39
5.6 Oldelamer	40

5.7	De Blesse, Blesdijke, Sonnega-Weststellingwerf	40
5.8	Noordwolde, Weststellingwerf, Vinkega, De Hoeve, Nijensleek en Eesveen, Diever	40
5.9	Grolloo.....	40
5.10	Geesbrug.....	40
6	Bijlage: Gebruik van data uit NAP-Info	41
7	Bijlage: Autonome bodemdaling	43
8	Bijlage: Overzicht modelleringsparameters	46
9	Bijlage: Meetplan 'Zuidwal'	48
10	Bijlage: Meetplan 'Leeuwarden-West'	51
10.1	Inleiding	51
10.2	Meest recente metingen.....	51
10.3	Bestaande modelering	55
10.4	Duiding meest recente metingen	56
10.5	Status- en Prognosekaarten	59
10.6	Conclusies.....	59
11	Bijlage: Meetplan 'Harlingen-101/Kimswerd'	62
11.1	Voorkomen	62
11.2	Metingen.....	62
11.3	Belangrijkste conclusies.....	62
11.4	Prognoses	62
12	Bijlage: Meetplan 'Leeuwarden-Oost/Oosterend'	64
12.1	Voorkomens	64
12.2	Metingen.....	65
12.3	Belangrijkste conclusies.....	65
12.4	Prognoses	70
13	Bijlage: Meetplan 'Langezwaag'	73
13.1	Voorkomen	73
13.2	Metingen.....	73
13.3	Belangrijkste conclusies.....	73
13.4	Prognoses	74
14	Bijlage: Meetplan 'Oldelamer'	75
14.1	Voorkomen	75
14.2	Metingen.....	75
14.3	Belangrijkste conclusies.....	75
14.4	Prognoses	76
15	Bijlage: Meetplannen 'Sonnega-Weststellingwerf', 'Blesdijke' en 'De Blesse'.....	78
15.1	Voorkomens	78
15.2	Metingen.....	78
15.3	Belangrijkste conclusies.....	78
15.4	Prognoses	80
16	Bijlage: Meetplannen 'Diever-Nijensleek-Eesveen' en 'Noordwolde-Weststellingwerf-Vinkega-De Hoeve'.....	83

16.1	Metingen.....	83
16.2	Voorkomens	84
16.3	Belangrijkste conclusies	85
16.4	Prognoses	86
17	Bijlage: Meetplan 'Grolloo'	94
17.1	Voorkomen	94
17.2	Metingen.....	94
17.3	Belangrijkste conclusies	94
17.4	Prognoses	94
18	Bijlage: Meetplan 'Geesbrug'	97
18.1	Voorkomen	97
18.2	Metingen.....	97
18.3	Belangrijkste conclusies	97
18.4	Prognoses	97

1 Inleiding



Figuur 1-1 Vermilion's concessiegebieden in Friesland, Overijssel en Drenthe. Ingekleurde gebieden zijn productievergunninggebieden.

Vermilion Energy Netherlands B.V. (VEN) wint in Nederland aardgas uit de diepe ondergrond, met dieptes variërend tussen 1,5 en 3,5 kilometer. De winning vindt plaats vanuit een aantal locaties verspreid over Nederland. Deze rapportage betreft de locaties in Drenthe, Overijssel en Friesland. In Figuur 1-1 zijn de concessies en voorkomens in Friesland, Overijssel en Drenthe afgebeeld.

De winning van aardgas uit een gasreservoir zorgt voor een drukvermindering in de poriën van het gesteente. Deze drukvermindering zorgt ervoor dat het reservoir enigszins wordt samengedrukt onder het gewicht van de bovenliggende lagen. Die samendrukking wordt *compactie* genoemd. De compactie in een reservoir is aan het aardoppervlak terug te zien in een bodemdalingssom.

Omdat de bodemdaling gevolgen kan hebben, bijvoorbeeld voor de waterhuishouding, zijn mijnbouwbedrijven, zoals VEN, verplicht om in winningsplannen te laten zien hoeveel bodemdaling ze verwachten. Ook zijn ze verplicht om de bodemdaling in de gaten te houden. Dat gebeurt door middel van bodemdalingmetingen. Die metingen moeten aan regels voldoen, zowel landmeetkundig, als in relatie tot de mijnbouwoperatie (in het geval van Vermilion dus gaswinning). De metingen worden gecontroleerd door Rijkswaterstaat (RWS) en Staatstoezicht op de Mijnen (SodM).

Na het doen van de metingen moet de mijnbouwer de resultaten overleggen aan SodM. Als duiding van de resultaten laat zien dat er een afwijking is van de verwachtingen (significant, i.e. groter dan de meetonauwkeurigheid), vindt overleg plaats tussen de mijnbouwer en SodM. Vermilion overlegt ook regelmatig met de waterschappen, omdat bodemdaling gevolgen kan hebben voor het waterpeil, en voor waterafvoer.

Dit rapport is bedoeld om de resultaten van, met name recente, metingen inzichtelijk te maken.

Dit rapport bespreekt eerst kort hoe bodemdaling tot stand komt. Vervolgens beschrijft het rapport hoe de metingen worden uitgevoerd, en hoe de metingen gereguleerd worden. Voor de Vermilion voorkomens wordt een samenvatting van de resultaten gegeven. Deze resultaten zijn waar relevant geactualiseerd met de metingen van 2019, en begin 2020. Voor gebieden waar geen metingen hebben plaatsgevonden, zijn de resultaten ongewijzigd. De individuele metingen worden in meer detail in de bijlagen besproken.

2 Achtergrond

2.1 Hoe wordt bodemdaling veroorzaakt?

2.1.1 Gaswinning

Aardgas zit i.h.a. op ongeveer 1.5-3.5 kilometer diepte onder druk in een poreuze gesteentelaag, zoals zandsteen- of kalksteen-lagen. De laag waaruit het gas geproduceerd wordt, wordt het reservoir genoemd. Het reservoir wordt afgesloten door een niet-doorlatend gesteente, bijvoorbeeld een kleisteen, anhydriet, of steenzout. De precieze diepte, en de aard van zowel het reservoirgesteente als de afsluitende laag verschillen van voorkomen tot voorkomen.

De lagen zijn in het algemeen over grote afstanden aanwezig. Door bewegingen van en botsingen tussen de aardplaten in de geologische geschiedenis is er reliëf ontstaan in de lagen. Het gas zal, omdat het lichter dan water is, zich verzamelen in de hoogste plaatsen; boringen zullen dan ook op zulke plaatsen gericht zijn.

Bij gaswinning laat men het gas ontsnappen door een put die in het hoogste punt van het reservoir geplaatst wordt. Als gevolg van het ontsnappen van het gas zal de druk in het reservoir dalen (*druk-depletie*). De winning stopt als de druk zo laag is dat er onvoldoende gas door de put naar boven stroomt, of als de drukdaling ertoe leidt dat het reservoirgesteente rond de put volloopt met water.

2.1.2 De oorzaken van bodemdaling bij gaswinning

Het gevolg van de drukdaling in het reservoir is dat het reservoir compacteert, d.w.z. dat de poriën een klein beetje inzakken als gevolg van het gewicht van de bovenliggende aardlagen doordat de tegendruk van het gas vermindert.

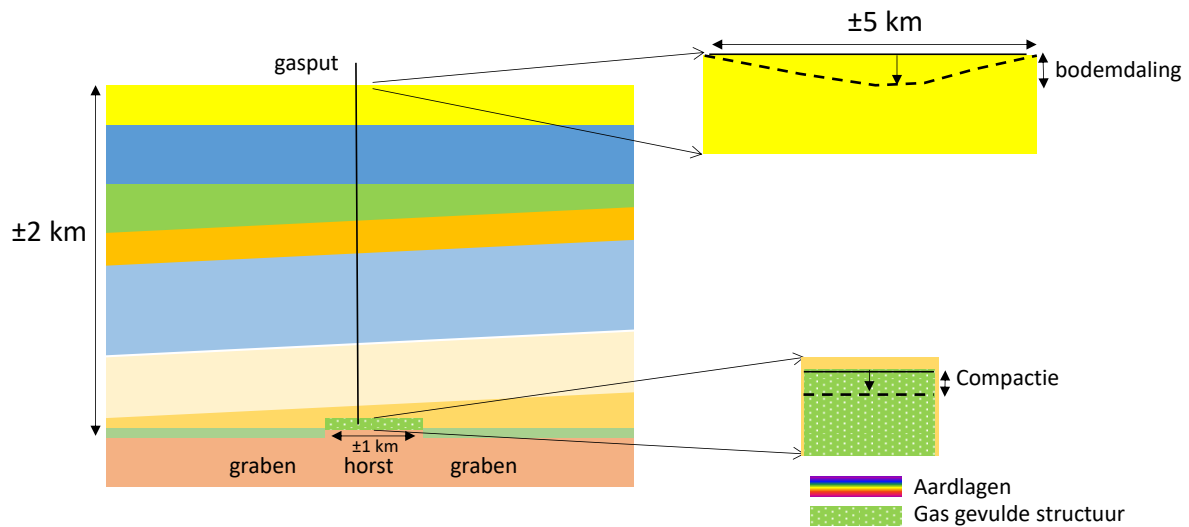
De mate van compactie hangt af van de gesteente-eigenschappen, en van de hoeveelheid drukdaling. Een vuistregel is dat de compactie 0,1% tot 0,2% van de hoogte van het reservoir bedraagt bij maximale drukdaling in het reservoir, aan het einde van de levensduur van het voorkomen. (Bijvoorbeeld als een laag 20 m dik is, dan bedraagt de compactie rond de 2 tot 4 cm.)

Als het reservoir compacteert, zullen ook de lagen erboven een beetje inzakken. Doordat de winning op grote diepte plaatsvindt, en door de zeer gelijkmatige opbouw van de ruwweg bovenste kilometer gesteente, en de aard van dat gesteente, verdeelt het volume van de compactie zich, zodat aan de oppervlakte een bodemdalingskom ontstaat. De dalingskom heeft de vorm van een heel geleidelijk verlopende, platte schotel. Aan de randen gaat de daling geleidelijk naar nul, in het midden vindt de grootste daling plaats. Het volume van de kom is ongeveer even groot als de volumeverandering van het reservoir. Het oppervlak van de kom is groter dan het oppervlak van het reservoir; aan alle kanten komt er een afstand bij ongeveer gelijk aan de diepte van het reservoir. Hierdoor is bij kleine velden de bodemdaling op het diepste punt van de kom aan de oppervlakte minder dan de compactie op diepte in het reservoir. Figuur 2-1 geeft dit schematisch weer voor een reservoir op 2 km diepte met een doorsnede van 1 km.

2.1.3 Tijdvertraging

Wanneer gas uit een voorkomen wordt gewonnen, zal de druk in dat voorkomen meteen dalen. Maar het effect van de drukdaling in termen van bodemdaling is aan het oppervlak pas

na enkele jaren merkbaar. Die tijdvertraging wordt meegenomen bij de analyse van de metingen.



Figuur 2-1: Schetsmatige, generieke, doorsnede van een gasreservoir. Diepte, vorm, daling en compactie verschillen van geval tot geval. De kom is breder dan het veld, en het diepteverloop is zeer geleidelijk.

2.1.4 Andere oorzaken

Naast bodemdaling door gaswinning, veroorzaakt ook zoutwinning bodemdaling. Ook grondwaterwinning veroorzaakt bodemdaling.

2.1.5 Autonome bodemdaling

Naast bodemdaling door mijnbouwactiviteiten, vindt er ook zogenaamde *autonome* bodemdaling plaats. Dat is bodemdaling onafhankelijk van de mijnbouw. Dat gebeurt door verschillende mechanismes, waaronder veen- en klei-inklinking. Daarnaast spelen ook effecten die met de beweging van de aardkorst te maken hebben (zgn. *tektonische* effecten) een rol (ref. 3).

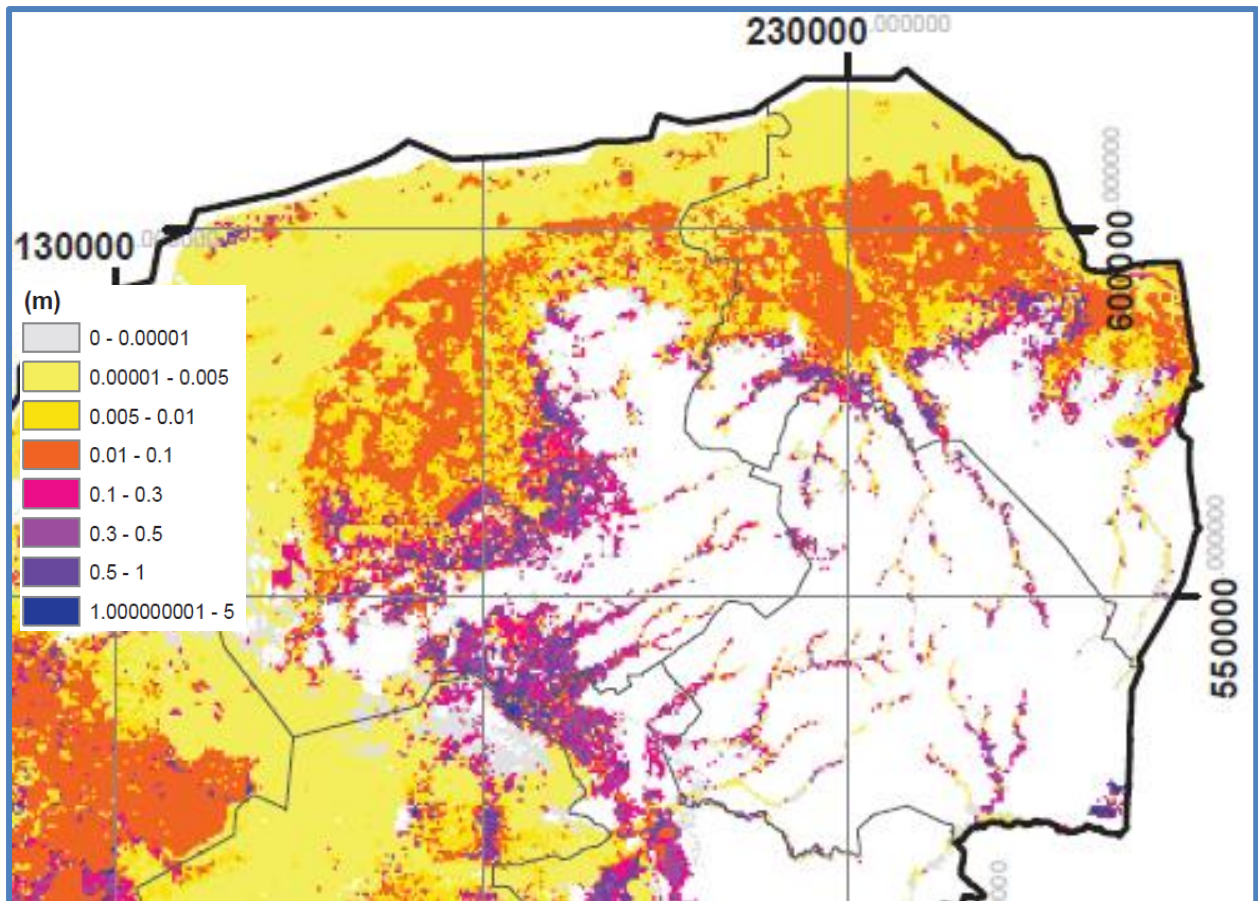
Doordat de autonome daling opgebouwd is uit inklinking in verschillende lagen, bouwt die naar boven toe op, en heeft het maaiveld de grootste autonome daling. Diepere lagen vertonen minder autonome daling, omdat de inklinking van de lagen erboven niet bijdraagt.

Door Deltares is de autonome maaiveldddaling in heel Nederland in kaart gebracht (ref. 5.1; Figuur 2-2). Die bodemdaling is gerelateerd aan de samenstelling van de ondiepere ondergrond (bijvoorbeeld aan de aanwezigheid van veen en klei).

De bijdrage van autonome dalingen aan de metingen wordt in meer detail in de Bijlage (Hoofdstuk 7) besproken.

Een voorbeeld van een schatting van de gecombineerde effecten kan gevonden worden op de website 'bodemdalingskaart.nl' (ref. 2).

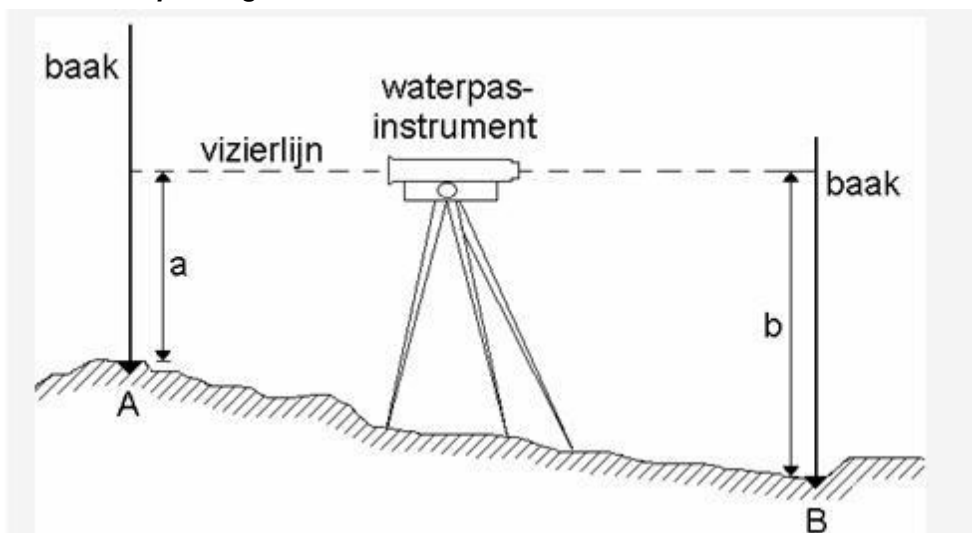
Een overzicht van de verschillende dalingen en meetmethoden kan ook gevonden worden in ref. 3.



Figuur 2-2: Maaiveldaling 50 jaar na 2011 (Uitsnede; Deltares, ref. 5.1). Gasdaling is in deze kaart niet meegenomen.

2.2 Hoe wordt bodemdaling gemeten?

2.2.1 Waterpassing



Figuur 2-3 Schets bepaling hoogteverschil m.b.v. waterpassing.

De waterpassingmethode is de meest gebruikte methode om bodemdaling te meten. Bij deze methode wordt het hoogteverschil tussen verschillende, naast elkaar gelegen, peilmerken gemeten met behulp van een optisch waterpasinstrument. Door het hoogteverschil tussen

peilmerken in kringen te meten en in heen- en teruggang, kan de meetonzekerheid beperkt worden.

De nauwkeurigheid van deze meetmethode is afhankelijk van de grootte van het meetnet en de meetfrequentie, maar kan over het algemeen op circa 3-5 mm gesteld worden.

Zoals boven is opgemerkt, kan de daling van een peilmerk, hoe nauwkeurig ook gemeten, ook deels veroorzaakt worden door niet-winnings-gerelateerde effecten. Het gevolg daarvan is dat de schatting van de mate van bodemdaling door mijnbouwactiviteiten een grotere onnauwkeurigheid heeft dan de onnauwkeurigheid van de peilmerkhogtes. Dit effect verschilt van gebied tot gebied, en moet voor ieder meetplan individueel vastgesteld worden.

Waterpassingen geven een goed beeld van de ruimtelijke vorm van de dalingskom. Meestal worden ze minder dan jaarlijks uitgevoerd; een frequentie van eens in de vijf jaar is gebruikelijk.

2.2.2 GPS metingen

Global Navigation Satellite System (GNSS) of Global Positioning System (GPS) kan als alternatieve meetmethode gebruikt worden. Via GPS meetstations is het mogelijk om hoogtes (dus: zettingen) op bepaalde punten te monitoren, zonder dat het gehele waterpassing meetnet gemeten hoeft te worden.

Vermilion gebruikt twee soorten GPS hoogtemetingen om bodembeweging te detecteren:

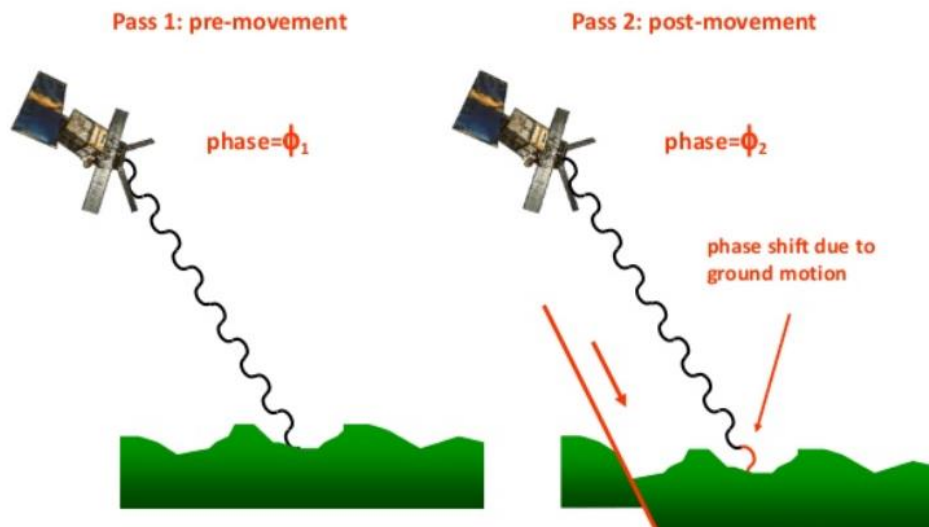
1. Continue GPS metingen
2. Regelmatige GPS metingen

Regelmatige GPS metingen

Bij de regelmatige GPS-metingen worden er m.b.v. GPS hoogte metingen uitgevoerd in het centrum van de bodemdalingskom op een geplaatst meetmerk van de hoogste stabiliteit, vaak een diep gefundeerd peilmerk. Er wordt ook een GPS hoogtemeting uitgevoerd bij een stabiel referentiepunt dat buiten de theoretische invloedssfeer valt, zodat het meetgrid nauwkeurig aan het NAP gekoppeld kan worden.

Meetplannen met GPS-metingen worden over het algemeen ook regelmatig gewaterpast. De peilmerken waaraan de GPS-meting plaatsvindt, worden dan ook in de waterpassing betrokken zodat de metingen vergeleken kunnen worden.

GPS-metingen betreffen een klein aantal punten. Ze worden over het algemeen frequenter uitgevoerd, soms jaarlijks. Het voordeel van de jaarlijkse GPS-meetcampagnes is dat het de meetfrequentie van het betreffende meetnet verhoogt. GPS-metingen kunnen dus ook als signaleringsmetingen worden gebruikt: als de meting significant afwijkt van de prognose, kan een waterpassing eerder dan gepland worden uitgevoerd.



Figuur 2-4 Door bodemdaling moet het radarsignaal een iets langere weg afleggen. Daardoor verandert de fase van de gereflecteerde radargolf. Een meting van die faseverandering wordt bij InSAR omgerekend tot bodembeweging (bron: Gareth Funning, University of California, Riverside).

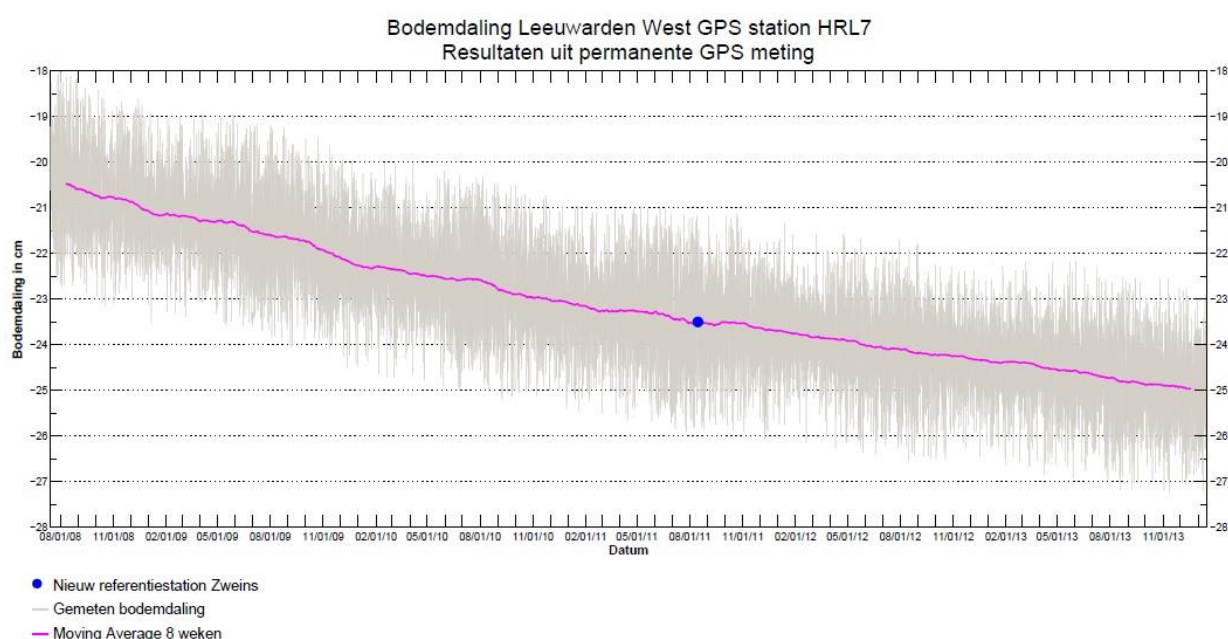


Figuur 2-5 Tijdelijk GPS-station zoals gebruikt bij een regelmatige GPS meting

Continue GPS-metingen

Voor situaties met grotere bodemdaling kan er gekozen worden voor een continue GPS meting. In zo'n geval wordt er een permanent GPS-station geïnstalleerd, dat voortdurend de hoogte meet. Voor het Harlingen Boven Krijt gasvoorkomen zijn zulke GPS-meetstations op de productielocaties Harlingen 4 en Harlingen 7 geplaatst. Deze GPS-stations zijn niet diep gefundeerd, en de daling die ze meten bevat dus in principe niet-gaswinnings-gerelateerde componenten.

Figuur 2-6 hieronder geeft een voorbeeld van een meetserie van zo'n station. Duidelijk is de relatief grote ruis (gedeeltelijk seizoensafhankelijk), waardoor statistische bewerkingen gedaan moeten worden om de resultaten te verwerken. De figuur geeft ook een indicatie van de nauwkeurigheid van de meting, zeker als die een kortere periode bestrijkt (zoals bij regelmatige GPS-metingen).



Figuur 2-6 Voorbeeld van resultaten continue GPS-meting (op locatie 'Harlingen 7'; zie Bijlage, Hoofdstuk 10, voor een bespreking van deze meting).

2.2.3 InSAR

Satelliet radar interferometrie (InSAR) is een radar techniek, waarbij de bodembeweging in een gebied wordt bepaald door het vergelijken van verschillende satelliet beelden gemaakt op verschillende tijdstippen. De deformatie wordt aan de hand van faseverschilmetingen van reflectors (of Persistent Scatters (PS)) bepaald. Zo'n Persistent Scatter is een reflecterend object, zoals een weg of gebouw. De nauwkeurigheid van de InSAR deformatie techniek kan 3mm voor stedelijke gebieden zijn, en 7mm voor landelijke gebieden in Nederland (ref. 18).

InSAR is dus in principe in staat om relatief kleine verplaatsingen te zien, met een hoge meetfrequentie, al is de nauwkeurigheid iets lager dan bij GPS of waterpassing (ref. 3). Wat wel bedacht moet worden is dat er geen controle is op de aard van de Scatters, op hoe diep die gefundeerd zijn, en op welke dalingscomponenten die bevatten. Ook bij InSAR is de relatie tussen gemeten hoogtes en mijnbouw-gerelateerde bodemdaling dus niet altijd 1 op 1.

NAM heeft InSAR gebruikt bij de metingen in Noord-Nederland, o.a. boven het Groningen gasvoorkomen (ref. 15). Het is ook toegepast in Leeuwarden-West (zie ref. 30, 33). In beide gevallen gaat het om dalingskommen van enkele decimeters diep. Vermilion heeft ook InSAR gebruikt bij Zuidwal, waar de Scatters precies bekend zijn (het platform staat immers alleen in de Waddenzee), en daar gaf de meting een waardevolle aanvulling, met name voor de tijdsresolutie (zie Bijlage, hoofdstuk 9). De spreiding in de InSAR data (Figuur 9-1) geeft een indicatie over de nauwkeurigheid van de methode.

2.2.4 *Peilmerken & meetnet*

De bodemdalingssmetingen worden voor Vermilion uitgevoerd door “Antea Group” volgens de richtlijnen opgesteld door de Rijkswaterstaat (ref. 17).

Peilmerken

De dalingsmeting wordt, bij GPS en waterpassingen, gedaan aan *peilmerken*. Dat zijn vaste punten die op een groot aantal plekken zijn aangebracht, zoals bestaande gebouwen, vaak huizen, maar bijvoorbeeld ook viaducten. Er zijn ook peilmerken die speciaal zijn aangelegd voor dalings- of NAP-metingen. Deze zijn i.h.a. dieper gefundeerd.

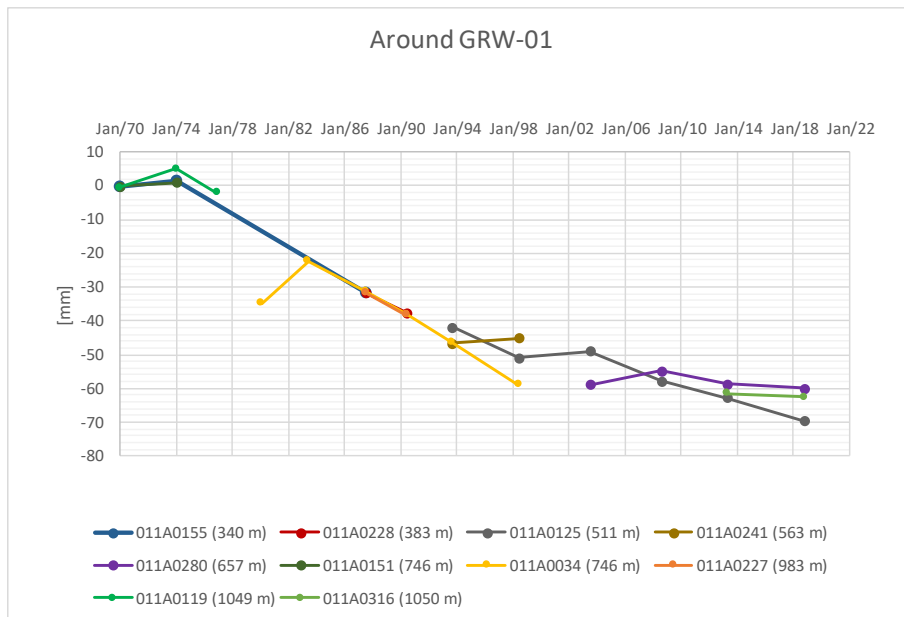
Stabiliteit

Bij peilmerken aan bestaande gebouwen wordt een uitwendige controle uitgevoerd om te bepalen of het gebouw stabiel is, voordat het peilmerk wordt aangebracht. De diepe peilmerken zijn gefundeerd op het pleistocene zand, en vaak wordt vooraf een sondering uitgevoerd om te bepalen hoe diep dat zand zit.

Ondanks de controles, kan het gebeuren dat een (ondiep gefundeerd) peilmerk *onstabiel* is, een daling vertoont die groter is dan de omliggende peilmerken. Dat kan bijvoorbeeld veroorzaakt worden door variaties in de ondiepe bodemopbouw, of door de aard van de fundering van het object waaraan het peilmerk is bevestigd. Bij de analyse van de bodemdalings-metingen moet met dergelijke onstabiele punten rekening gehouden worden.

Mutaties

De peilmerken die in een meetnet gebruikt worden ondergaan mutaties. Dat kan komen doordat bijvoorbeeld het gebouw waar ze aan bevestigd zijn gesloopt wordt, of doordat een weg verlegd wordt. Daarnaast zijn de landmeetkundige vereisten ook aan evolutie onderhevig. Tenslotte kan het voorkomen dat de omvang van het meetnet in de tijd vergroot wordt. Het gevolg van deze mutaties is dat, met name in oudere meetplannen, maar een relatief kleine fractie van de peilmerken een volledig tijdsbeeld geeft. Dat geeft een extra onzekerheid bij de bepaling van de bodemdaling. De figuur hieronder (uit het meetnet Leeuwarden-Oost) geeft een illustratie.



Figuur 2-7 Voorbeeld van een locatie waar de peilmerken in de buurt steeds over een ander tijdsinterval actief waren. Op dit moment zijn nog drie van de peilmerken actief. Geen van de peilmerken in de omgeving laat de hele periode zien. De peilmerken zijn opgelijnd om grafisch een mogelijke totale bodemdaling weer te geven. Maar omdat de peilmerken niet op precies dezelfde plaats zijn, en omdat de metingen ook enige onzekerheid hebben, is het totaal dat door deze oplijning gesuggereerd wordt, onzeker. Waar mogelijk wordt bij de calibratie dus ook geen gebruik gemaakt van de oplijning, maar wordt op ieder peilmerk apart de modeldaling over de specifieke tijdsperiode vergeleken (zie par. 2.5.2). De gaswinning uit GRW-01 begon in 1982, maar had in de eerste jaren een heel lage productiesnelheid.

Aansluitpunt

Bodemdalingsmetingen zijn *relatief*, met andere woorden de hoogte van een punt ten opzichte van een ander punt wordt bepaald. Om deze metingen te relateren aan mijnbouw-bodemdaling wordt er één punt uitgezocht waarvan het zeker is dat er geen mijnbouw-bodemdaling is, het *aansluitpunt*. Hoogtes worden dan steeds aan het aansluitpunt gerelateerd. Aangezien dat aansluitpunt geen mijnbouweffecten ziet, zullen variaties in hoogtes t.o.v. het aansluitpunt (mogelijk) wel aan mijnbouw-daling gerelateerd zijn. De NAP-hoogte van het aansluitpunt is bekend verondersteld, in het algemeen op basis van gegevens van Rijkswaterstaat. Op deze manier kunnen de relatieve hoogteverschil metingen gelinkt worden aan het Normaal Amsterdams Peil (NAP).

Vanwege het belang van het aansluitpunt, wordt er zorgvuldigheid betracht bij de keuze ervan, en wordt er specifiek gekeken naar mogelijke invloeden op het aansluitpunt bij de analyse van de metingen.

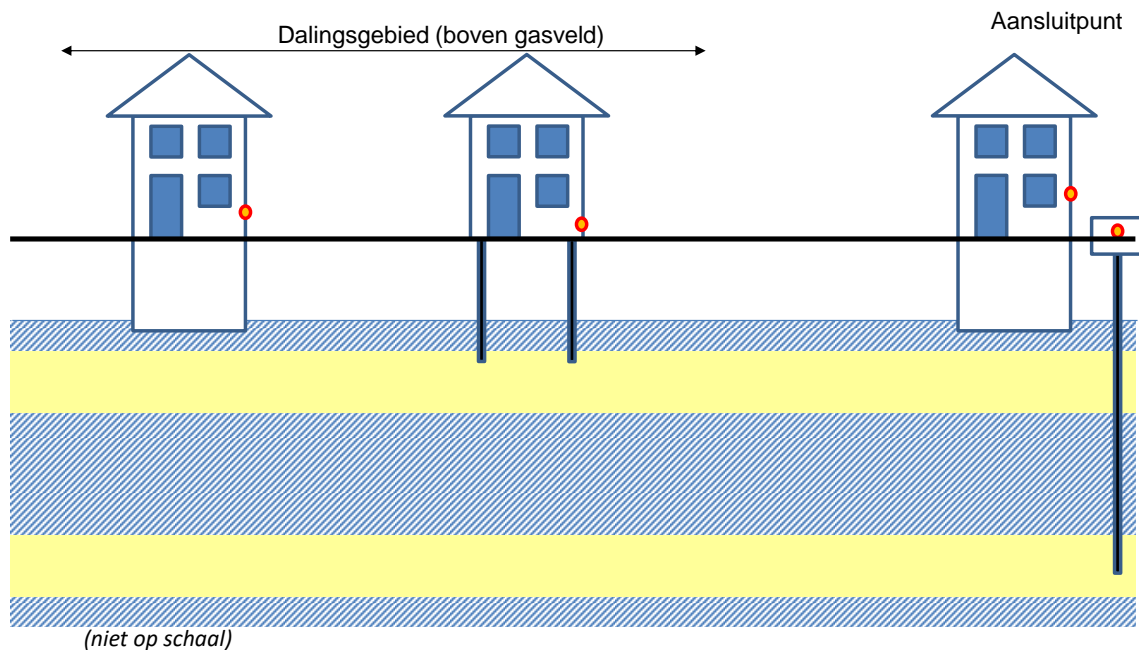
Autonome daling in de metingen

Hoe dieper je meet, hoe minder inklinkingseffecten (par. 2.1.5) de meting beïnvloeden. Immers inklinking die boven de meetdiepte plaatsvindt, wordt niet gemeten. De waargenomen bodemdaling is dus groter naarmate de meet-diepte kleiner is. Als dus het aansluitpunt dieper is dan de andere meetpunten, dan zal er een bodemdalingscomponent in die andere meetpunten zitten die niet in het aansluitpunt zit, en ook niet aan de mijnbouw-daling gerelateerd is. Op die manier kan het zo zijn dat er ook een autonome bodemdalingscomponent in een dalingsmeting zit.

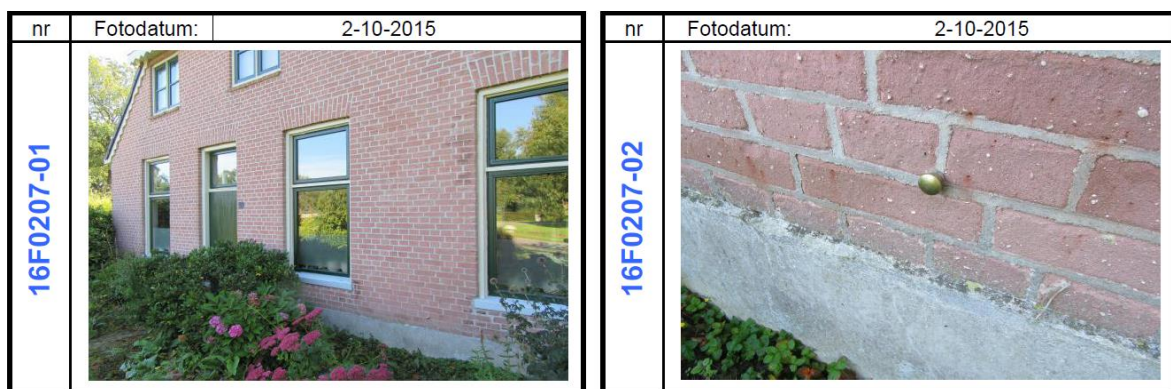
Daarnaast vertoont de autonome daling lokale variaties. Ook die kunnen leiden tot gemeten daling die niet aan mijnbouwactiviteit gerelateerd is.

Omdat de metingen die hier ter sprake komen bedoeld zijn om daling door mijnbouwactiviteiten aan het licht te brengen, daling door een diepe oorzaak dus, is het dus niet de bedoeling de daling van het maaiveld te meten.

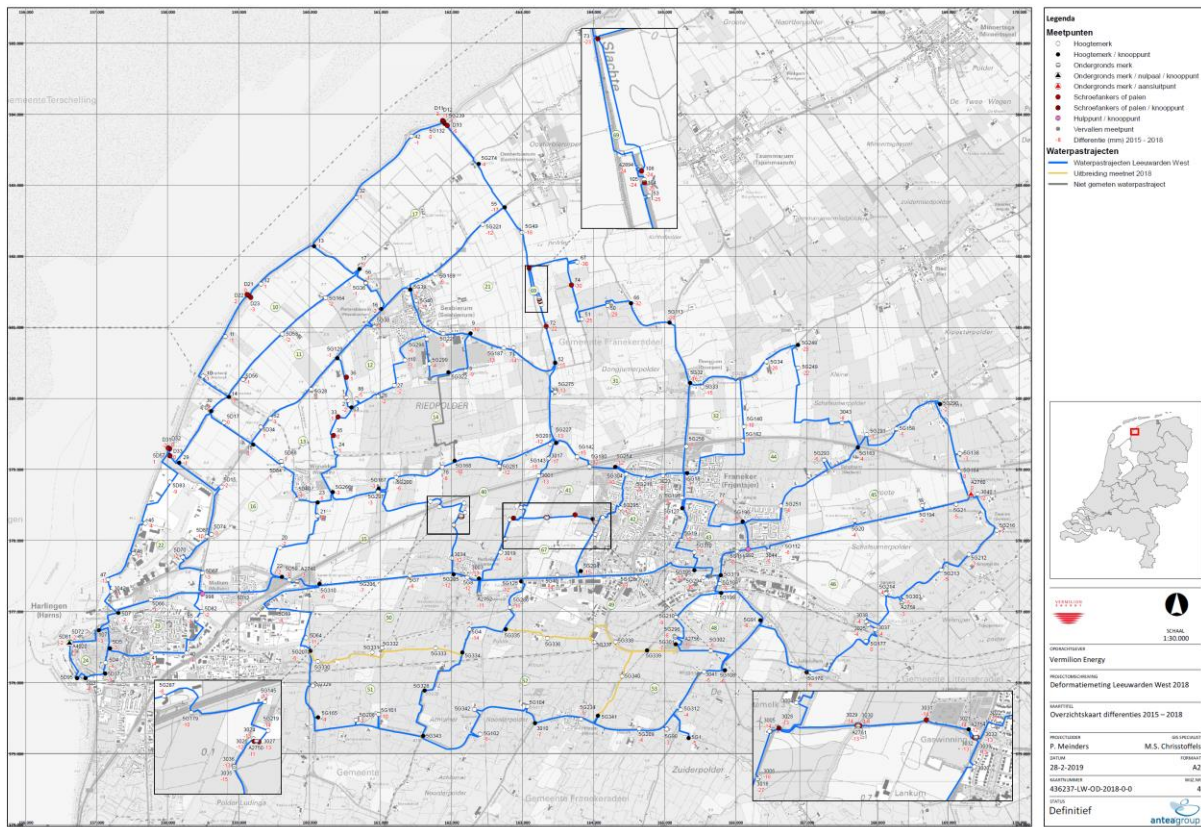
Bij de analyse van bodemdalingsmetingen moet Vermilion desalniettemin de invloed van autonome daling bekijken. Voor zover maaiveld- of autonome daling toch zichtbaar is in de metingen, wordt daarvoor gecorrigeerd. De bijdrage van autonome dalingen aan de metingen wordt in meer detail in de Bijlage (Hoofdstuk 7) besproken



Figuur 2-8 Schematische weergave van peilmerken bij een dalingsmeting. Peilmerken zijn bevestigd aan gebouwen, die op verschillende manieren gefundeerd zijn. De meting wordt uitgevoerd t.o.v. een peilmerk buiten het invloedsgebied van de mijnbouw. Zo 'n aansluitpunt kan diep of ondiep gefundeerd zijn (daar moet bij de analyse rekening mee gehouden worden). Als we de twee rechter meetpunten vergelijken, zien we dat de meest rechtse dieper gefundeerd is. Dit meetpunt is ongevoelig voor inklinking van de lagen boven de funderingsdiepte. (Vgl. ref. 3, fig. 10)



Figuur 2-9 Voorbeeld van een peilmerk (koperen bout) aan een huis. De foto rechts is ingezoomd t.o.v. de linker foto.



Figuur 2-10 Voorbeeld van een meetnet, hier als kaart uit een meetregister (meetplan Leeuwarden-West, 2018).

Meetnet en meetregister

De bodemdalingmeting wordt uitgevoerd aan een groep aaneengesloten meetpunten, die samen een *meetnet* vormen. Ook de rapportage, het *meetregister*, en analyse vindt plaats voor het meetnet als geheel. Vaak zal zo'n meet net zich over meerdere mijnbouwgebieden uitstrekken, zeker als de dalingskommen overlappen.

2.3 Meetplan & Winningsplan

In het kader van de gaswinning moet een *meetplan* opgesteld worden. Hierbij wordt de bodemdaling in een ruim gebied rondom het gasvoorkomen gemeten. Dat gebeurt meestal door waterpassing op een reeks punten in een *meetnet*, boven en rondom het voorkomen, vaak aangevuld met GPS-metingen op specifieke locaties. Voor het opstellen van een meetplan bestaan wettelijke regels en de zogenaamde 'Industrieleidraad – Geodetische basis voor Mijnbouw' (Ref. 4). De frequentie van de metingen, en de dichtheid en uitgebreidheid van het meetnet, worden gekozen in overleg met Staatstoezicht op de Mijnen (SodM), die uiteindelijk het meetplan goedkeurt namens de minister van Economische Zaken en Klimaat (EZK).

Als bodemdalingsgebieden van verschillende voorkomens overlappen, dan zullen ook de meetplannen overlappen. In sommige gevallen zal er dan voor gekozen worden de meetplannen samen te voegen, ook weer in overleg met SodM.

De eerste meting van zo'n meetplan, bedoeld om de aanvangshoogte vast te stellen, wordt een *nulmeting* genoemd.

Voorafgaand aan de winning wordt een model gemaakt om een bodemdalingsverwachting op te stellen. De complexiteit van het model zal afhangen van de complexiteit van de ondergrond-situatie. De parameters in het model zijn gebaseerd op ervaringen in eerdere, soortgelijke, voorkomens. De verwachte bodemdaling wordt gepresenteerd in het winningsplan, inclusief de relevante onzekerheden.

Omdat het diepte-verloop van de lagen alleen indirect gemeten kan worden, en de eigenschappen van de gesteentelagen maar op enkele punten bekend zijn (uit eerdere boringen), zijn er onzekerheden in de verwachtingen voor de grootte van een gasvoorkomen. In veel gevallen zal het voorafgaand aan de boring niet zeker zijn of er wel gas aanwezig is. Daarnaast zal er enige onzekerheid zijn over specifieke parameters (zoals samendrukbaarheid) van het gesteente. Het gevolg is dat de dalingsverwachting door onzekerheidsmarges omgeven is. (Dit wordt meer gedetailleerd hieronder besproken.)

Mocht de gemeten bodemdaling onverhoopt niet verlopen overeenkomstig de in het winningsplan aangegeven verwachtingen, dan zal Vermilion de bodemdalingsmodellen en de parameters van het model evalueren om te achterhalen waarom de gemeten waarden niet overeenkomen met de verwachtingen. Vermilion zal SodM als toezichthouder hierover informeren. Wanneer wordt geconcludeerd dat de maximale verwachte bodemdaling zoals in het winningsplan aangegeven zal worden overschreden, zal Vermilion een aangepast winningsplan indienen. Dit aangepaste winningsplan heeft weer de instemming van de Minister.

De laatste meting wordt dertig jaar na de laatste productiedatum van een gasvoorkomen gedaan, of eerder indien wordt vastgesteld dat de bodem niet meer daalt als gevolg van aardgaswinning.

2.3.1 Rijkswaterstaat

De landmeetkundige aspecten van de dalingsmetingen (m.n. waterpassingen) worden door Rijkswaterstaat (RWS) geverifieerd. De uitgevoerde metingen worden ook in een landelijke database opgeslagen. Deze is toegankelijk via het internet (ref. 9).

Rijkswaterstaat voert zelf ook metingen uit, in het kader van het NAP. Die vinden om de tien jaar plaats, en in gebieden waarvoor speciale aandacht is (zoals Groningen en (grotendeels) Friesland) om de vijf jaar. Ook de resultaten van deze metingen worden opgeslagen in de database.

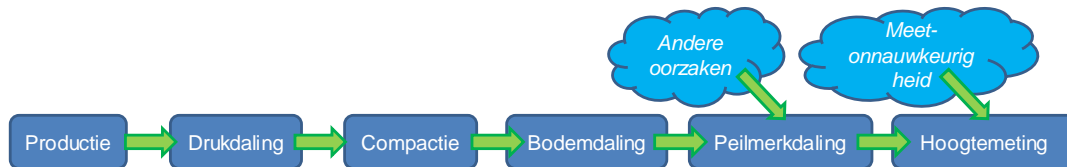
Gebruik van de data uit de RWS-database geeft de mogelijkheid om buiten de grenzen van een meetplan te kijken, om meer referentie gebieden te zoeken, en ook om terug te kijken naar de jaren voordat de winning begon, voor de nulmeting dus. Daarbij moet wel in acht worden genomen dat de metingen waaruit de RWS-database bestaat niet allemaal precies dezelfde referentie hebben, waardoor de hoogtes (wanneer we ze gebruiken voor bodemdaling) wat minder nauwkeurig zijn dan die van daar specifiek voor bedoelde meetcampagnes (zie Bijlage, hoofdstuk 6).

2.3.2 NLOG

De resultaten van bodemdalingsmetingen die in het kader van mijnbouw worden uitgevoerd, de meetregisters, worden door SodM via de website NLOG gepubliceerd (ref. 14).

2.4 Analyse metingen

Zoals besproken geeft elk van de metingen op een indirecte manier een reflectie van de gasbodemdaling. Om uit de metingen te kunnen schatten wat die bodemdaling is, is dus een analyse nodig. Daarbij moet enerzijds de bekeken worden hoe nauwkeurig de hoogte-meting is, en daarnaast (en meestal belangrijker) in welke mate de hoogte-meting een reflectie van de bodemdaling is.



Figuur 2-11 Van productie tot hoogtemeting: om de bodemdaling t.g.v. gaswinning te kunnen inschatten moet zowel naar de meeton nauwkeurigheid als naar andere oorzaken (autonome daling) gekeken worden

Zeker bij waterpassingen is het vaak zo dat verschillende meetpunten (peilmerken) verschillende tijdsintervallen bestrijken, zodat het niet triviaal is om een volledig beeld te krijgen. De figuur hieronder geeft een voorbeeld. Hierbij is zijn de verschillende peilmerkcurven zo getekend dat een kwalitatieve schatting mogelijk is van de bodemdaling rond deze locatie. Bij de calibratie aan de modellen kan ervoor gekozen worden om elk peilmerk afzonderlijk voor de relevant tijdsperiode met het model te vergelijken (voor Leeuwarden-West en Leeuwarden-Oost is dat ook zo gedaan). Als er voldoende peilmerken zijn met een volledige geschiedenis is dat minder nodig.

Bij de analyse van de data wordt gekeken naar de volgende aspecten:

- Mate van bodemdaling vs. nauwkeurigheid van de meting
 - Typisch ~ 0.5 cm (maar verschilt van meetplan tot meetplan)
- Stabiliteit & autonome daling
 - Bijv. afwijking van gedrag vergeleken met omliggende peilmerken, daling voordat de gaswinning begon, zijn aanwijzingen voor niet-gas gerelateerde daling
 - Deze effecten vertonen locale verschillen
 - Ook de aard van het gebouw c.q. het peilmerk (diep/ondiep gefundeerd) speelt een rol
- Tijdverloop van de daling – Vertoont de daling een relatie met het tijdverloop van de productie (rekening houdend met na-ijl-effecten)?
- “Komvorm” – Vertoont de daling een ruimtelijke relatie met de winning?

Er is steeds speciale aandacht voor het aansluitpunt. Hierbij wordt o.a. gekeken naar de statistieken van de differenties tussen twee meetcampagnes

Merk op dat bodemdalingsmetingen geen onderscheid maken tussen voorkomens. Als er overlap is tussen dalingskomsten, dan wordt de samengestelde daling gemeten. In het geval de kommen van meerdere gaswinningen overlappen, dan zal dus een inschatting gemaakt moeten worden hoeveel daling van welk voorkomen afkomstig is. Soms kan het feit dat de winningen niet gelijktijdig gestart zijn, of sterk afwijkende productieprofielen hebben, daarbij helpen. Maar soms ook is dat niet zo, en zal de splitsing enigszins meerduidig blijven (bijvoorbeeld in een deel van Leeuwarden-Oost).

2.5 Modelling bodemdaling

In deze paragraaf worden de technische principes van het modeleren en berekenen van bodemdalingsverwachtingen uitgelegd. In zijn algemeenheid is het detailniveau waarin de modellering wordt uitgevoerd, afhankelijk van de mate van bodemdaling. Voor voorkomens met meer bodemdaling wordt in meer detail gekeken. Specifiek voor het Harlingen Bovenkrijt voorkomen is een geomechanisch uitgebreidere modellering gebruikt, die verderop apart besproken wordt.

2.5.1 Basismodellering

Compactie

Zoals hierboven uitgelegd (par. 2.1.2) staat, leidt productie tot drukdaling (dp), of *depletie*. Vervolgens leidt drukdaling tot compactie (dh). De basisformule voor compactie is:

$$dh = C_m * h * dp$$

Hierin is de (depleterende) hoogte h , en de compactie-coëfficiënt C_m :

Compactie is voornamelijk afhankelijk van cementatie, porositeit, samenstelling en de microstructuur van een gesteente. De compactie-coëfficiënt zelf is i.h.a. iets afhankelijk van de druk; de compactie bij geringe drukdaling is niet altijd een goede maat voor de compactie bij grote drukdaling.

Bodemdaling

Compactie leidt vervolgens tot bodemdaling. De modellering van bodemdaling uit compactie wordt gedaan conform de methode van Van Opstal (ref. 7). Die berekent hoe compactie op een bepaald punt bodemdaling in het gebied erboven veroorzaakt. Dat gebied heeft ruwweg een straal die gelijk is aan de diepte van het reservoir. Als het gebied waarbinnen drukdaling optreedt bekend is, dan zal bodemdaling optreden binnen een afstand van dat gebied die gelijk is aan de reservoir diepte.

Ook het gesteente onder het reservoir wordt in principe beïnvloed door de compactie, maar dat zal maar in beperkte mate gebeuren. Dit wordt door het concept ‘*rigid basement*’ gemodelleerd. Hierbij wordt aangenomen dat vanaf een zekere diepte onder het reservoir, het gesteente niet meer zal vervormen als gevolg van de gaswinning. Gezien de geologische setting van de reservoirs, wordt een rigid basement factor van 1.05 genomen voor Rotliegend en Zechstein reservoirs, en 1.2 voor Vlieland zandsteen. De rigid basement diepte heeft een (kleine) invloed op de vorm van de bodemdalingskom.

De bodemdaling manifesteert zich in een zeer geleidelijk verlopende kom, waarvan het diepste punt boven het gesteente ligt waar de drukdaling plaatsvindt. Het totale volume van de kom is vergelijkbaar met het totale compactie-volume op reservoir-niveau, maar verspreid over een groter oppervlak.

Parameter-afhankelijkheden

We kunnen dus een aantal afhankelijkheden zien:

- Als het gesteente stijver is (kleinere C_m), dan is er minder bodemdaling
- Als het gesteente dunner is (kleinere h), dan is er minder bodemdaling
- Als het depleterende gebied kleiner is, dan is ook het gebied met bodemdaling kleiner. Voor voorkomens waarvan de straal kleiner is dan de diepte, zal een verkleining van het gebied ook leiden tot een ondiepere dalingskom.

- Als er minder drukdaling is, dan is er minder bodemdaling

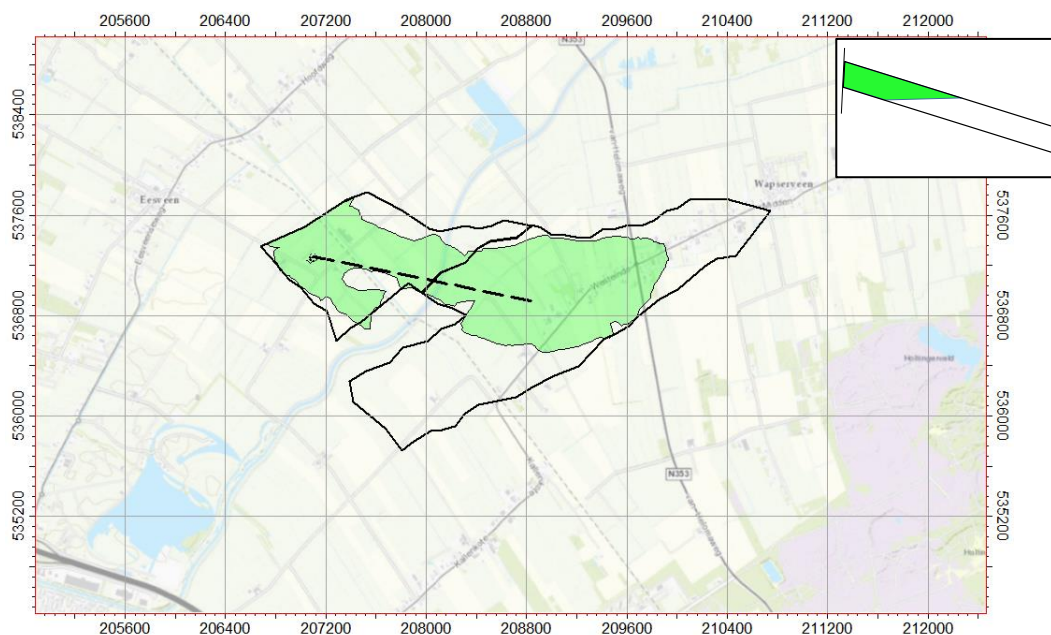
Tijdvertraging

Er treedt een vertraging op tussen productie en bodemdaling. Die is het gevolg van een aantal factoren, zowel in het reservoir zelf (bijv. kruip), en daarboven (bijv. ref. 15). Daarom is het nodig de tijdafhankelijkheid specifiek te modelleren. Daarvoor is een tijd-convolutie met een eerste-orde (of 'time decay') functie gebruikt.

Uitbreidheid van het depletiegebied

Bij een watergedreven reservoir wordt het gas in het reservoir omhoog gedrukt door een aanwezige waterlaag, een *aquifer*, die in verbinding staat met het gasreservoir. Wanneer een bepaalde hoeveelheid gas uit het reservoir is geproduceerd, zal het waterniveau de put bereiken en stopt de gasproductie. Wanneer deze aquifer relatief groot is ten opzichte van het gasreservoir, is de druk daling geringer dan hij zou zijn zonder de aquifer. Als er een aquifer is, zal er ook boven de aquifer enige bodemdaling optreden.

Er zal dus ook drukdaling plaatsvinden in het watervoerende gedeelte dat in contact staat met het gasreservoir, voor zover het gesteente daar doorlatend is. Door deze drukdaling in het watervoerende gedeelte zal er ook compactie optreden in dit gedeelte van het reservoir. Dit gebied wordt meegenomen in de berekening van de bodemdalingskom ten gevolge van gaswinning.



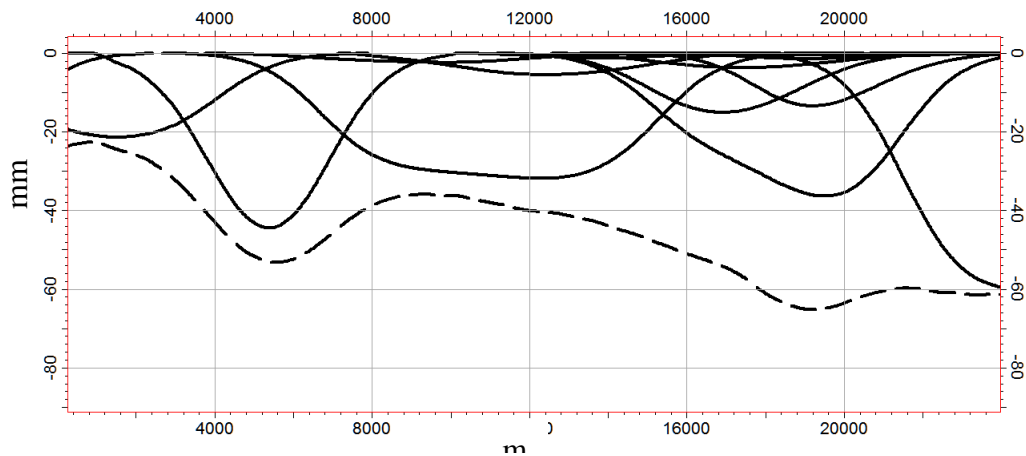
Figuur 2-12: Voorbeeld van het meenemen van het watervoerende deel in de bodemdaling berekening. De inzet rechtsboven geeft de methode (groen is gas, wit is water in breukblok), de kaart geeft de uitwerking voor Eesveen. Dit voorbeeld is uit het winningsplan Eesveen (ref. 50). De mate waarin het watervoerende deel depleteert is onzeker, en wordt als zodanig meegenomen.

Overlap tussen dalingskommen

Als de afstand tussen voorkomens kleiner is dan hun diepte, dan zullen de bodemdalingskommen overlappen. Vermilion rekent altijd samengestelde bodemdalingen uit, waarin alle winningen meegenomen zijn. De figuur hieronder geeft een illustratie.

Bron van parameterwaarden

Bij de bepaling van de mogelijke waarden voor de parameters in de modellering zijn eerdere ervaringen in vergelijkbare (analoge) Vermilion voorkomens gebruikt, en ook gerapporteerde NAM-waarden (2015, ref. 15).



Figuur 2-13: Voorbeeld van het meenemen van samenstellingseffecten (doorsnede door het Leeuwarden-Nijega voorkomen). De getrokken lijnen zijn de kommen van individuele voorkomens, de gestippelde lijn is de som (de samengestelde kom). Merk op dat de onzekerheid over de totale bodemdaling vaak kleiner is dan de precieze toewijzing aan individuele voorkomens (Figuur 12-1).

2.5.2 **Onzekerheden**

Desalniettemin blijft er onzekerheid over welke waarden de parameters voor een specifiek voorkomen hebben. Uit de analyse van de bodemdalingen boven voorkomens die al lang produceren, of zelfs uitgeproduceerd zijn, komen verschillende parameterwaarden. Omdat de onzekerheid in het algemeen over verschillende parameters verdeeld is, kan ook bij zulke oude winningen, waar de bodemdaling bekend is, niet precies vast gesteld worden wat de individuele parameter-waarden zijn: verschillende parametercombinaties kunnen dezelfde bodemdaling opleveren.

De onzekerheid wordt in het proces meegenomen door voor alle parameters 2-3 waarden te kiezen die de in het verleden waargenomen bodemdalingen omspannen. De bodemdaling is vervolgens voor alle parametercombinaties uitgerekend. Aan elke parameter-realiserie wordt een kans toegekend. In het algemeen zullen **Laag/Mid/Hoog** parameterwaarden de kansen 30%/40%/30% krijgen (bijv. ref. 20). Als specifieke informatie beschikbaar is, kunnen andere kansen gekozen worden. Dat leidt tot een totaal van 100-400 realisaties, die elk een samengestelde kans hebben. Het resultaat is een kansverdeling zoals in Figuur 2-14.

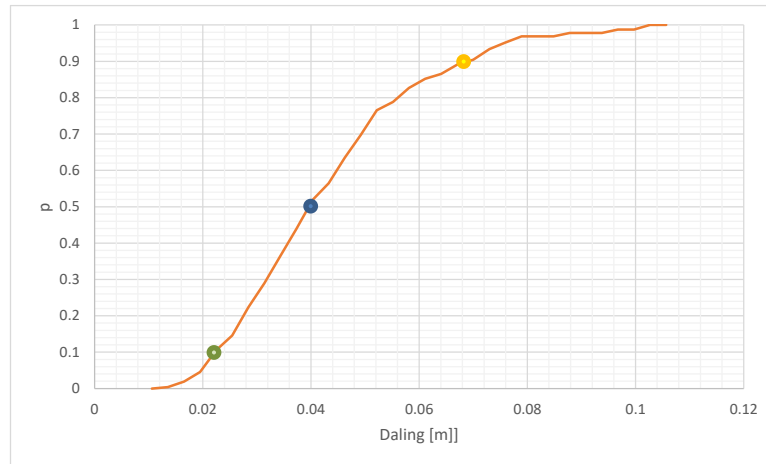
Specifiek wordt de onzekerheid over de aanwezigheid van een verbonden aquifer op deze manier meegenomen. Ook is soms de exacte omvang van het gasvoerende deel onzeker. Ook dat wordt verdisconteerd door een aantal scenario's voor grootte en vorm van het depletiegebied mee te nemen.

Ook voor de tijdvertraging die hierboven besproken is wordt een onzekerheid meegenomen.

De "P10" schatting

Om een conservatieve schatting te geven, is het gebruikelijk de zgn. P10 waarde te gebruiken. Dat is de waarde die met 90% zekerheid niet overschreden wordt. De getallen en kaarten die in winningsplannen vermeld worden zijn gebaseerd op een realisatie die tot zo'n

conservatieve P10 daling leidt. Aangezien Vermilion meer dan 10 voorkomens in productie heeft, betekent het gebruik van het P10 criterium dat verwacht moet worden dat er enkelen zullen zijn die daadwerkelijke overschrijding te zien zullen geven. Zo'n overschrijding is dus op zichzelf geen reden aan te nemen dat de methodologie bijgesteld moet worden. Hetzelfde geldt voor onderschrijdingen.



Figuur 2-14 Voorbeeld van een dalings-kansverdeling. In dit rekenvoorbeeld is de mediane daling (P50) 4 cm (blauw), en de P10, dat is de daling met 10% overschrijdingskans, 6.8 cm (oranje).

Calibratie aan metingen

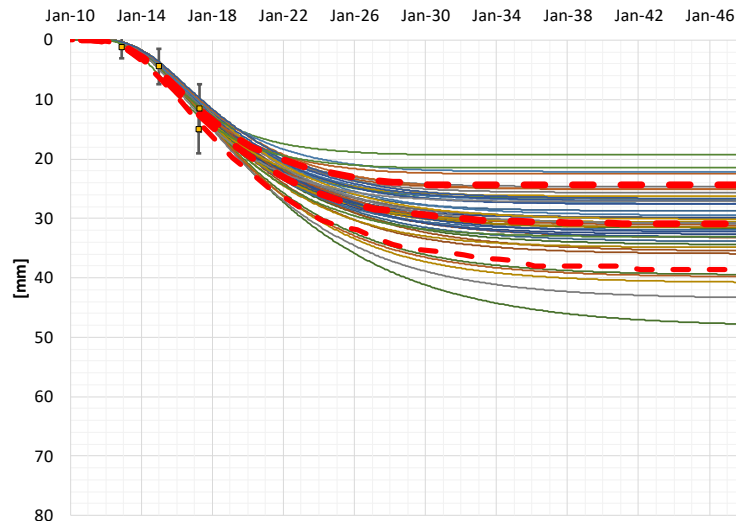
Voor de aanvang van aardgaswinning wordt een verwachting opgesteld voor wat de te verwachte compactie van het reservoir zal zijn, en de bodemdaling die daar het gevolg van is. Nadat een meting is uitgevoerd, wordt de uitkomst van de meting vergeleken met de verwachting. In eerste instantie zal de focus i.h.a. liggen op het diepste punt van de kom. De statistische berekening wordt getoetst aan de metingen m.b.v. een *Bayes* techniek (bijv. ref. 19). Dat gebeurt door elk van de mogelijke scenario's die ontstaan uit combinaties van parameterwaarden te vergelijken met de metingen, om zo te bepalen welke scenario's mogelijk zijn, en welke minder waarschijnlijk. Dit leidt ertoe dat de onzekerheidsmarge voor de dalingsverwachting voor een gegeven voorkomen kleiner zal worden naarmate er meer metingen gedaan zijn. Figuur 2-16 illustreert dit proces. Naarmate er in de loop van de tijd meer metingen komen wordt de verdeling zo steeds nauwer; de onzekerheid steeds kleiner. Het gevolg hiervan is dat voor oude winningen (zoals bijvoorbeeld Nijensleek) de einduitkomst volledig door de metingen bepaald wordt; de *a priori* verdeling speelt dan geen rol meer.

Behalve dat de onzekerheden kleiner worden, zullen er na verwerking van iedere meting (meestal kleine) wijzigingen optreden in de waarde van de P10 schatting.

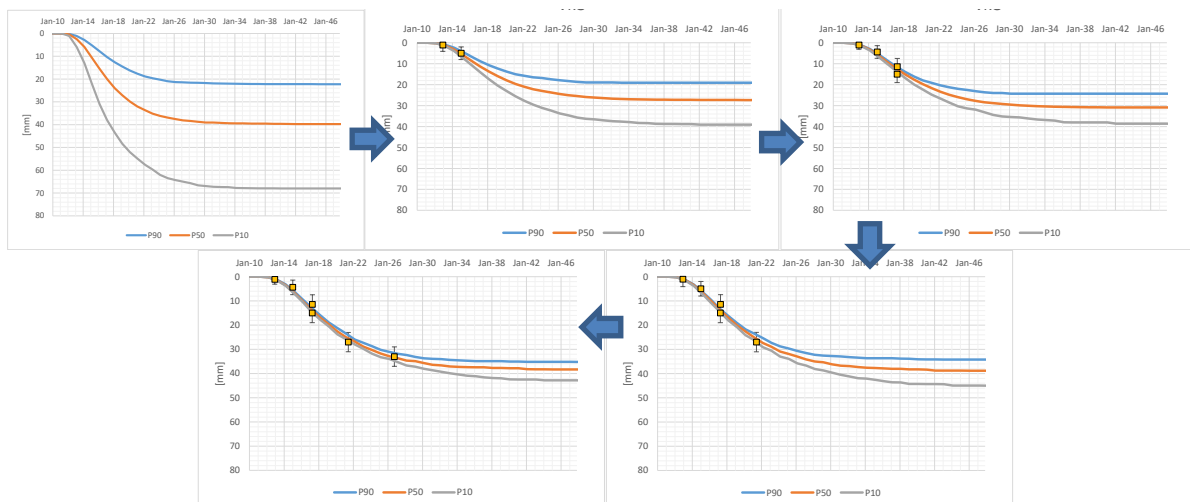
Als er voldoende informatie beschikbaar is, d.w.z. als er een duidelijke komvorm zichtbaar is, wordt niet alleen de gemodelleerde diepte, maar ook de model-komvorm gecalibreerd aan de metingen. Ook kunnen de dieptes over de hele kom met het model vergeleken worden.

In de meetplannen Leeuwarden-Oost en -West, en SOW-BLD-BLS en WSF-NWD-VKG-DHV-NWD-NSL-DIV-ESV is de vergelijking per peilmerk uitgevoerd, over steeds de voor dat peilmerk relevante tijdsperiode. Op die manier wordt het feit dat niet alle peilmerken de hele tijdsperiode afdekken adequaat verdisconteerd (zie par. 2.2.4)

Merk op dat bodemdalingsmetingen geen onderscheid maken tussen voorkomens. Als er overlap is tussen dalingskommen, dan wordt de samengestelde daling gemeten. Bij het vergelijken van de bodemdaling met de modellen wordt dan ook altijd de samengestelde daling gebruikt.



Figuur 2-15 Voorbeeldberekening van een aantal mogelijke realisaties, die een pluimverwachting voor de bodemdaling geven. Deze worden samengevat in P10, P50, P90 curves (rood gestippeld), de spreiding tussen deze curves is een maat voor de onzekerheid. De metingen zijn gebruikt om de mogelijke scenario's te screenen.



Figuur 2-16 Naarmate er meer metingen bijkomen, wordt de onzekerheid in de einddaling kleiner (rekenvoorbeeld). De verdeling voordat er metingen zijn (figuur linksboven) wordt de a priori verdeling genoemd.

Een meting geeft informatie over het voorkomen waarboven de meting wordt uitgevoerd. Maar als er uit de meting iets geleerd wordt over dat voorkomen, is dat ook relevant voor vergelijkbare voorkomens. Zo kan het gebeuren dat de verwachting voor een voorkomen wordt bijgesteld als er een meting aan een ander, vergelijkbaar, voorkomen is uitgevoerd.

Zoals boven besproken kan, onder bepaalde omstandigheden ook een niet-winnings-gerelateerde, *autonome*, daling deel uitmaken van de gemeten daling. Bovendien zullen sommige peilmerken instabiel zijn. Ook daarmee houdt Vermilion rekening bij de analyse van de metingen, waarbij gezocht wordt naar een objectieve vaststelling van deze effecten.

Betekenis van de afwijkingen

Naast een vernauwing van de onzekerheidsmarge, zal voortgaande calibratie tot kleine variaties in de verwachte waarden leiden. Zolang de nieuwe P10/P50/P90 range voor het grootste deel overlapt met de oude P10/P50/P90 range is zo'n variatie geen reden om de aannames in de oorspronkelijke verwachting te herzien. Als die overlap klein is, dan moet dat wel gebeuren, dan zal het model bijgesteld moeten worden. Dat kan in de dikte, of de vorm zitten, of in de andere parameters (met name C_m).

De interpretatie van de metingen wordt steeds overlegd aan SodM. Afhankelijk van de relatie tussen de afwijking en de in het instemmingsbesluit toegestane ruimte, zullen de consequenties van zo'n afwijking in overleg met SodM en het ministerie van EZK besproken en bepaald worden. Dat kan leiden tot een actualisatie van het winningsplan.

Door het noodzakelijkerwijs voortdurend actualiseren van de bodemdalingsmodellering, zullen kaarten die gegenereerd zijn na goedkeuring van het winningsplan afwijken van die in het winningsplan. Dit is een normaal proces, daarom worden immers de metingen gedaan. Een aantal van de gegevens in dit rapport zullen dus ook niet precies kloppen met die in het winningsplan.

2.5.3 Oude velden

Voor een aantal van de Vermilion velden loopt de productie al tientallen jaren. Ook de bodemdalingsmetingen worden dan al tientallen jaren uitgevoerd. We zitten dan in het laatste stadium van het proces zoals geschetst in Figuur 2-16. In deze situaties wordt het vooruitzicht, en de onzekerheid daarvan, vooral gedomineerd door de (analyse van de) metingen, en spelen de a priori parameters geen grote rol. Voor deze velden wordt dan ook een versimpelde workflow gebruikt, waarbij met name de tijdafhankelijkheid van de daling wordt gefit aan de metingen. In de in dit rapport besproken meetplannen is dat vooral het geval in Leeuwarden-Oost (zie hfst. 12).

2.5.4 Meer gedetailleerdere modellering

De hierboven besproken basismodellering is toegepast op het overgrote deel van de Vermilion voorkomens. In het geval van het Harlingen Bovenkrijt voorkomen is het gesteente (krijt) van een heel andere aard dan het gesteente in de andere voorkomens. Specifiek gedraagt het zich heel anders m.b.t. tot compactie en na-ijling. Daarom is er een gedetailleerde geomechanische modellering gedaan, inclusief metingen aan gesteente-monsters. Zie bijlage, hoofdstuk 10, voor een bespreking.

Het voorkomen Zuidwal ligt in de Waddenzee. Dat betekent dat de gevolgen van de bodemdaling anders van aard zijn dan op andere locaties. Ook voor dit voorkomen is er een meer gedetailleerde analyse gedaan, onder andere door een 3D drukveld mee te nemen. Zie bijlage, hoofdstuk 9, voor een kort bespreking

2.6 Effecten bodemdaling

2.6.1 Schade aan bouwwerken

Of een gebouw, of infrastructuur, schade oploopt door bodemdaling wordt vooral bepaald door de afstands-schaal waarop die daling plaatsvindt. Bodemdaling heeft nauwelijks invloed als ze gelijk is over het hele funderingsoppervlak. Ook een beperkte scheefstand heeft meestal geen gevolgen. Schade aan gebouwen door bodemdaling ontstaat wanneer er

verschilzakking optreedt, i.e. als de zakking ongelijkmatig is, en daardoor leidt tot kromming van een gebouw.

Volgens de huidige kennis is de bodemdalingskom door aardgaswinning regelmatig. De dalingen verlopen geleidelijk, over meerdere kilometers. Er treden dus aan het terreinoppervlak uiterst geringe hellingen op, en nog veel geringere ongelijkmatigheden. Als we bijvoorbeeld een dalingskom hebben met een straal van 3 km en een diepte van 4 cm, dan geeft dit een zettingsverschil van 0.02 cm over een lengte van een huis (15 m).

De daling komt bovendien zeer langzaam tot stand, over een periode van jaren. Daarom zal een gebouw geen schade oplopen rechtstreeks door bodemdaling, of het nu midden in de dalingskom staat of meer naar de rand. Uit tot op heden uitgevoerd onderzoek is dan ook steeds geconstateerd dat er geen gebouwschade te verwachten is door bodemdaling als gevolg van gaswinning (ref. 11, 13, 12).

2.6.2 **Waterpeil**

Het relatieve waterpeil wordt wel beïnvloed door de bodemdaling, en het is mogelijk dat er op zeker moment aanpassingen nodig zijn om vernatting te voorkomen. Bij de beoordeling van bodemdalingsgevolgen hanteren waterschappen typisch een grens van ongeveer vijf centimeter (er kunnen specifieke situaties zijn waar de drempel lager is). Bij bodemdaling tot die grens is over het algemeen geen compensatie voor het watersysteem noodzakelijk, tenzij de veiligheid in het geding is.

Onafhankelijk van de hoeveelheid daling, wordt de gemeten en verwachte daling, en de gevolgen van de bodemdaling, op regelmatige basis met de relevante waterschappen besproken. De kosten die het Waterschap maakt voor aanpassingen worden door Vermilion vergoed.

Bodemdaling veroorzaakt niet rechtstreeks schade aan natuur en milieu. Maar via relatieve waterpeil-effecten is het wel mogelijk dat er een indirecte impact is. Bij het opstellen van een winningsplan moet zo'n inschatting gemaakt worden. De inschatting zal specifiek zijn voor de locatie van het gasvoorkomen.

2.6.3 **Schadeafhandeling**

Indien als gevolg van bodemtrillingen of bodemdaling door gaswinning toch schade ontstaat, dan kan daarvan melding gedaan worden via de landelijke commissie mijnbouwschade (CM), met behulp van hun website <https://www.commissiemijnbouwschade.nl/>.

In Friesland heeft Vermilion een overeenkomst met de Commissie Bodemdaling Aardgas Fryslân en de provincie Friesland gesloten. Deze onafhankelijke commissie bepaalt welke maatregelen genomen moeten worden om de nadelige effecten van bodemdaling door aardgaswinning te voorkomen, te beperken of te herstellen. De bodemdalingscommissie bepaalt ook welke kosten Vermilion, aan de hand van de gesloten overeenkomst, dient te vergoeden (<http://www.bodemdalingfryslan.nl/>).

Een en ander is ook op de Vermilion website terug te vinden. Zie ook: <https://www.vermilionenergy.nl/onze-verantwoordelijkheid/vermilion-en-schade-door-aardgaswinning/bodembeweging-bodemdaling-en-bodemtrilling.cfm>

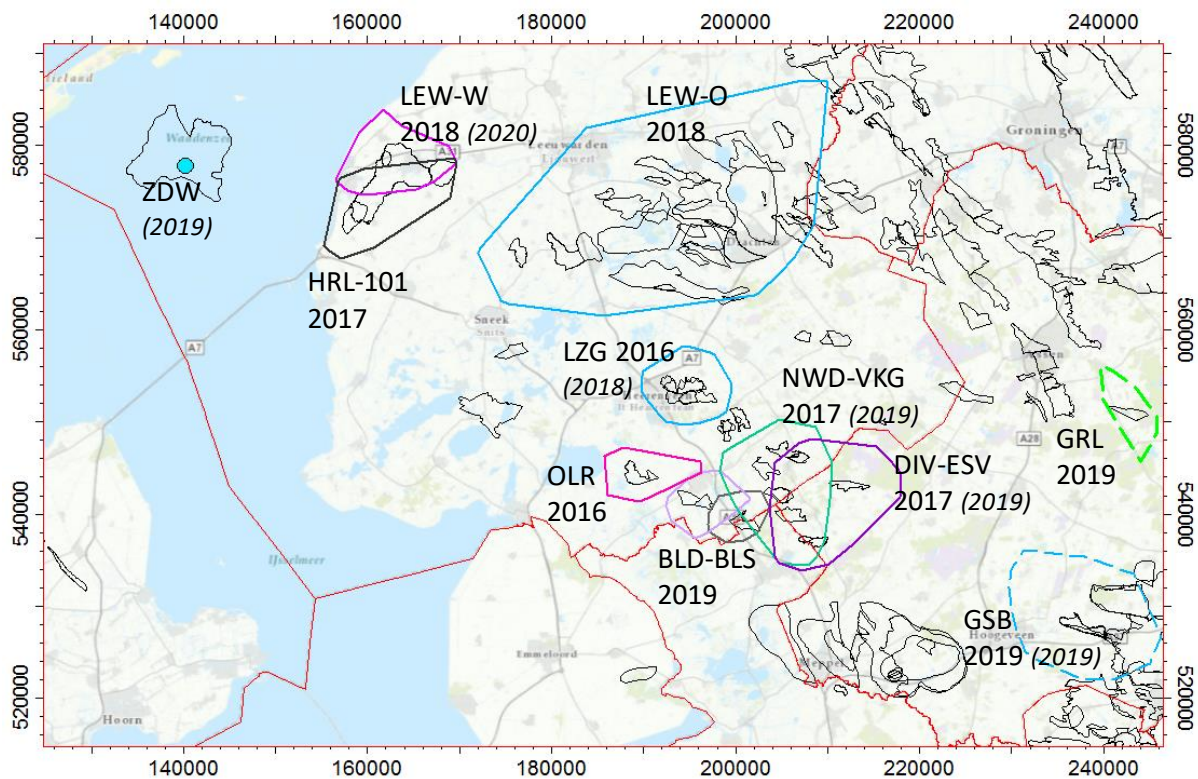
2.6.4 **Zuidwal**

Het Zuidwal voorkomen ligt onder de Waddenzee. De effecten van de bodemdaling komen daar op een heel andere manier tot stand, via de balans tussen de snelheid van de bodemdaling en de snelheid waarmee zand wordt aangevoerd. Dit wordt besproken in de bijlage, Hoofdstuk 9.

3 Uitgevoerde metingen & resultaten

Zoals boven besproken, zijn de bodemdalingsmetingen georganiseerd in een aantal meetplannen. In het kader van een aantal van deze meetplannen zijn in 2019/20 metingen uitgevoerd. Voor de voorkomens die onder deze meetplannen vallen zijn de gemeten dalingen met de modellen vergeleken, en de modellen gecalibreerd. Omdat metingen niet wezenlijk afweken van voorspellingen, zijn er alleen kleine wijzigingen. Daarnaast is in de kaarten het feit verdisconteerd dat we t.o.v. het vorige statusrapport een jaar verder zijn.

Tenslotte zijn in de toekomstige daling de winningsplannen opgenomen die inmiddels voldoende ver in de procedure zijn (OPZ-MBN, LEW-101, ERW, BLD-BLS, OLR, NWH, WSF). De voornaamste resultaten worden hieronder genoemd. De hoofdstukken in de bijlagen geven meer detail.



Figuur 3-1 Overzicht meetplannen. Jaar meest recente meting is aangegeven (GPS cursief).

3.1 Overzicht uitgevoerde metingen in 2019

In de tabel hieronder staat een samenvatting van de in de verslagperiode uitgevoerde metingen.

Tabel 3-1 Overzicht uitgevoerde metingen in de verslagperiode. Onderstreepte voorkomens zijn in productie

Meetplan	Voorkomen(s)	Uitgevoerd in verslagperiode	Opmerking	Besproken in bijlage hfst.:
Leeuwarden-West	Harlingen Bovenkrijt, <u>Ried</u> , Franeke	Permanente GPS (HRL-04 en HRL-07)		10
Sonnega- Weststellingwerf, Blesdijke, De Besse	<u>Sonnega- Weststellingwerf</u> , <u>Blesdijke, De Besse</u>	Waterpassing		15
Geesbrug	<u>Geesbrug</u>	GPS		18
'Diever-Nijensleek- Eesveen' en 'Noordwolde- Weststellingwerf-Vinkega- De Hoeve'	<u>Diever, Eesveen</u> , <u>Vinkega, De Hoeve</u>	GPS		16

3.2 Overzicht huidige en toekomstige bodemdaling

In de tabel hieronder staat een samenvatting van de resultaten en vooruitzichten. In de twee kaarten daaronder is dezelfde informatie grafisch weergegeven, waarbij de individuele bijdragen uit onderstaande tabel bij elkaar opgeteld zijn en zo een gecombineerde bodemdaling vormen.

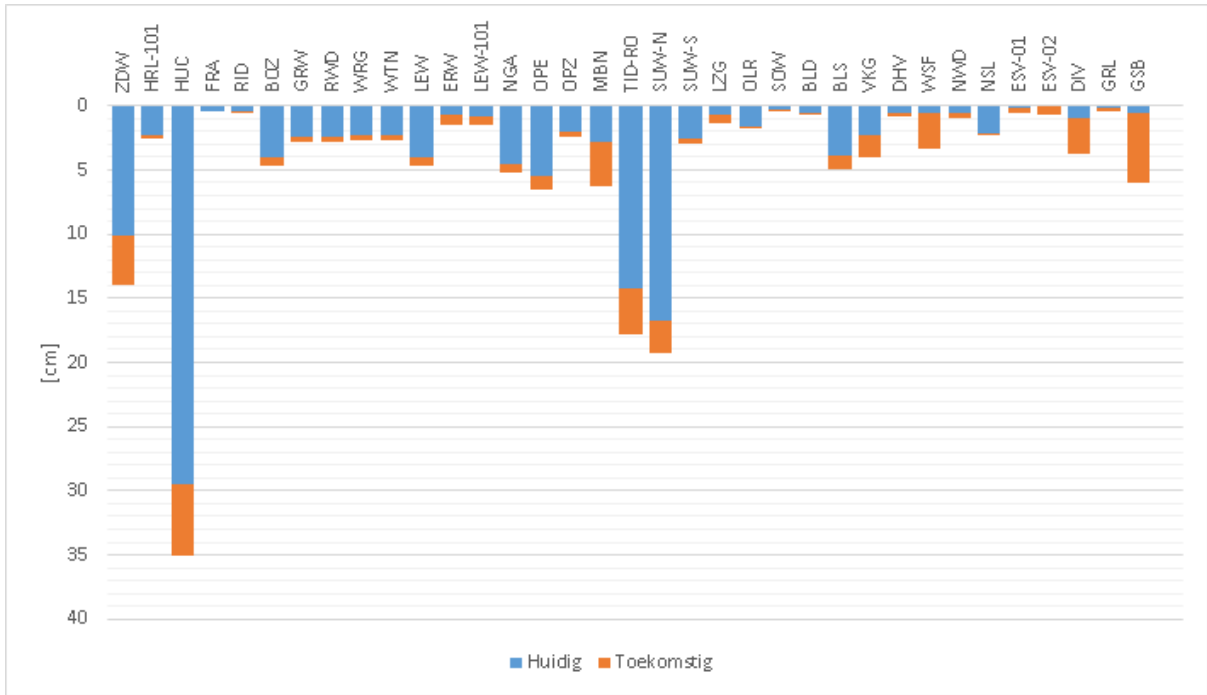
In de kaarten zijn ook de aanpalende dalingskommen meegenomen, conform de meest recente analyses van de desbetreffende meetregisters. Op die manier is een totaal samengestelde bodemdalingskaart gemaakt.

Winningsplannen waar medio 2020 een (voorlopig) instemmingsbesluit lag, zijn meegenomen (NWH, LEW-101, ERW, OPZ/MBN). Winningsplannen die minder ver in de procedure waren, zijn nog niet meegenomen.

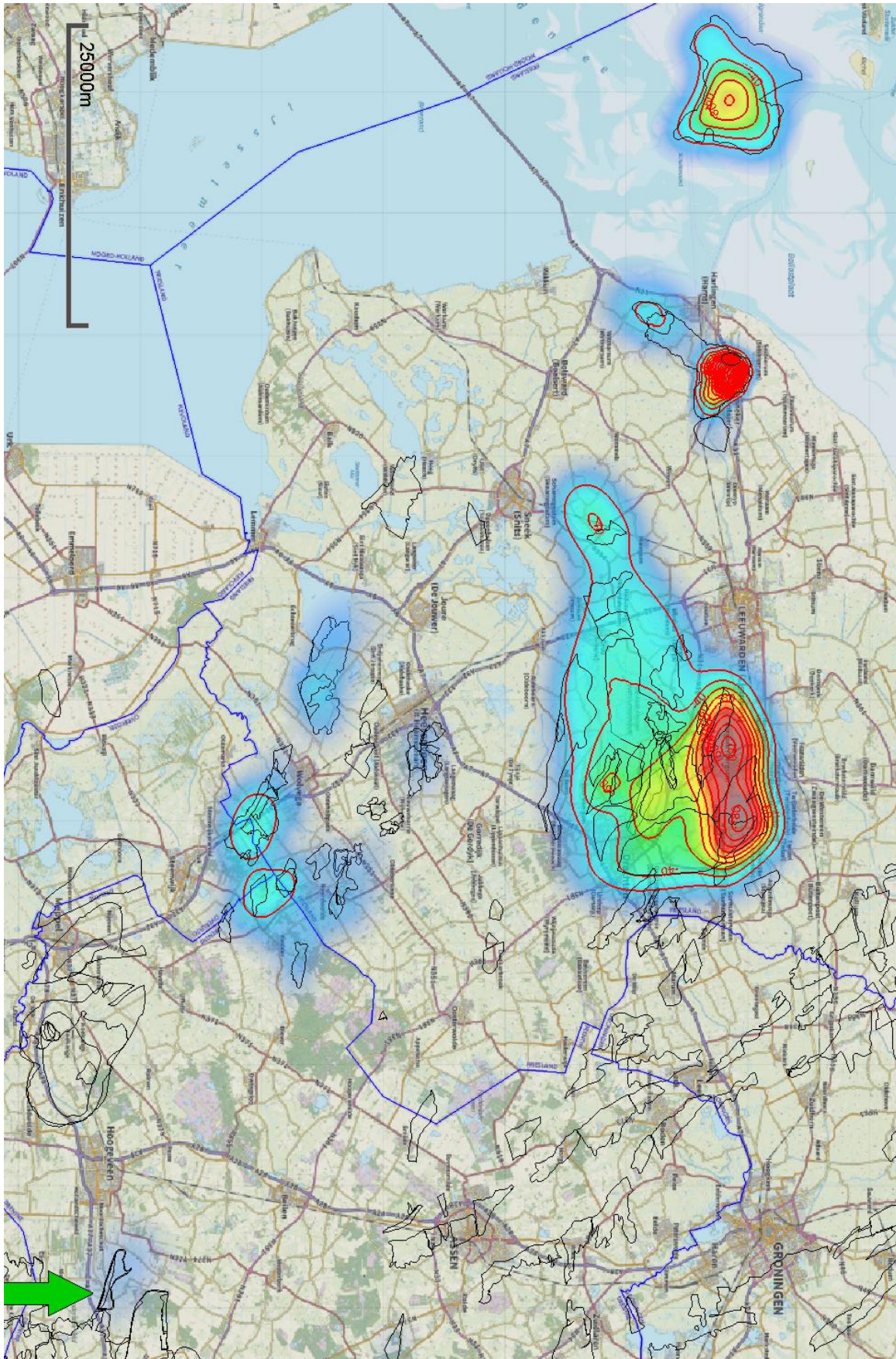
Tabel 3-2 Overzicht bodemdaling per voorkomen. De getallen zijn afgerond op hele cm. Het betreft de daling door winning uit het betreffende voorkomen apart. Waar kommen overlappen is de bodemdaling de som van meerdere bijdragen. Die samenstellingseffecten zijn meegenomen in de kaarten, en bij de calibratie met de metingen.

Meetplan	Naam	Start winning	Eind winning	Gemeten bodemdaling [cm]	Jaar meting	Geschatte huidige bodemdaling (P50) [cm]	Geschatte toekomstige bodemdaling (P10) [cm]	Opmerkingen
Zuidwal	Zuidwal	1988		10	2019	10	4	
HRL-101	HRL-101 (LC)	1995	2005	2	2017	2	<1	
Leeuwarden-West	Harlingen-Bovenkrijt (HUC)	1988	2008	27	2018	29	7	Diepste punt huidig & diepste punt toekomstig vallen niet samen
	Franeker (LC)	1997	2008	<1	2018	<1	<1	Niet zelfstandig waarneembaar (HUC)
	Ried	1988		<1	2018	<1	<1	Niet zelfstandig waarneembaar (HUC, autonoom)
Leeuwarden-Oost	Bozum	1989		4	2018	4	1	Tijdelijk ingesloten vanaf 2013. Veel ruis in metingen.
	Grouw	1982		2	2018	2	<1	Tijdelijk ingesloten vanaf 2013. Veel ruis in metingen, distributie autonoom/gas niet helemaal duidelijk.
	Rauwerd	1982		2	2018	2	<1	Tijdelijk ingesloten vanaf 2013. Veel ruis in metingen, distributie autonoom/gas niet helemaal duidelijk.
	Warga-Wartena	1981		2	2018	2	<1	Veel ruis in metingen, distributie autonoom/gas niet helemaal duidelijk.
	Leeuwarden	1970		4	2018	4	1	Veel ruis in metingen, distributie autonoom/gas niet helemaal duidelijk.
	Eernewoude	2012		<1	2018	<1	<2	Mogelijke nieuwe boring. Bestaand niet eenduidig waarneembaar
	Leeuwarden-101	1978		1	2018	1	<2	Mogelijke nieuwe boring. Bestaand niet eenduidig waarneembaar.
	Nijega	1970		4	2018	4	1	Sterke overlap-effecten
	Opeinde	1976		5	2018	5	1	Inclusief TID-Vlieland
	Opeinde-Zuid	1980		2	2018	2	<1	
	Middelburen	1980		3	2018	3	4	Mogelijke nieuwe boring. Bestaand niet eenduidig waarneembaar
	Tietjerksteradeel-RO	1974		14	2018	14	4	Splitting met Vlieland niet helemaal eenduidig
	Suawoude-Noord	1984		16	2018	16	4	Overlap-effecten
Suawoude-Zuid	1984		3	2018	3	<1		

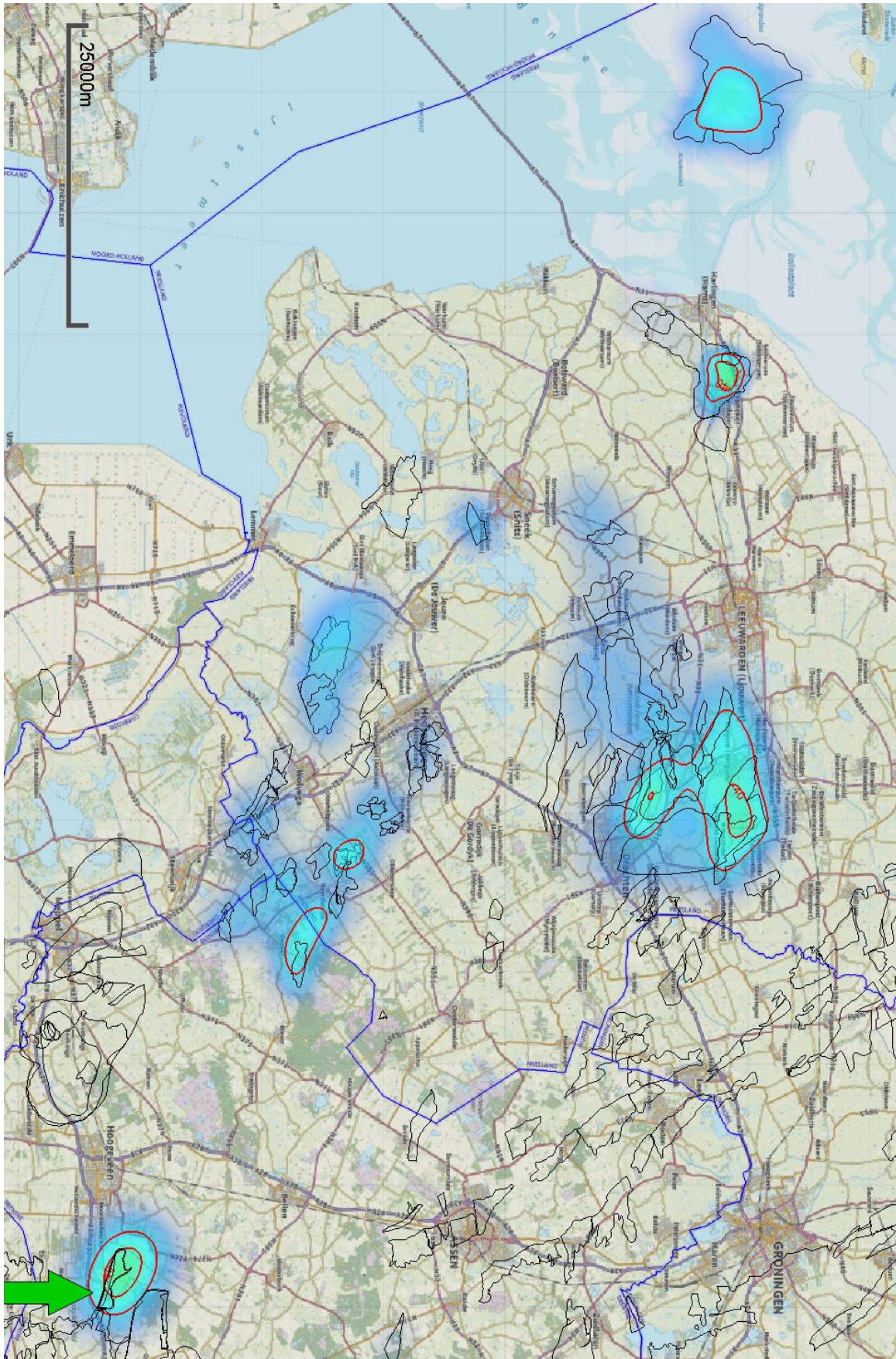
Meetplan	Naam	Start winning	Eind winning	Gemeten bodemdaling [cm]	Jaar meting	Geschatte huidige bodemdaling (P50) [cm]	Geschatte toekomstige bodemdaling (P10) [cm]	Opmerkingen
Langezwaag	Langezwaag	2012		<1	2018	1	1	
Oldelamer	Oldelamer	1993		2	2016	2	<1	Tijdelijk ingesloten vanaf 2013. Veel ruis in metingen.
Sonnega-Weststellingwerf Blesdijke De Blesse	Sonnega-Weststellingwerf	2015		0	2015	<1	<1	Alleen nulmeting gedaan
	Blesdijke	2009		<1	2015	<1	<1	Niet zelfstandig waarneembaar (BLS)
	De Blesse	1999		3	2015	4	<2	Inclusief geplande put. Punt met grootste toekomstige daling verschilt van punt met grootste huidige daling.
Vinkega-De Hoeve-Noordwolde-Weststellingwerf, Diever-Eesveen	Vinkega	2011		2	2017	2	2	
	De Hoeve	2012		<1	2017	1	<1	Niet eenduidig waarneembaar (VKG)
	Weststellingwerf	1997	2005	2	2016	1	3	Huidige kom niet eenduidig waarneembaar. Inclusief geplande put.
	Noordwolde	1997		<1	2017	<1	<1	Niet eenduidig waarneembaar
	Nijensleek	2000	2006	2	2017	2	<1	
	Eesveen-01	2015		<1	2017	<1	<1	
	Eesveen-02			0	2017	<1	<1	Alleen nulmeting gedaan
Diever	2015		<1	2018	1	3	GPS-meting in 2018	
Grolloo	Grolloo	2009		<1	2019	<1	<1	Niet waarneembaar (te weinig daling).
Geesbrug	Geesbrug	2009		1	2018	1	5	Niet waarneembaar (te weinig daling)..



Figuur 3-2 – Grafische weergaven van huidige & uiteindelijke bodemdalingen per voorkomen. Het betreft de daling door winning uit het betreffende voorkomen apart. Waar komen overlappen is de bodemdaling de som van meerdere bijdragen. Die samenstellingseffecten zijn meegenomen in de kaarten, en bij de calibratie met de metingen.



Figuur 3-3 Overzicht geschatte huidige (1-1-2020) gasbodemdaling (M/P50) door Vermilion gaswinning in Friesland. Overijssel en Drenthe. (Contouren op 20, 40, 60, ... mm) In de bijlagen zijn zoom-in kaarten te vinden van specifieke gebieden. (Bodemdaling is gerekend vanaf het moment dat de gaswinning in het betreffende gebied begon.)



Figuur 3-4 Overzicht geschatte toekomstige (na 1-1-2020) gasbodemdaling door Vermilion gaswinning in Friesland, Overijssel en Drenthe. (Contouren in blauw, 20, 40, 60, ... mm; H/P10.). In de bijlagen zijn zoom-in kaarten te vinden van specifieke meeplannen..

3.3 Overzicht geplande metingen

Hieronder een overzicht van de geplande bodemdalingsmetingen. De metingen maken deel uit van een meetplan dat jaarlijks met SodM wordt besproken, en door SodM goedgekeurd wordt. Als gevolg daarvan is de planning voor metingen na 2020 nog notioneel.

Tabel 3-3 Geplande dalingsmetingen (onderstreepte voorkomens zijn producerend)

Meetplan	Voorkomen(s)	Gepland
Leeuwarden-West	Harlingen Bovenkrijt, <u>Ried</u> , Franeker	Waterpassing in 2021
Langezwaag	<u>Langezwaag</u>	GPS-meting en Waterpassing in 2021
Geesbrug	<u>Geesbrug</u>	GPS in 2020
Grolloo	<u>Grolloo</u>	Waterpassing in 2029
Leeuwarden-Oost/Oosterend	<u>Grouw, Rauwerd, Warga, Wartena, Bozum, Leeuwarden-Nijega, Ernevoude, Leeuwarden-101, Middelburen, Opeinde, Opeinde-Zuid, Tietjerksteradeel, Suawoude</u>	Waterpassing in 2023
Noordwolde, Weststellingwerf, Vinkega, De Hoeve, Nijensleek, Diever, Eesveen	<u>Noordwolde, Weststellingwerf, Vinkega, De Hoeve, Diever, Eesveen, Nijensleek</u>	GPS-meting in 2020, Waterpassing in 2022
Zuidwal	<u>Zuidwal</u>	GPS-meting in 2024
De Blesse/ Blesdijke	<u>Sonnega-Weststellingwerf</u>	Waterpassing in 2024
	<u>Blesdijke</u>	
	<u>De Blesse</u>	

4 Verklarende woordenlijst

Term	Verklaring	Besproken in par.
Aquifer	Watervoerend deel van het reservoir. Dat kan naast en/of onder het gasvoerende deel gelegen zijn.	2.4
C_m	Uniaxiale compactie-coëfficiënt; mate van samendrukbaarheid van het gesteente (eenheid: 1/bar).	2.4
Compactie	Het samendrukken van het reservoirgesteente als door productie de druk van de vloeistof in de poriën daalt, en onvoldoende tegenwicht geeft aan het gewicht van bovenliggende gesteenten.	2.1.2
Compressibiliteit	Samendrukbaarheid	2.4
Depletie	Drukdaling door het onttrekken van gas (of olie of water) uit reservoirgesteente	2.1.1
EZ	Ministerie van Economische Zaken en Klimaat	
EZK	Ministerie van Economische Zaken en Klimaat	
GNSS, GPS	Global Positioning System: systeem voor plaats- en hoogtebepaling met behulp van satellieten	2.2.2
GWC	Gas-water contact diepte (in m onder NAP)	
InSAR	Satelliet-radar methode om bodemdaling te bepalen	2.2.3
Kern	Gesteentemonster uit de ondergrond verkregen bij het boren van een put	
KNMI	Koninklijk Nederlands Meteorologisch Instituut	
LC	Lower Cretaceous, of Onderkrijt (vroege deel van het geologische tijdvak Krijt, waarin in dit gebied zandsteen is afgezet)	
Meetnet	Verzameling van meetpunten waarvan de bodemdaling wordt bepaald. Maakt deel uit van een meetplan.	2.2.4
Meetplan	Plan dat aangeeft wanneer welke bodemdalingsmeting moet worden uitgevoerd. Voor elk gasvoorkomen is er een meetplan, Soms zijn meerdere voorkomens in één meetplan gegroepeerd. Meetplannen worden jaarlijks opgesteld in overleg met SodM.	2.3
Meetregister	Rapportage van een bodemdalingsmeting	2.3
NAM	Nederlandse Aardolie Maatschappij	
Permeabiliteit	De mate waarin een (poreuze) vaste stof een andere stof (gas of vloeistof) doorlaat. Indien een materiaal een andere stof niet doorlaat heet het materiaal voor die stof impermeabel.	
Porositeit	Verhouding tussen het poriënvolume en het totale volume van het gesteente.	
Probabilistische berekening	Rekenmethode waarbij expliciet rekening gehouden wordt met onzekerheden, mogelijk door expliciet grote aantallen mogelijke situaties ("realisaties") te genereren.	
RD coördinaat	Coördinaten in het topografische kaartmateriaal zijn vermeld in het stelsel van de Rijksdriehoeksmeting (RD). De auteursrechten en databankrechten zijn voorbehouden aan de Topografische Dienst Kadaster, Emmen, 2006	
Seal	Afsluitende laag bovenop het gesteente dat het gas bevat	
SodM	Staatstoezicht op de Mijnen	
TCBB	Technische Commissie Bodembeweging	
TNO	Nederlandse Organisatie voor Toegepast-Natuurwetenschappelijk Onderzoek	
UC	Upper Cretaceous, of Bovenkrijt (late deel van het geologische tijdvak Krijt, waarin in dit gebied krijtsteen en mergel is afgezet)	
VEN	Vermilion Energy Netherlands B.V.	
Vermilion	Vermilion Energy Netherlands B.V.	
Winningsplan	Document waarin, conform de Mijnbouwwet, de plannen van een mijnbouwbedrijf met een bepaald voorkomen (soms meerdere voorkomens) worden uiteengezet. Een door de minister goedgekeurd winningsplan is een voorwaarde voor winning.	2.3

Afkorting	Naam	Meetplan	Start winning	Eind winning	Commentaar
ZDW	Zuidwal	Zuidwal	1988		
HRL-101	Harlingen-101	HRL-101	1995	2005	Onderkrijt-formatie (Lower Cretaceous, LC) Meetplan heette eerst 'Kimsword'
HUC	Harlingen Bovenkrijt	Leeuwarden-West (LEW-W)	1988	2008	Bovenkrijt-formatie (Upper Cretaceous, UC)
FRA	Franeker		1997	2008	Onderkrijt-formatie (Lower Cretaceous, LC)
RID	Ried		1988		
BOZ	Bozum	Leeuwarden-Oost/Oosterend (LEW-O)	1989		
GRW	Grouw		1982		
RWD	Rauwerd		1982		
WRG-WTN	Warga-Wartena		1981		
LEW	Leeuwarden		1970		
ERW	Eernewoude		2012		
LEW-101	Leeuwarden-101		1978		
NGA	Nijega		1970		
OPE	Opeinde		1976		
OPZ	Opeinde-Zuid		1980		
MBN	Middelburen		1980		
TID	Tietjerksteradeel		1973		In 2018 opgenomen in meetplan Leeuwarden-Oost, daarvoor in NAM-meetplan.
SUW	Suawoude		1983		
LZG	Langezwaag		Langezwaag	2012	
OLR	Oldelamer	Oldelamer	1993		
SOW	Sonnega-Weststellingwerf	Sonnega-Weststellingwerf	2015		
BLD	Blesdijke	Blesdijke	2009		
BLS	De Blesse	De Blesse	1999		
VKG	Vinkega	Vinkega-De Hoeve-Noordwolde-Weststellingwerf en Nijensleek-Diever-Eesveen	2011		
DHV	De Hoeve		2012		
WSF	Weststellingwerf		1997		
NWD	Noordwolde		1997		
NSL	Nijensleek		2000		
ESV	Eesveen-01 Eesveen-02		2015		
DIV	Diever		2015		
GRL	Grolloo	Grolloo	2009		
GSB	Geesbrug	Geesbrug	2009		

5 Referenties

5.1 Algemeen

1. Deltares, *Bodemdalingskaarten*, 2011.
2. Actuele Bodemdalingkaart Nederland, <https://bodemdalingkaart.nl/>
3. Subsidence in the Dutch Wadden Sea, P.A. Fokker *et al*, Neth. J. Geosc. **97** (2018) p. 129
4. TCBB, *Industrieleidraad ter Geodetische bepaling van bodembeweging als gevolg van mijnbouwactiviteiten*, 2014.
5. Geertsma, J.: “A basic theory of subsidence due to reservoir compaction: the homogeneous case”, *Verhandelingen van het Koninklijk Nederlands Geologisch Mijnbouwkundig Genootschap* 28, p. 43, (1973).
6. Geertsma, J. and Van Opstal, G.: “A numerical technique for predicting subsidence above compacting reservoirs, based on the nucleus of strain concept”, *Verhandelingen Kon. Ned. Geol. Mijnbouwk. Gen*, Serie 28, p. 63 (1973)
7. G.H.C. van Opstal: “The effect of base-rock rigidity on subsidence due to reservoir compaction”. *Proc. 3rd Congress. Int. Soc. Rock Mech.*, Denver Colorado, September 1974, vol 2, part B
8. *Geology of the Netherlands*, Wong et al. (eds), Royal Netherlands Academy of Arts and Sciences, 2007 / Amsterdam University Press, 2007
9. *NAP database GeoWeb, Rijkswaterstaat*
(<https://geoservices.rijkswaterstaat.nl/geoweb51/index.html?viewer=NAPinfo>)
10. *BOFEK2012, de nieuwe, bodemfysische schematisatie van Nederland*, Alterra, rapport 2387, 2013
11. TCBB, *Jaarverslag*, 2015
12. “Bodemdaling door gaswinning veroorzaakt geen schade”, M. Huijgen et al. (TNO), in *Bodem*, nummer 3, juni 2020
13. www.commissiebodemdaling.nl
14. NLOG (www.nlog.nl), website van TNO
15. Nederlands Aardolie Maatschappij, *Bodemdalingsrapport Noord-Nederland*, 2015
16. Commissie Bodemdaling Aardgas Fryslân (<http://www.bodemdalingfryslan.nl>)
17. *Productspecificaties Beheer NAP*, versie 1.1; Data-ICT-Dienst Rijkswaterstaat (RWS-DID), 2008
18. *Satellite Radar Interferometry, Subsidence Monitoring Techniques*; G. Ketelaar; Springer, 2009
19. *Probability Theory – The Logic of Science*, E.T. Jaynes, Cambridge University Press, 2003
20. “Reexamining Discrete Approximations to Continuous Distributions”, *R. Hammond & E. Bickel, Decision Analysis*, vol. 10, p. 6, 2013
21. *Bodemdaling Statusrapport 2018 - Drenthe Overijssel Friesland*, Vermilion, 2018 (te downloaden van <https://www.vermilionenergy.nl/>)

5.2 Zuidwal

22. Platform Zuidwal; InSAR Deformatie metingen 2010 – 2013; Hansje Brinker Infrastructure Monitoring; 2013
23. Rapport: Aanvullend geodetisch onderzoek Zuidwal, kenmerk: 0262994.00, Oranjewoud, 2013
24. Winningsplan Zuidwal, Vermilion, 2015. Addendum toegevoegd op 29 september 2016
25. Winningsplan Zuidwal, Vermilion, 2018
26. Meetregister bij het meetplan Zuidwal, Rapportage van de GPS-meting Zuidwal 2019, projectnummer 0453247.100; Antea 2019

27. Gaswinning en zoutwinning in de komberging Vlie, TNO rapport kenmerk: TNO 2016 R11298, datum 14 oktober 2016

5.3 Leeuwarden-West, Harlingen-101

28. *Meetregister bij het meetplan Leeuwarden-West, Rapportage van de nauwkeurigheidswaterpassing 2006*, Projectnr. 17690-162833; Oranjewoud, 2006
29. *Peilmerkdaling nabij Franeker in de periode 1988-2006*; Oranjewoud, 2007
30. *PS-InSAR-analyse van de bodemdaling in Noordwest-Friesland*; Muntendam-Bos, A.G., Hanssen, R.F., van Thienen-Visser, K., Samieie-Esfahany, S.; TNO report TNO-034-UT-2009-02318/A; 2009
31. Verschillende studies van NGI, o.a. *Harlingen Upper Cretaceous Investigation - Technical Committee. Development of conceptual model for compaction analysis*, NGI (20100377-00-2-R), 2011; en *Revised Chalk Model - Harlingen revised compaction model*, NGI (20120191-01-R) 2013
32. *Meetregister bij het meetplan Barradeel-II, Rapportage van de nauwkeurigheidswaterpassing 2017*; projectnummer 419224, Antea, 2018
33. *Vermilion Harlingen Subsidence Study*, SGS Horizon (OGC/NL/HAG/2014/NL30H-VER-001/FINAL), 2014
34. *Meetregister bij het Meetplan Leeuwarden West, Rapportage van de nauwkeurigheidswaterpassing 2018*, projectnummer 436237, 2019, Antea Group.
35. *GPS Monitorings-Logboek, HRL4, HRL7* (wordt maandelijks ge-update, en gepubliceerd op NLOG)
36. *Meetregister bij het meetplan Harlingen-101; Rapportage van de nauwkeurigheidswaterpassing 2017*; projectnummer 412976; Antea 2017
37. *Rapportage controle GNSS monitoringsstations Zweins, HRL4 en HRL7*, GNSS-meting 2019; 8e controle meting; Antea, projectnummer 0460021.100, 2020
38. *Rapportage controle GNSS monitoringsstations Zweins, BAS12, BAS3 enBAS4*, GNSS-meting 2017; 7e controle meting; Antea, projectnummer 0416263, 2018
39. *Bodemdaling door zoutwinning in de Barradeel en Barradeel-II winningvergunningen*, Esco/Frisia, 2013

5.4 Leeuwarden-Oost/Oosterend

40. *Winningsplan Leeuwarden-Nijega, Vermilion (Total)*, 2003 (goedgekeurd 8 oktober 2013)
41. *Winningsplan Leeuwarden-Nijega, actualisatie, Vermilion*, 2018
42. *Winningsplan Opeinde-Zuid, Middelburen, Vermilion*, 2018
43. *Meetregister bij het meetplan Leeuwarden-Oost – Suawoude, Rapportage van de nauwkeurigheidswaterpassing 2018*, Project 434208, Antea, 2019
44. *Meetregister meetplan Noord-Nederland 2014*, NAM doc.nr. EP201507207215, 2015

5.5 Langezwaag

45. *GNSS meting Langezwaag 2018. Rapportage van de 4e GNSS signaleringsmeting*; projectnr. 0432747; Antea, 2018
46. *Meetregister bij het Meetplan Langezwaag, Rapportage van de nauwkeurigheidswaterpassing 2016*; projectnummer 409875; Antea Group, 2016

5.6 Oldelamer

47. Meetregister bij het meetplan Oldelamer, Rapportage waterpassing, Antea projectnummer 413398, 2017
48. Winningsplan Oldelamer, Actualisatie, Vermilion, 2018

5.7 De Blesse, Blesdijke, Sonnega-Weststellingwerf

49. Meetregister bij het meetplan De Blesse - Blesdijke - Sonnega; Rapportage van de nauwkeurigheidswaterpassing De Blesse - Blesdijke - Sonnega 2019.; projectnr. 0456029.100; 2020; Antea Group.

5.8 Noordwolde, Weststellingwerf, Vinkega, De Hoeve, Nijensleek en Eesveen, Diever

50. Meetregister bij het meetplan Nijensleek, Rapportage van de nauwkeurigheidswaterpassing Nijensleek 2015; Projectnummer 262444; 2015; Antea Group
51. Meetregister bij het meetplan Noordwolde, Weststellingwerf, Vinkega en De Hoeve; Rapportage van de nauwkeurigheidswaterpassing 2017; projectnummer 413261; Antea, 2017
52. Meetregister bij het meetplan Diever – Eesveen; Rapportage van de nauwkeurigheidswaterpassing 2017; projectnummer 416753; Antea 2018
53. GNSS meting Diever - Eesveen -Vinkega - De Hoeve; Rapportage van de GNSS signaleringsmeting 2019; projectnr. 0457990.100; Antea 2020

5.9 Grolloo

54. Meetregister bij het meetplan “Grolloo”; Rapportage van de nauwkeurigheidswaterpassing 2019; projectnr. 0454009.100; Antea,2019

5.10 Geesbrug

55. Meetregister bij het meetplan Geesbrug; Rapportage van de nauwkeurigheidswaterpassing 2019; projectnr. 0454971.100; Antea 2019
56. GPS meting Geesbrug 2018; Rapportage van de 6e GPS signaleringsmeting; projectnummer 0436339; Antea 2018

6 *Bijlage: Gebruik van data uit NAP-Info*

Bij deze rapportage zijn ook gegevens uit de NAP database van Rijkswaterstaat gebruikt (ref. 9). Het doel daarvan is om meer regionaal te kunnen kijken, ook buiten de meetplannen, en om verder terug in de tijd te kunnen kijken, om zo gedrag van peilmerken voor en tijdens de gaswinning met elkaar te kunnen vergelijken.

In de Rijkswaterstaat database worden met name waterpassingen opgeslagen, met niet steeds dezelfde aansluitpunten. Ook de meetnetten zullen niet steeds voldoen aan die van de leidraad voor bodemdalingen t.g.v. mijnbouw (ref. 4). Om die reden zijn de resultaten niet geschikt voor heel precieze vaststelling van de bodemdaling, maar wel voor meer regionale en kwalitatieve analyses.

In 2004 is de definitie van NAP herzien. Hoogtes in de NAP database zijn deels daaraan aangepast met terugwerkende kracht, tot 1987. Bij gebruik van getallen van voor 1987 is de aangebrachte correctie over de jaren 1987-2004 doorgetrokken naar het verleden. Desalniettemin zijn gegevens van voor dit jaar dus iets minder eenduidig.

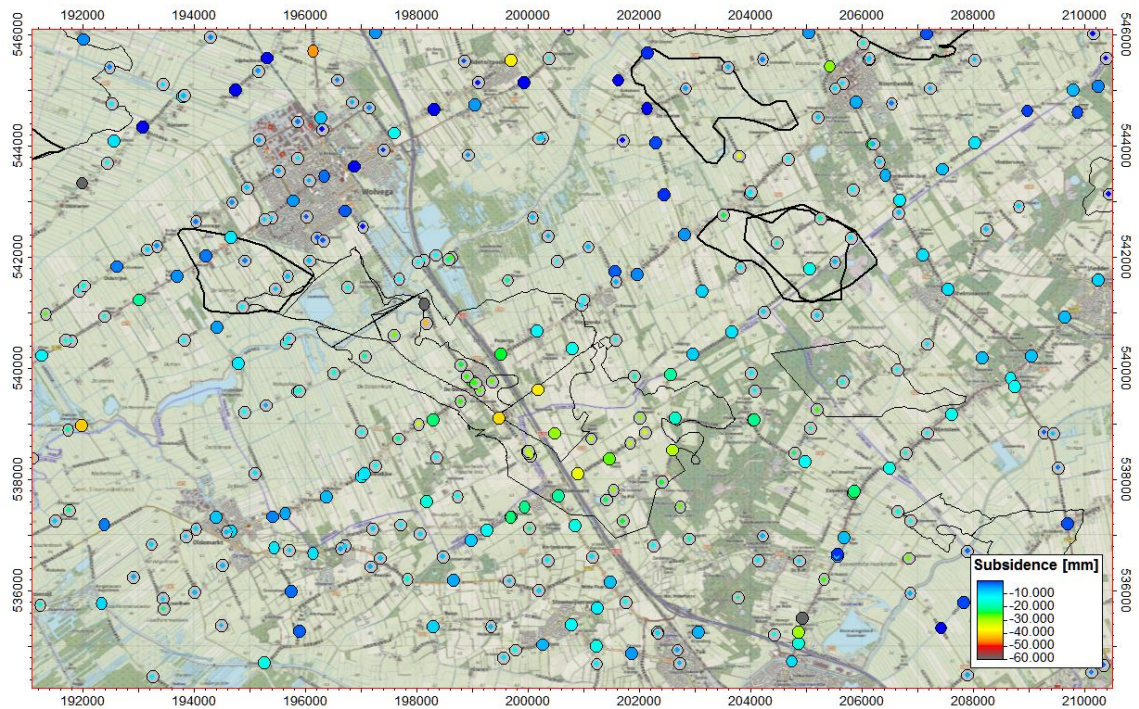
Bij de grafieken van de gegevens die uit de database komen zijn geen verdere correcties toegepast. Aangezien we hier niet in absolute NAP-hoogtes geïnteresseerd zijn, maar in relatieve, wordt de verticale oorsprong zo gekozen dat de waarde nul is rond de aanvang van de mijnbouw. Een voorbeeld van zo'n grafiek is Figuur 14-2.

Van de database zijn ook regionale kaarten gemaakt. Omdat er ruis zit in de data, en omdat lang niet alle peilmerken over de hele periode aanwezig zijn, wordt op ieder peilmerkpunt een schatting van de daling gemaakt uit de mediaan van de vijf dichtstbijzijnde peilmerken waarmee wel het hele tijdsbereik kan worden bestreken. De kleuren op de kaarten zijn interpolaties. Om deze redenen, en de bovengenoemde, moeten de kaarten dus **niet** gebruikt worden voor een precieze vaststelling van bodemdaling. Ze zijn bedoeld voor meer regionale en kwalitatieve analyses. Een voorbeeld van zo'n kaart is Figuur 6-1.

Niet voor het hele gekarteerde gebied is de meest recente meting in hetzelfde jaar. In grote lijnen is het gebied ten noorden van Heerenveen in 2018 gewaterpast, ten zuiden van Heerenveen in 2014. Dat laatste jaar is dus het meest recente tijdstip dat voor het hele gebied één kaart gemaakt kan worden.

Lokaal (in de meetplannen Leeuwarden-West en -Oost) is de Rijkswaterstaat data uit 2018 wel als steundata gebruikt.

De Rijkswaterstaat database wordt ook gebruikt om a priori inschattingen te maken van de stabiliteit van een kandidaat-aansluitpunt in de ontwerpfase van een meetnet.



Figuur 6-1 Voorbeeld van Rijkswaterstaat data 1970-2014 gekarteerd, hier voor het gebied van Sonnega-Weststellingwerf tot Eesveen. Voor ieder punt is de mediaan uit de dichtstbij-iggende punten voor de hele periode 1970-2014 genomen, voor jaren waarin geen meetdata beschikbaar is. Bij punten met een grijs randje is dat voor minstens 20% van de periode gedaan. Dat geeft een overzicht ondanks het feit dat de verschillende peilmerken steeds over verschillende periodes gemeten zijn. Maar het levert wel beperkingen op bij kwantitatief gebruik van de kaart; zie tekst. Deze figuur is in feite een ingezoomde versie van Figuur 7-1. In dit gebied begon de winning in de jaren 90, dus de eerste 20+ jaar van de weergegeven daling zijn autonoom. Zichtbaar is de bodemdaling van met name de gaswinning bij De Blesse (zie hfst. 15)..

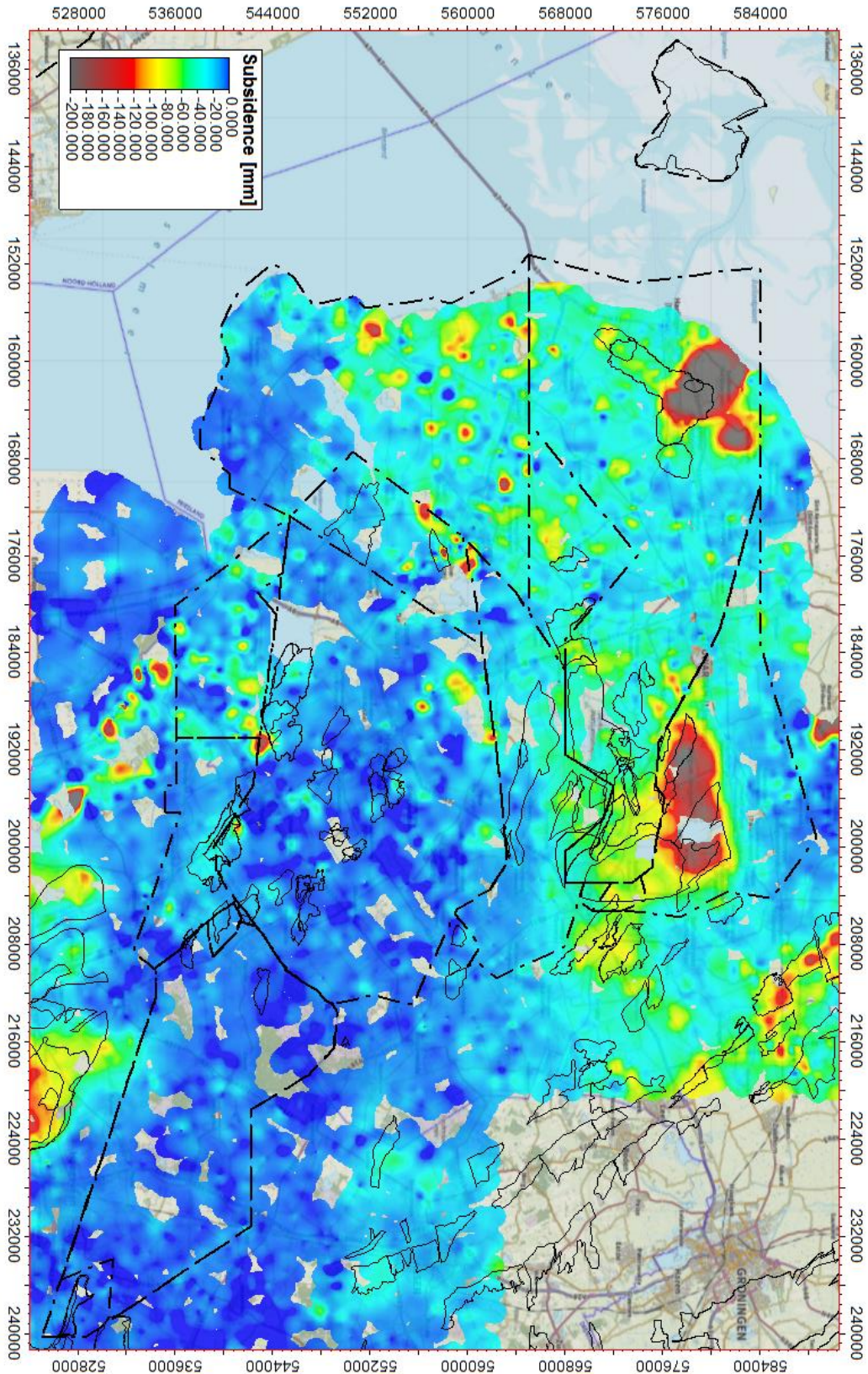
7 Bijlage: Autonome bodemdaling

Bij het vaststellen van de hoeveelheid autonome bodemdaling (zie paragraaf 2.1.5) zijn er twee bronnen. Ten eerste kunnen we kijken naar de verschillen in daling tussen een diep en een ondiep gefundeerd peilmerk die heel dicht bij elkaar liggen. Dat is, onder andere, gedaan in het meetplan Leeuwarden-West (ref. 29). Het resultaat daarvan was een schatting van 0.9mm/j autonome daling (ref. 39).

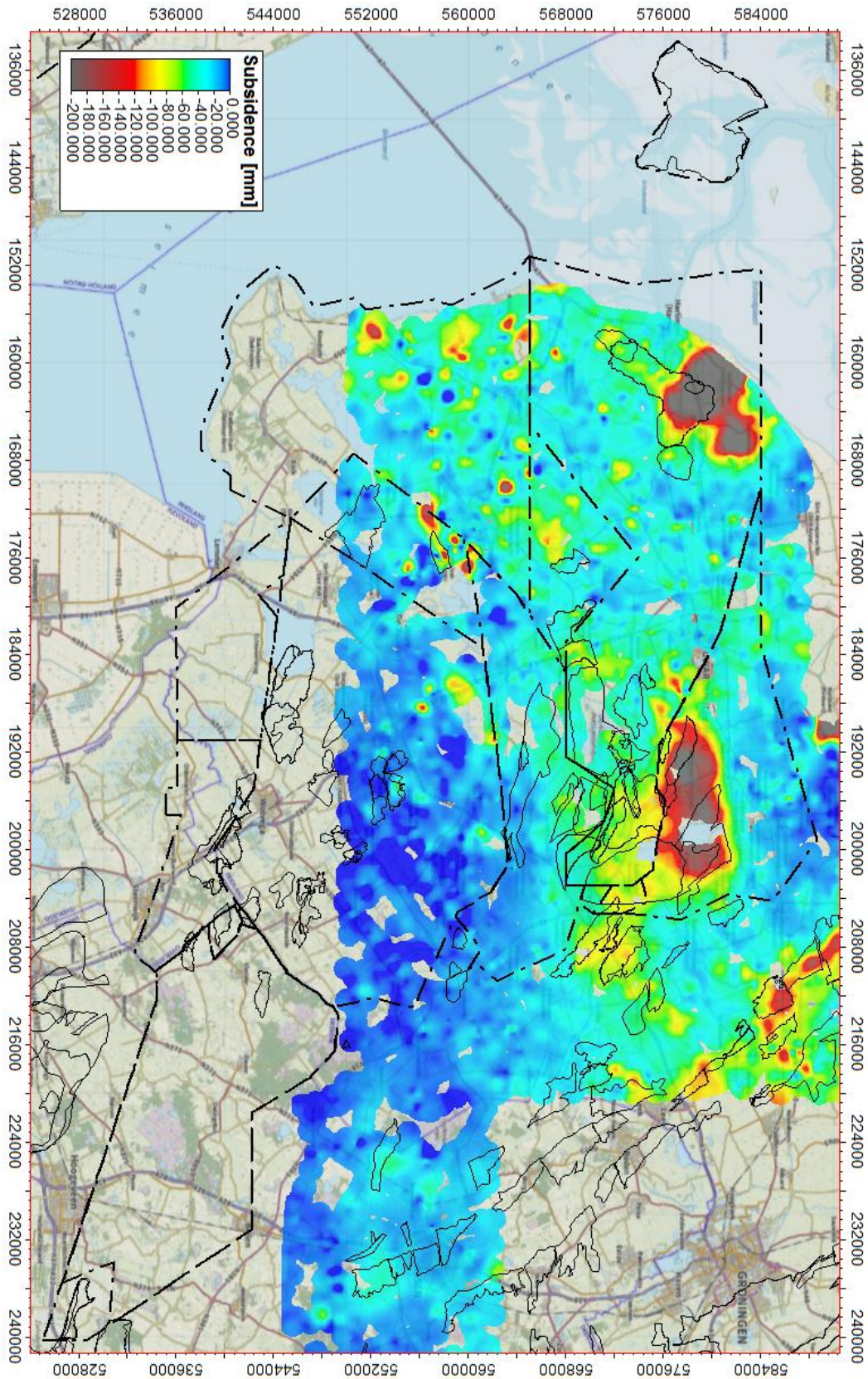
Boven het veld Tietjerksteradeel is een observatieput geboord naar ongeveer 400m diep (put TID-OBS) om de inklinking van het lagenpakket van die diepte tot de fundering van de put te meten. Uit die metingen volgt voor die locatie een waarde van 0.2 mm/j (Figuur 12-2).

Een derde bron van informatie zijn de regionale kaarten die op basis van de RWS-database gemaakt kunnen worden (ref. 9). Zo'n kaart is hieronder afgebeeld. De kaart geeft de peilmerkdaling van 1970-2013 weer over het Vermilion gebied in Noord-Nederland. De bodemdaling door gaswinning is duidelijk te zien. Daarnaast zien we een achtergrondpatroon dat van geelgroen in het Noordwesten naar licht- tot donkerblauw in het zuidoosten verandert. Dit geeft een regionale trend aan in de autonome daling, van de hierboven besproken 0.9 mm/j bij Franeker tot een veel lager getal in zuidoost Friesland en Noordwest Drenthe.

De ruwe schattingen uit deze kaart zijn gebruikt als achtergrondinformatie bij de analyses om de mogelijke impact van de autonome daling aan te geven. Gezien de lage waarden is het duidelijk dat dit een belangrijker rol speelt in de oude winningen (bijv. Leeuwarden-Oost) dan in de meer recente (Vinkega).



Figuur 7-1 Rijkswaterstaat data 1970-2014 gekarteerd, hier voor het hele Vermilion gebied in Friesland, Overijssel en Drenthe, en omliggende gebieden. Waar de kaart doorzichtig is, zijn onvoldoende metingen (bijv. omdat er een meer is). Zichtbaar is de bodemdaling van met name Barradeel, Harlingen Bovenkrijt en Tietjerk in het noorden, en De Wijk in het zuiden. Voor ieder punt is de ontbrekende data aangevuld met de mediaan uit de dichtstbij-iggende punten. Dat geeft een overzicht ondanks het feit dat de verschillende peilmerken steeds over verschillende periodes gemeten zijn. Maar het levert wel beperkingen op bij kwantitatief gebruik van de kaart; zie tekst.



Figuur 7-2 Rijkswaterstaat data 1970-2018 gekarteerd, hier voor het hele Vermilion gebied in Friesland, Overijssel en Drenthe, en omliggende gebieden, voor zover ze door RWS in 2018 gewaterpast zijn. Zie commentaar bij Figuur 7-1 en tekst.

8 Bijlage: Overzicht modelleringsparameters

Vermilion heeft het Geertsma-van Opstal model (ref. 5, 6, 7) verwerkt in Matlab, in navolging van TNO. In dit model wordt de vorm van het reservoir c.q. het gebied waarbinnen de druk daalt middels een polygoon ingevoerd. De compactie is dan lineair in druk en hoogte. Deze berekening wordt in het algemeen probabilistisch uitgevoerd, zoals in de tekst besproken. Om het model worden alle lagen boven het gasvoorkomen als één elastisch, uniform, geheel beschouwd.

In tabel 1 worden de gebruikte gegevens weergegeven voor de compactie- en bodemdalingsberekeningen. De waarden gestoeld op ervaring van Vermilion en van de NAM (ref. 15). Na metingen wordt de uitkomst gecalibreerd. Maar omdat er onzekerheden zijn in meerdere parameters, is het in het algemeen niet mogelijk om de parameterwaarden te bepalen uit de meetuitkomsten; meerdere parametercombinaties kunnen tot dezelfde uitkomsten leiden.

Voor een aantal (oudere) voorkomens is de bodemdalingsberekening op een eenvoudiger, niet-probabilistische manier gedaan. Over het algemeen wordt bij deze voorkomens de berekening bijna volledig bepaald door de meetresultaten, i.p.v. door de a priori modellering (zie paragraaf 2.5.3).

Voor het Harlingen Boven Krijt gasvoorkomen wordt de compactie anders, en veel gedetailleerder, uitgerekend. Voor het Zuidwal voorkomen is een 3D drukveld meegenomen (zie paragraaf 2.5.42.5.3).

Tabel 1: Invoergegevens compactie- & bodemdalingsmodel. Aan de L/M/H waarden worden in het algemeen de kansen 30%/40%/30% toegekend. In individuele gevallen kan specifieke informatie beschikbaar zijn om een andere keus te maken. Zoals in de tekst besproken zijn voor velden met een zeer lange productie-geschiedenis, de bodemdalingsmetingen wezenlijker voor de verwachting dan de a priori parameter-waarden en -onzekerheden.

		Waarden			
Naam		L	M	H	Commentaar
Depletie-gebied		Diverse vormen, om de mogelijkheid van depletie in watervoerend deel mee te nemen.			
Begindruk		Conform drukmeting			
Einddruk		Range die de kans op premature uitwatering weerspiegelt.			
Poisson Ratio		0.25			
Diepte		Diepte GWC. Meestal lage onzekerheid			
Oedometrische Compressibiliteit [1/bar]	Vlieland	9.00E-06	1.50E-05	2.25E-05	Zuidwal heeft een kleinere Cm
	Zechstein	2.50E-06	4.50E-06	7.00E-06	
	Rotliegend	4.00E-06	6.00E-06	8.00E-06	
Depleterende hoogte		Netto hoogte in de put, met onzekerheidsmarge conform geologische analyse			
Rigid Basement Factor	Vlieland	1.05	1.2	1.25	Voor Zuidwal wordt een kleinere RB genomen
	Overig	1.01	1.05	1.1	
Tau [y]		2	3	5	Zuidwal en Tietjerk hebben een grotere Tau, door interne druk-heterogeniteiten
Productie Profiel		Onzekerheid in productieprofiel wordt meegenomen.			

9 Bijlage: Meetplan 'Zuidwal'

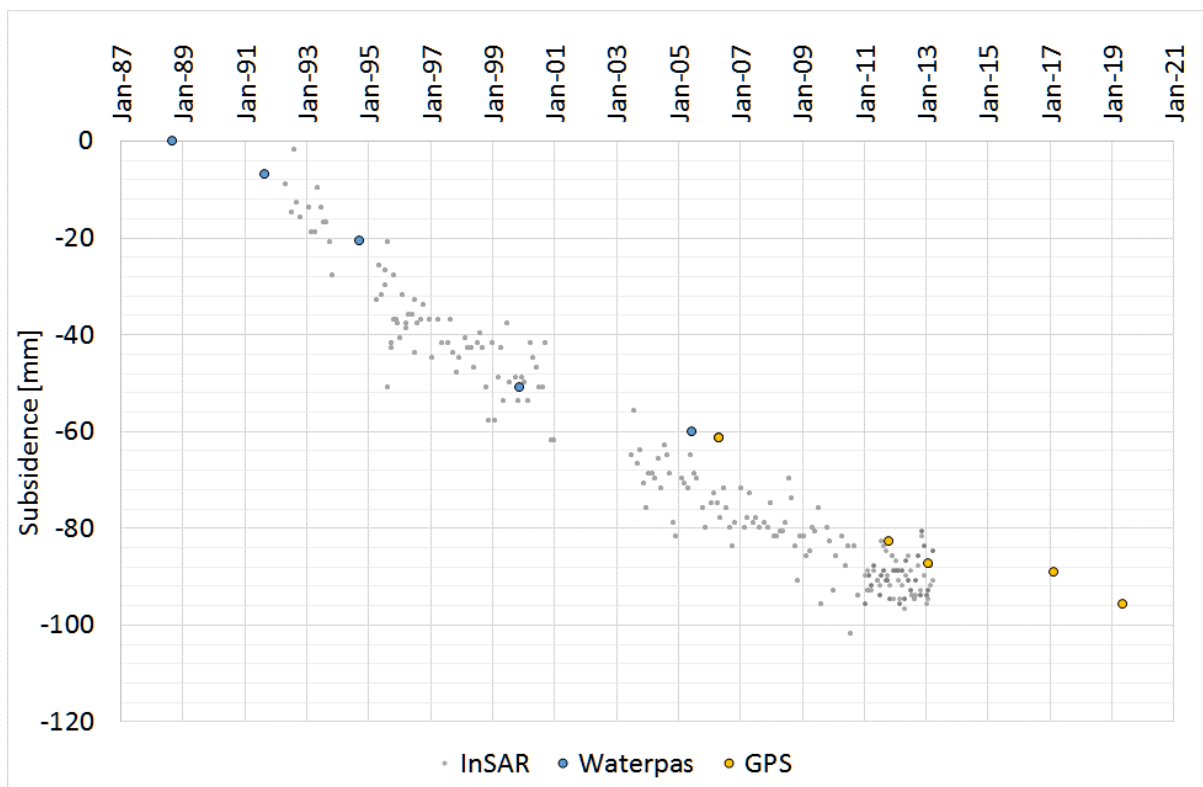
Winning uit Zuidwal vindt plaats sinds 1988. De productie komt uit de Vlieland zandsteen.

Op het Zuidwal (ZDW) platform is in het verleden aan de hand van verschillende technieken de beweging ten opzichte van het vaste land gemeten. In de eerste fase gebeurde dat met waterpassing, gedeeltelijk met peilmerken ook op het wad. De nulmetingen voor het Zuidwal voorkomen is uitgevoerd in 1988. Herhalingsmetingen zijn uitgevoerd in 1991, 1994 en 1999 en 2005 op de op het platform aanwezige peilmerken. Dit waren alle waterpasmetingen.

In 2006 is voor het eerst gebruik gemaakt van een GPS-meting ter vervanging van de waterpasmetingen. De GPS-herhalingsmetingen zijn uitgevoerd in 2011, 2013, 2017 en 2019. Specifiek is aandacht besteed aan de aansluiting van de GPS- op de waterpas-metingen (ref. 23).

Tenslotte is er voor de periode 1992 tot 2013 is aan de hand van drie series van beschikbare radarbeelden door Hansje Brinker een InSAR analyse uitgevoerd (ref. 22).

Zoals in de figuur hieronder te zien is vallen beide metingen nog binnen elkaars meetonzekerheid van ongeveer 5-10 mm. Bij de interpretatie en vergelijking van deze resultaten dient met deze onzekerheid rekening te worden gehouden. Desalniettemin geeft de InSAR een nuttige aanvulling, met name omdat de meting een meer continu karakter heeft.



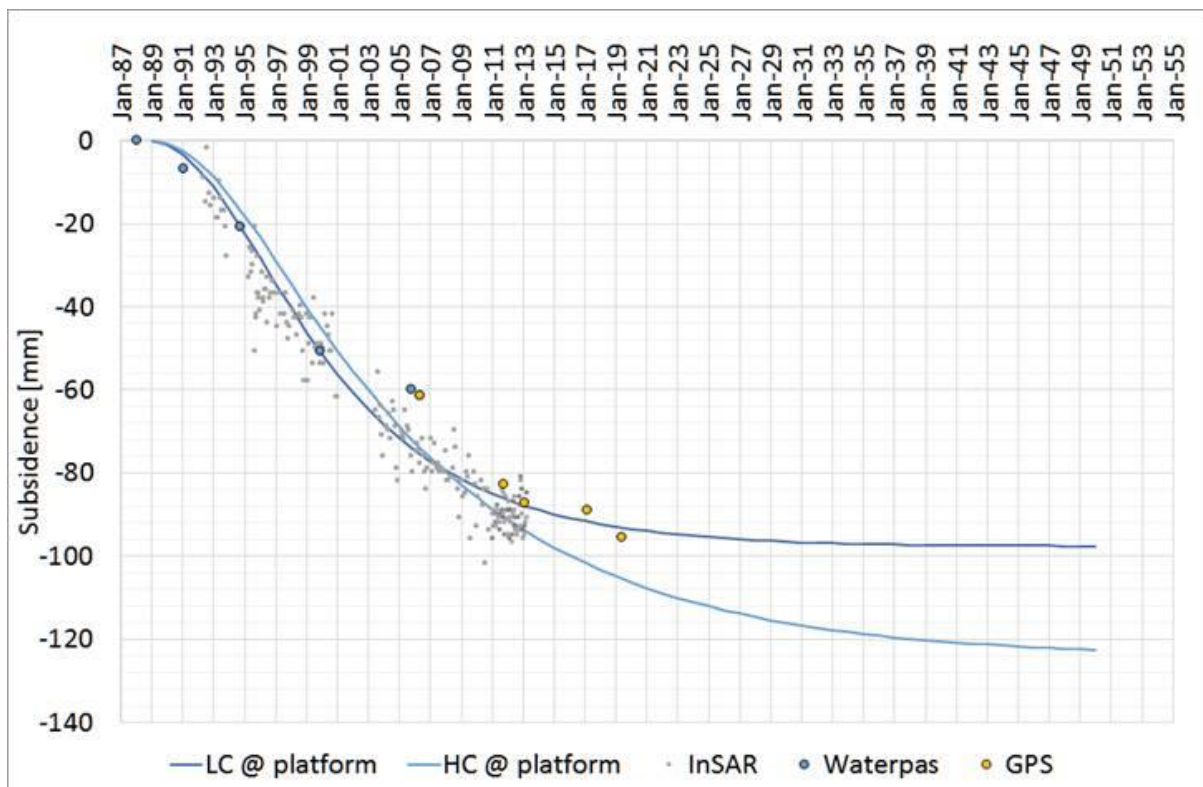
Figuur 9-1 Vergelijking InSAR-resultaten (kleine puntjes) met waterpas- (blauw) en GPS-resultaten (oranje). Het laatste punt is de uitkomst van de meest recente GPS-meting, in 2019.

In een studie in 2015 is een serie modellen gemaakt die de waargenomen bodemdaling reproduceren (ref. 24). Die geven een maximale bodemdaling van 100-140 mm. Hierbij is rekening gehouden met het feit dat de locatie van maximale bodemdaling, namelijk het diepste punt van de kom, niet precies op de locatie van het platform ligt. Het totale volume

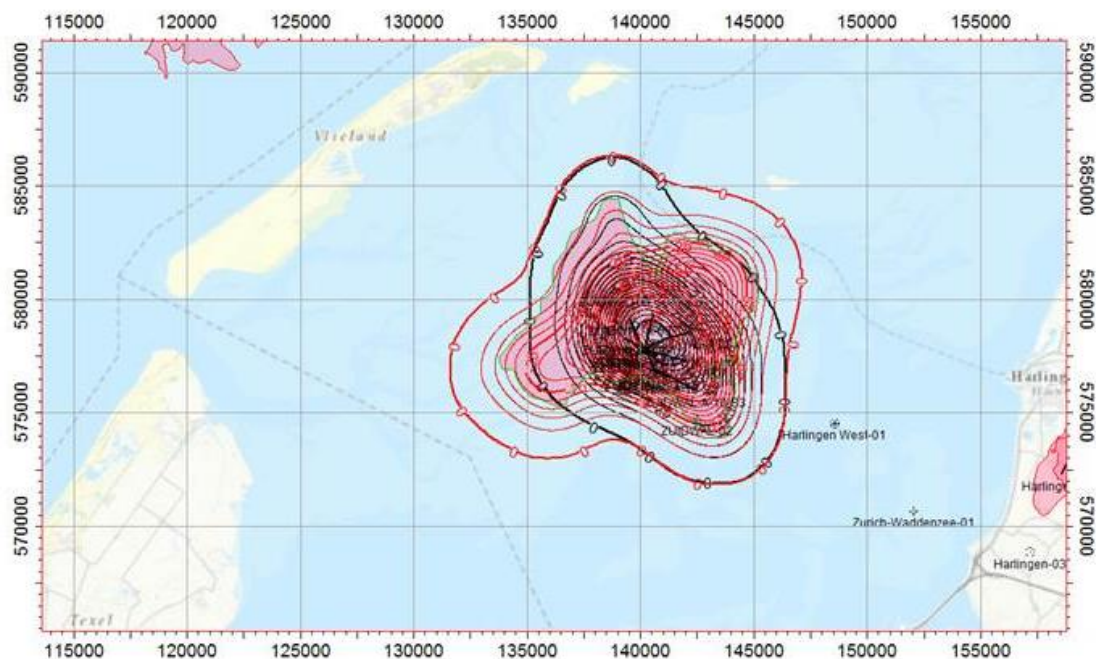
van de dalingskom bedraagt 2.5-5.0 miljoen m³. In lijn met het feit dat het overgrote deel van de Zuidwal productie in het verleden ligt (in de periode 1987-1994), verder in het verleden dan de waargenomen tijdsvertraging, is de snelheid waarmee de bodemdaling plaatsvindt al substantieel lager geworden, en zal in de toekomst nog verder afnemen.

In 2019 is de meest recente GPS meting uitgevoerd (ref. 26). De schatting voor de cumulatieve daling op de platform locatie is op basis van deze meting 95 mm. Dat klopt goed met eerdere modelberekeningen, waarbij de einddaling op 10-14 cm werd geschat. Er is dan ook geen reden deze berekeningen bij te stellen.

Omdat er geen vlakdekkende waterpassing is uitgevoerd, is er onzekerheid over de grootte van de dalingskom. Die onzekerheid is Figuur 9-3 geschetst.



Figuur 9-2 Vergelijking InSAR-resultaten (kleine zwarte puntjes), waterpas- (oranje) en GPS-resultaten (geel) met modelberekeningen. De blauwe en groene lijnen zijn twee model scenario's voor de bodemdaling op de platformlocatie, met verschillende stijfheid en traagheid, die de gemeten data reproduceren (uit ref. 24).



Figuur 9-3: Verwachte eindsituatie van de bodemdaling, in relatie tot het vasteland van Friesland en Vlieland. De bodemdalingskom is beperkt tot de Waddenzee. Er zijn twee kommen getekend (in rood en zwart) die de onzekerheid over de grootte van het depletiegebied weergeven. Voor de komvolumeberekeningen wordt de rode kom gebruikt (ref. 24, 25).

Om de impact op de Waddenzee in te schatten moeten de veranderingen in komvolumevergeleken worden met de natuurlijke suppletie-capaciteit van het getijddebekken waarin Zuidwal zich bevindt (het 'Vlie' bekken). Het resultaat daarvan is een kom-gemiddelde daling.

De schatting van de impact van deze kom-gemiddelde daling is vervolgens gemaakt aan de hand van een methode zoals opgezet door TNO (ref. 27). Hierbij worden de volgende uitgangspunten gebruikt:

- De natuurlijke suppletie capaciteit van het Vlie bekken is 5 mm/jaar.
- De relatieve zeespiegelstijging is 2.2 mm/jaar en neemt toe tot 4 mm/jaar in 2050, dit is inclusief de autonome daling.
- Frisia zoutmijn operatie in het Havenmond gebied heeft een bodemdaling gebruiksruimte van 0.99 mm/jaar.
- De totale bodemdaling gebruiksruimte voor gaswinning is gesteld op 0.42 mm/jaar.

De impact van Zuidwal blijkt dan meer dan een orde-grootte kleiner dan de natuurlijke suppletie-capaciteit te zijn (ref. 24). Gezien het feit dat uit de metingen blijkt dat de dalingssnelheid is afgenomen, en gezien het feit dat de productiehoeveelheden al jaren laag zijn, en nog verder zullen afnemen in de komende jaren, worden schadelijke effecten op natuur en milieu in de Waddenzee dus niet verwacht.

10 Bijlage: Meetplan ‘Leeuwarden-West’

10.1 Inleiding

Het meetplan Leeuwarden-West meet de bodemdaling t.g.v. vooral de winning uit het Harlingen Bovenkrijt (HUC) voorkomen. De productie in dit veld is gestopt in 2008. Maar door de specifieke, sterk afwijkende, aard van het krijtgesteente (HUC is het enige onshore gasveld in Nederland waar het gas in krijtsteen zit), vertoont de bodemdaling door deze winning een uitzonderlijk groot na-ijl effect. Bovendien vindt er ten noorden van het HUC voorkomen zoutwinning plaats, uit de concessie Barradeel, met een vergelijkbare hoeveelheid bodemdaling tot gevolg.

Onder dit meetplan vallen ook de voorkomens Franeker (uitgeproduceerd sinds 2008) en Ried (producerend). Deze voorkomens zitten in de Vlieland zandsteenlaag waaruit ook elders (bijvoorbeeld uit Leeuwarden-Nijega) wordt geproduceerd. Deze zandlaag vertoont het anomale na-ijl-effect niet. Bovendien is de Vlieland zandlaag hier zeer dun (~4 m). Daardoor veroorzaakt de productie uit Ried (en vroeger die uit Franeker) nauwelijks (< 1 cm) bodemdaling. Naast de veel diepere kom van HUC zijn de dalingen van Ried en Franeker niet waarneembaar.

Hieronder een analyse van de waterpassing uit 2018, en van de andere gerelateerde metingen sinds 2015.

Het meetplan Harlingen-101 wordt apart besproken in hoofdstuk 11.

10.2 Meest recente metingen

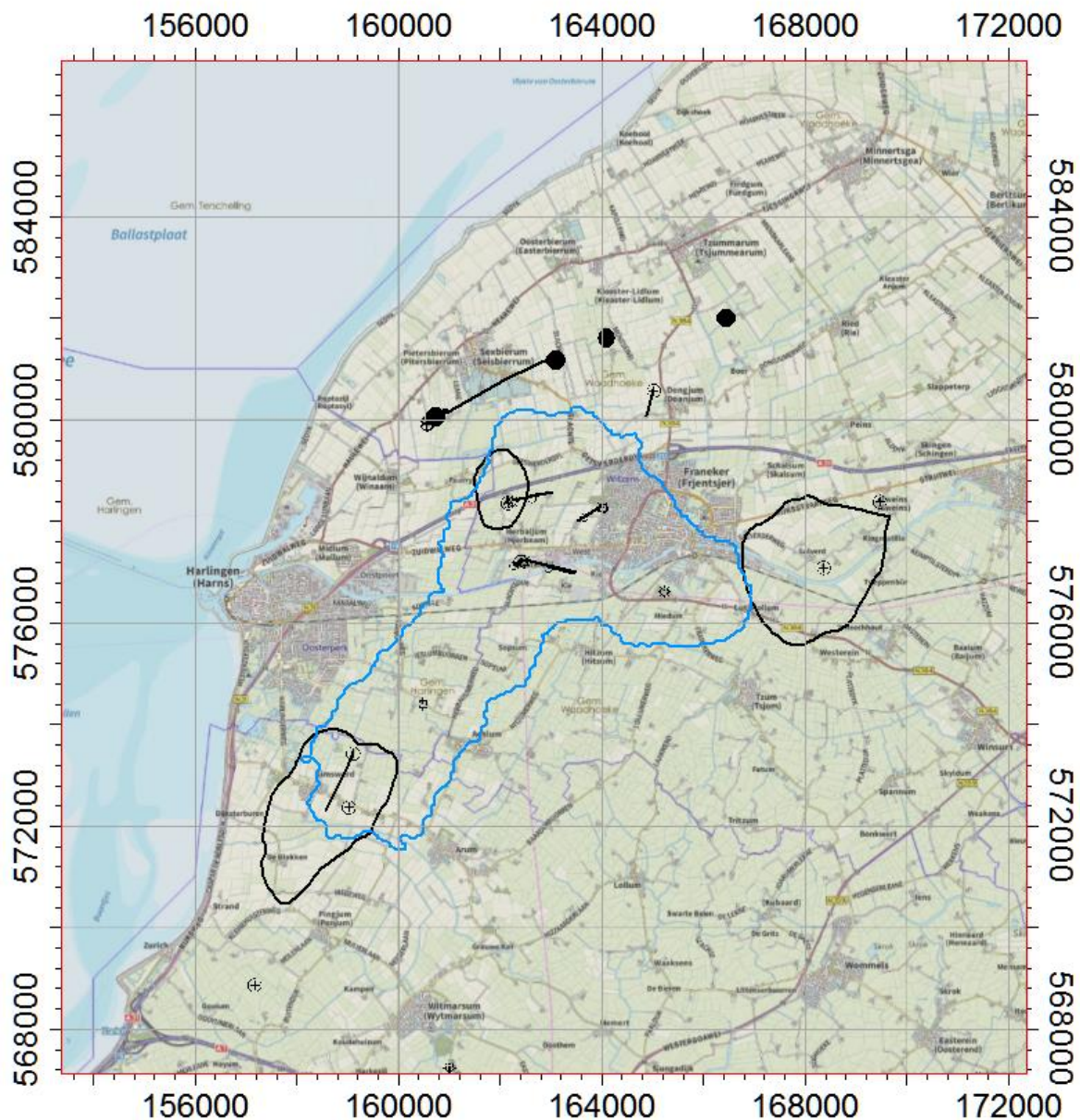
De laatste waterpassing van dit meetplan vond plaats in 2018 (ref. 34). Naast de waterpassing, vindt er continue GPS monitoring plaats bij HRL-04 (Warnst, Herbaijum) en HRL-07 (Miedleane, Herbaijum). Figuur 10-3 geeft de meetresultaten op de HRL-04 locatie.

Het meetnet heeft overlap met het meetnet Harlingen/101-Kimswerd (besproken in hoofdstuk 11). Ook de waterpassingen die voor de zoutwinning Barradeel zijn gedaan (ref. 32), overlappen met dit meetnet (Figuur 10-2), en zijn relevant omdat de dalingskom door zoutwinning overlap heeft met de dalingskom door gaswinning. Deze twee meetnetten zijn in 2017 gemeten.

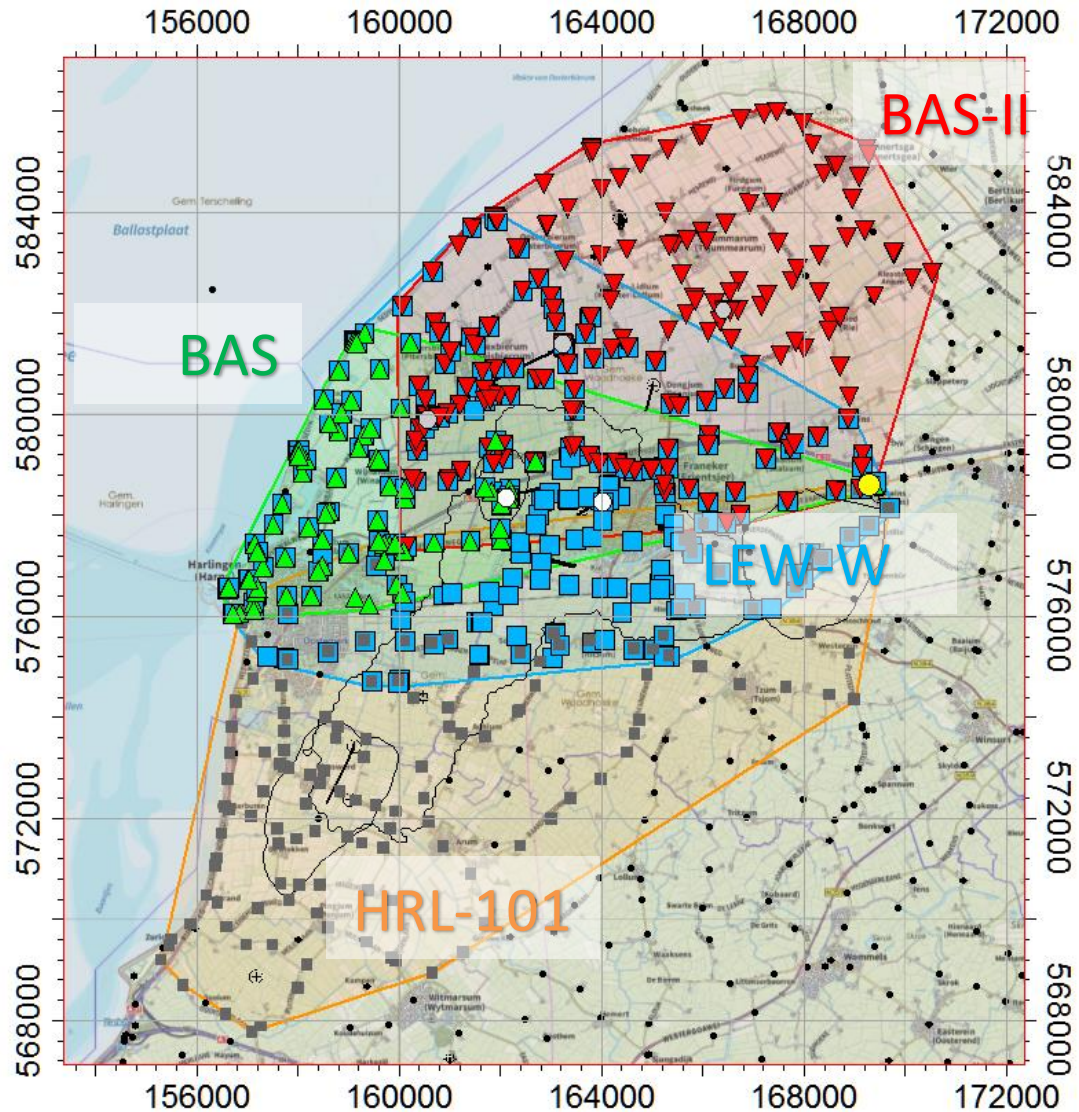
De waterpassing heeft een punt bij Zweins als aansluitpunt, dat buiten de invloedssfeer van de hier besproken voorkomens ligt, en stabiel is (ref.).

Ook Rijkswaterstaat heeft in 2018 een waterpassing in Noord-Nederland uitgevoerd, waaronder ook in dit gebied. De Rijkswaterstaat (RWS) waterpassingen (ref. 9) zijn geodetisch wat anders opgezet, en hebben een lagere ruimtelijke resolutie. Ze zijn dus alleen als ondersteunende informatie gebruikt (zie hfst. 6).

In het verleden zijn ook InSAR (satelliet) metingen gebruikt om de dalingskom in beeld te brengen (ref. 33).



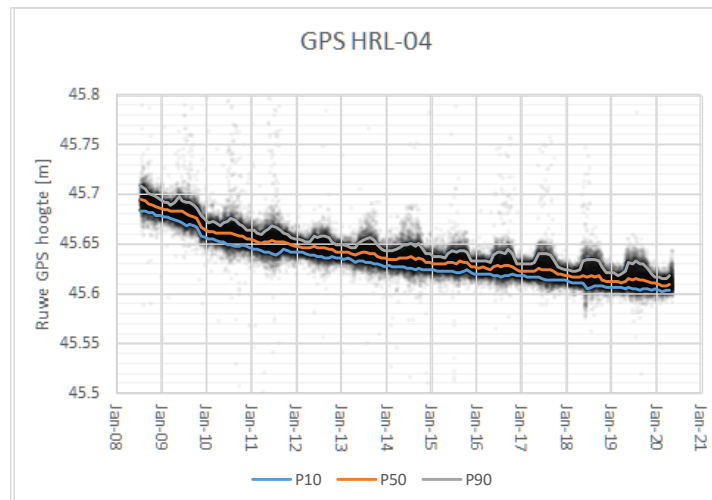
Figuur 10-1 Overzicht ligging gasvoorkomens. Zoutwinning is met zwarte cirkels aangegeven. De zwart omrande polygonen zijn de voorkomens in de Vlieland Zandsteen, die heel weinig bodemdaling opleveren (zie tekst). Het Harlingen-Bovenkrijt voorkomen is met blauw aangegeven. Het noordelijk deel van dit voorkomen veroorzaakt significante bodemdaling, die door het meetplan 'Leeuwarden-West' gemonitord wordt, het zuidelijke deel wordt met het meetplan Harlingen-101 gemonitord.



Figuur 10-2 Schematische kaart om het dekkingsgebied van het meetplan Leeuwarden-West ('LEW-W') aangegeven (blauw), en de overlappende buur-meetplannen. De cirkels zijn de permanente GPS-locaties, de gele cirkel aan de oostzijde geeft het referentie- of aansluitpunt weer bij Zweins (ref. 37, 38). De zwarte puntjes (ook buiten de meetplannen) geven het wijdere Rijkswaterstaat-net aan (ref. 9). Het meetplan Harlingen-101 wordt apart besproken in hoofdstuk 11.

Tabel 10-1 Overzicht historisch uitgevoerde waterpassingen. Merk op dat de Rijkswaterstaat (RWS) waterpassingen (ref. 9) bedoeld zijn voor een groter gebied, en met een wat lagere ruimtelijke resolutie worden uitgevoerd. Ze zijn alleen als ondersteunende informatie gebruikt (zie hfst. 6)

Jaar	LEM-W	HRL-101	Barradeel, Barradeel-II	Rijkswaterstaat
1987				X
1988	X			
1992	X			
1993	X			
1995			X	
1996	X	X	X	
1997	X		X	
1998	X		X	X
1999			X	
2000	X		X	
2001			X	
2002			X	
2003	X		X	X
2004			X	
2005			X	
2006	X	X	X	
2007	X		X	
2008	X			
2009	X		X	
2010	X			
2011	X		X	
2012	X			
2013	X		X	X
2014	X			
2015	X		X	
2017		X	X	
2018	X			X



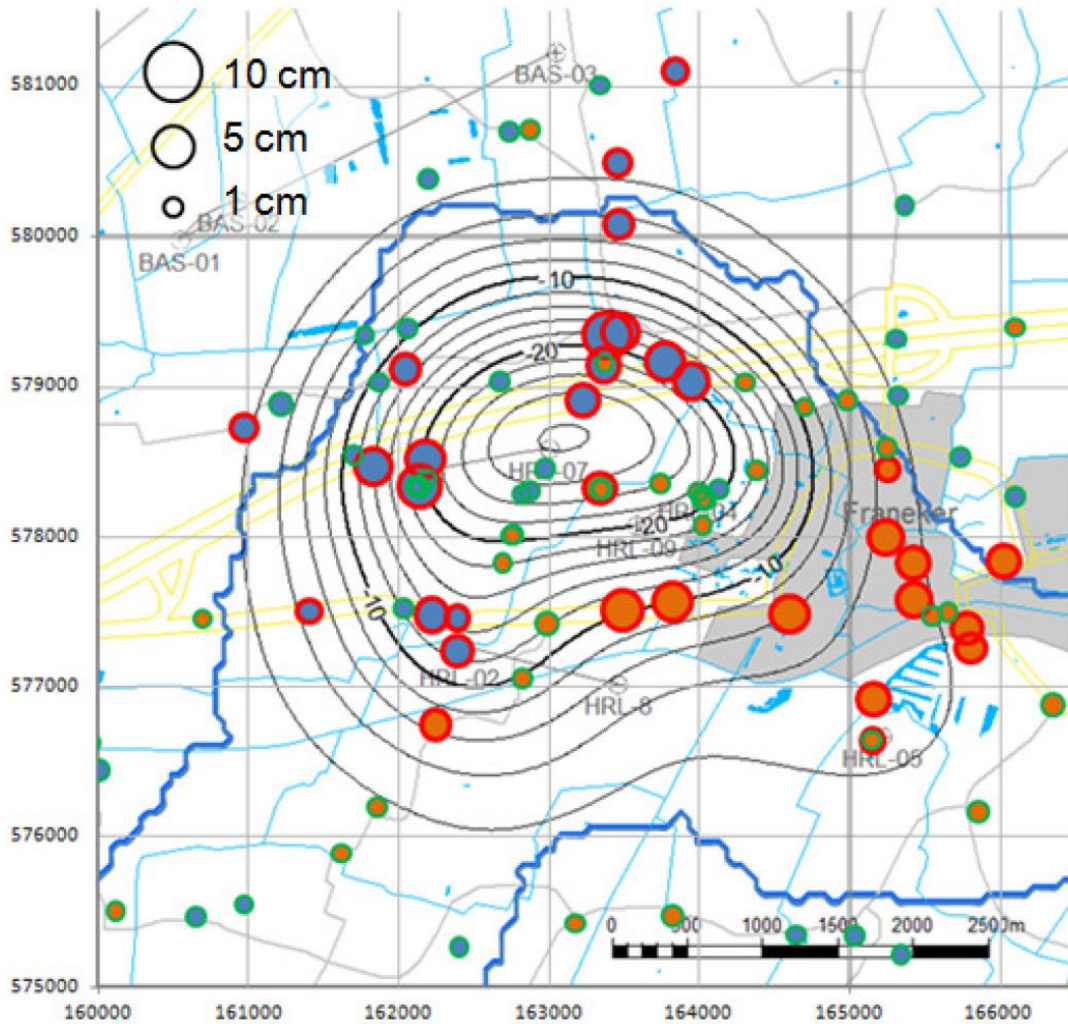
Figuur 10-3 Grafische weergave van de GPS-metingen bij de putlocatie HRL-04. De zwarte puntjes zijn de meetdata. Er is een duidelijke (seizoens-afhankelijke) ruis in de data. Weergegeven zijn P10-, P50- (=mediaan) en P90-gefilterde, curves, die bij de interpretatie gebruikt zijn.

10.3 Bestaande modelering

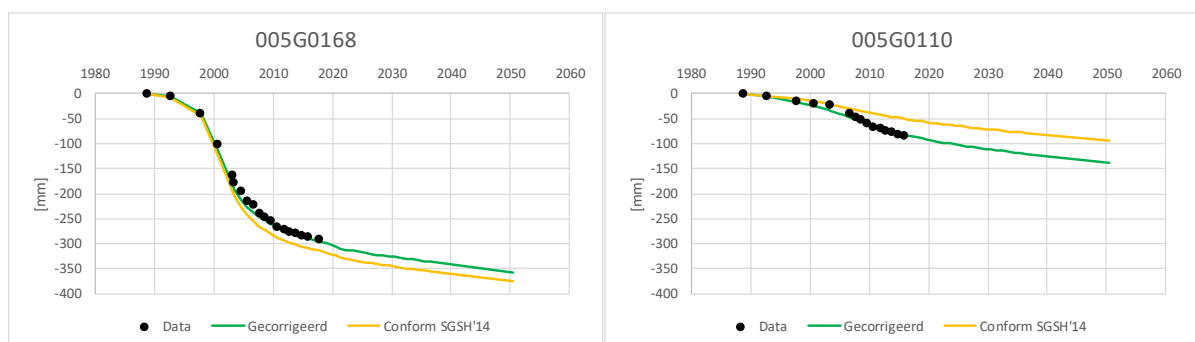
In de periode 2008-2014 is er een meerjarige studie uitgevoerd door SGSH (ref. 33). Dit was een uitgebreide meerjarige studie. Naast dalingsmetingen, zijn ook metingen aan rots-samples gedaan. Er is een 3D ondergrond-model gemaakt voor een beschrijving van de drukverdeling, dat is gecalibreerd aan het putgedrag. De analyses leverden begrip op van zowel het primaire compactiemechanisme (door depletie) als het secundair na-ijl-effect (ook wel “creep” genoemd). De studie leverden dalingsverwachting op, gecalibreerd aan metingen t/m 2013. De studie is publiek gemaakt en o.a. via NLOG te verkrijgen (ref. 14).

Voor de berekening van bodemdaling uit compactie wordt de methode van Opstal/Geertsma gebruikt (ref. 7). Omdat de bodemdaling door zoutwinning overlapt met die door de vroegere gaswinning, moet er voor de zout-gerelateerde daling gecorrigeerd worden om de gas-gerelateerde daling over te houden. Dat gebeurt door een schatting te maken voor die zout-gerelateerde daling o.b.v. de methodologie die Esco/Frisia gebruikte (bijv. ref. 3939). Daarnaast wordt gecorrigeerd voor autonome daling (ref. 33).

Het uitgangspunt van de modelering van de gasbodemdaling is dus het SGSH rapport (ref. 33). Zoals al in 2018 (ref. 21) en in het SGS rapport zelf geconstateerd (Figuur 10-4), past het SGSH model niet precies op de waterpassing 2013 (‘misfit’). Het berekent iets te weinig daling bij Franeker en iets teveel daling in het diepste punt van de kom. Deze misfit werd in de waterpassingen van 2015 bevestigd. Daarom zijn er in bij de duiding van de meest waterpassing van 2015 kleine correcties toegepast om die misfit te corrigeren. Dat levert een kom op die iets minder diep is rond Herbaijum, maar iets dieper rond Franeker. De dalingskom wordt dus, t.o.v. die in het SGS rapport, door die correcties iets minder diep, maar iets breder. Het komvolume blijft nagenoeg gelijk.



Figuur 10-4 Door SGSH opgemerkte discrepanties tussen model en metingen (blauw: te veel daling in model oranje: te weinig daling in model). Dit is Figuur 6.8 uit ref. 33. Het blauwe polygon geeft de contour van het Harlingen-Bovenkrijt voorkomen aan; de zoutwinningslocaties (BAS-01, BAS-02 en BAS-03) zijn ook te zien ten noordwesten van het gasvoorkomen.



Figuur 10-5 Illustratie van de impact van de correctie aan de hand van twee peilmerken. Links in Herbaijum, rechts bij Franeker. Het SGSH model in oranje, de correctie in groen, waterpasdata in blauw. (Figuur uit ref. 21.)

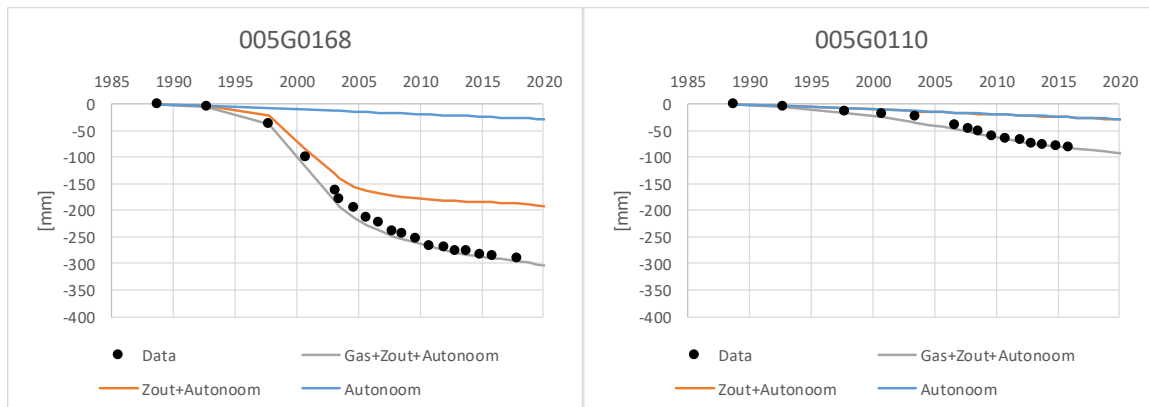
10.4 Duiding meest recente metingen

De waterpassing van 2018 is in lijn met de verwachtingen na de vorige analyse. Er waren slechts zeer kleine aanpassingen nodig (vgl. Figuur 10-5 met Figuur 10-6).

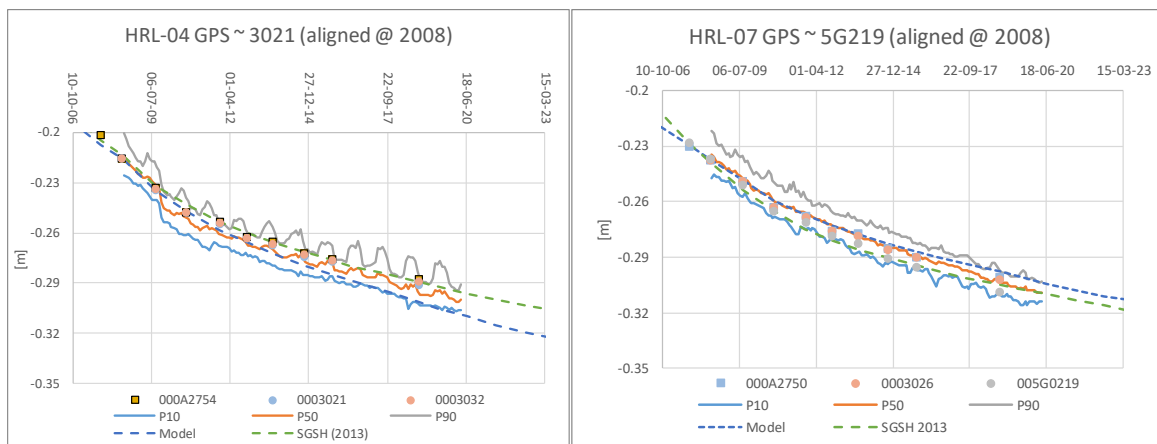
Naast de waterpassing, is er ook gekeken naar de GPS-data die bij de putlocaties HRL-04 en HRL-07 gemeten wordt. Als we naar die data kijken (Figuur 10-3), dan zit er redelijk wat ruis op. De ruis is bovendien seizoensafhankelijk, met name bij HRL-04. Dat maakt het nodig om statistische bewerkingen op de data toe te passen (bijv. een mediaan-filter, zie Figuur 10-3).

Opgemerkt kan worden dat de GPS peilmerken niet diep gefundeerd zijn, en dus ook autonome daling zullen vertonen. De GPS stations zijn geplaatst in 2008, dus na beëindiging van de gaswinning. Ze vertonen dus alleen na-ijl-daling (“creep”).

Ook de GPS metingen zijn in lijn met de model verwachtingen.



Figuur 10-6 Resultaten van waterpassing 2018 op dezelfde punten als in Figuur 10-5, vergeleken met modellen. Links in Herbaijum, rechts bij Franeker. Daling is grafisch opgesplitst naar gas, zout, autonoom.



Figuur 10-7 Resultaten van GPS metingen, vergeleken met modellen, en met de waterpassingen op dezelfde punten. Geplot zijn de gefilterde curves (zie Figuur 10-3).

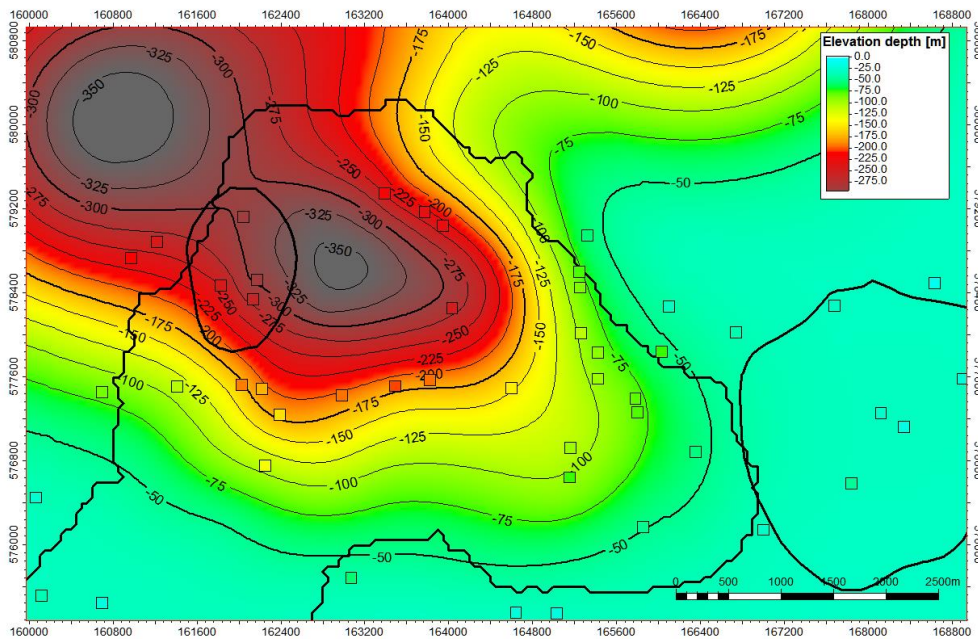
Naast bodemdalingmetingen, zijn er ook drukmetingen uitgevoerd. Een van de door SGSH gesignaleerde onzekerheden was de mogelijkheid dat door druk-vereffening binnen het HUC voorkomen er locaties zouden zijn waar ook na 2008 de druk zou dalen (met primaire bodemdaling tot gevolg). Maar de metingen laten zien dat het drukherstel in het Harlingen (Bovenkrijt) gasvoorkomen wat sneller gaat dan verwacht; in alle putten stijgt de druk en er is geen aanwijzing voor lokale drukdaling door equilibratie.

Naast calibratie aan tijdseries (zoals in de figuur hierboven) wordt ook gecalibreerd aan het ruimtelijke beeld. Die calibratie leverde in het verleden de correctie op die boven besproken is (Figuur 10-4), en is na de waterpassing in 2018 opnieuw bekeken. In de onderstaande kaart

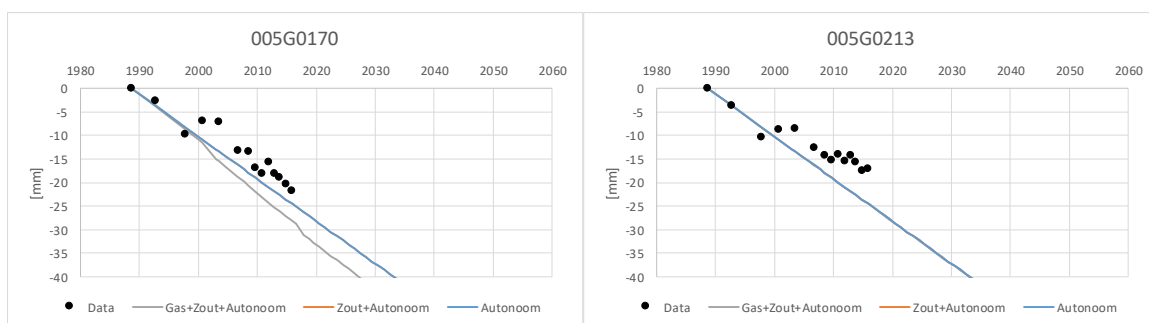
wordt de calibratie geïllustreerd. De getoonde peilmerken zijn die met data over de hele periode 1988-2018. Dat is een klein deel van de volledige set peilmerken. Voor de andere, later geplaatste, peilmerken is steeds gecalibreerd aan de periode die voor dat peilmerk relevant is, dus is in principe voor elk peilmerk een andere periode.

Onderstaande kaart illustreert ook dat, en hoe, de zout-daling meegenomen is: de metingen maken immers geen onderscheid, en meten alleen het totaal van alle oorzaken samen.

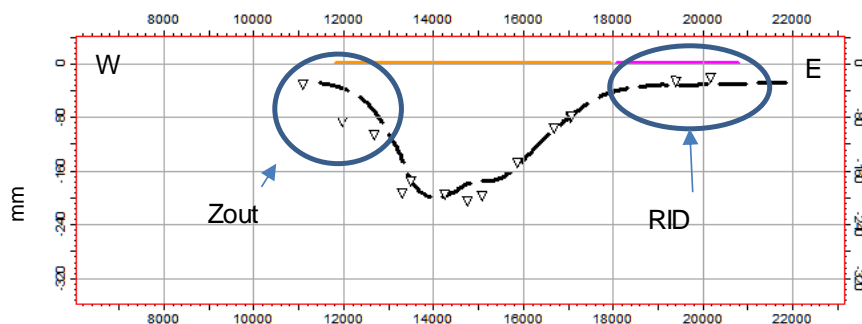
Autonome daling is meegenomen conform de analyse van SGS (ref. 33): een waarde van 0.9 mm/j is gebruikt (zie ook hfst, 7).



Figuur 10-8 Kaart van totale bodemdaling 1988-2018, in mm. Getoond is de modeldaling, en de metingen die data 1988-2018 hebben (driehoeken). Voor de calibratie moeten alle oorzaken meegenomen worden: zout, gas en autonoom, en dat totaal is dan ook wat de kaart laat zien. Contourinterval 25 mm.



Figuur 10-9 – Vergelijking modeldata met metingen bij het gasvoorkomen Ried (links: westelijke flank RID; rechts: bij de RID-02 locatie). De gemeten daling is ~ 2 cm vanaf 1988, die binnen de bandbreedte van de autonome daling valt. In de westflank is de invloed van HUC te zien.



Figuur 10-10 – Doorsnede west-oost met metingen (1988-2018, in mm) en model. De mismatch aan de westkant wordt veroorzaakt doordat de zoutdaling niet in het model zit. De doorsnede gaat net ten zuiden van het diepste punt van de kom. Aan de oostkant ligt RID. De daling bij RID is daar duidelijk vele malen kleiner dan die door HUC.

10.5 Status- en Prognosekaarten

In de onderstaande figuren worden de vooruitzichten weergegeven. De grafieken betreffen peilmerken waarvan de historische data al in het bovenstaande zijn besproken. In de grafieken zijn de bijdragen grafisch gescheiden weergegeven.

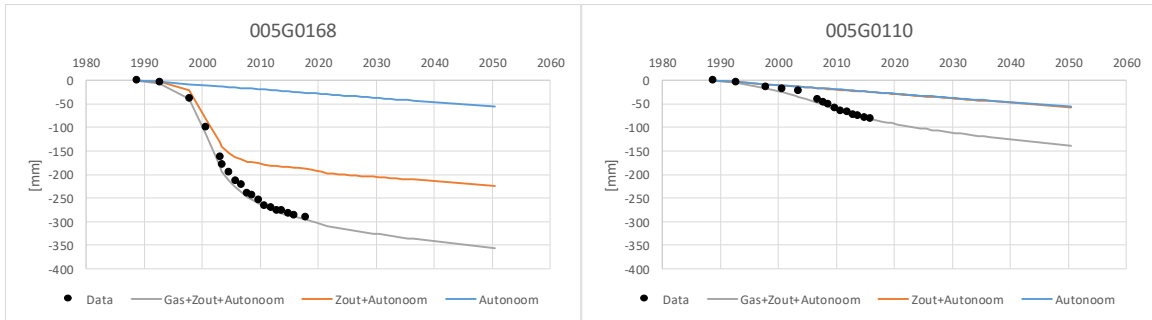
Bij de kaarten moet opgemerkt worden dat de individuele meetpunten een spreiding hebben, soms door meeton nauwkeurigheid, soms door peilmerk-issues (bijv. instabiliteit). Als gevolg daarvan zullen de kaarten niet precies kloppen op de peilmerklocaties.

10.6 Conclusies

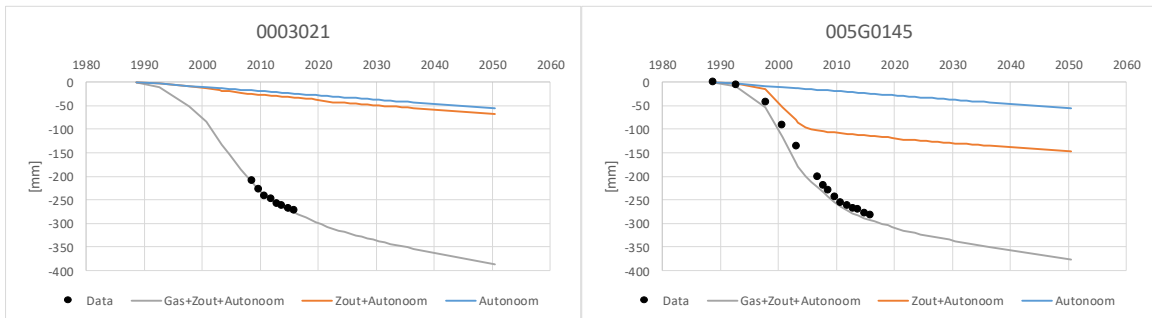
We kunnen dus concluderen dat de metingen waterpassingen in 2018 en de GPS-metingen 2013-2019 goed in overeenstemming zijn met het SGSH model uit 2014 (dat was gemaakt o.b.v. data t/m 2013). Er is na 2015 een kleine correctie aangebracht om een misfit te corrigeren die al door SGSH gesignaleerd was, die correctie wordt bevestigd in de waterpassing van 2018.

Er wordt een uiteindelijke gasdaling verwacht ~ 35 cm in diepste punt van de kom, waarvan nog ~6 cm gasdaling te gaan is. (Het punt met de diepste huidige daling en de grootste toekomstige daling vallen niet precies samen.)

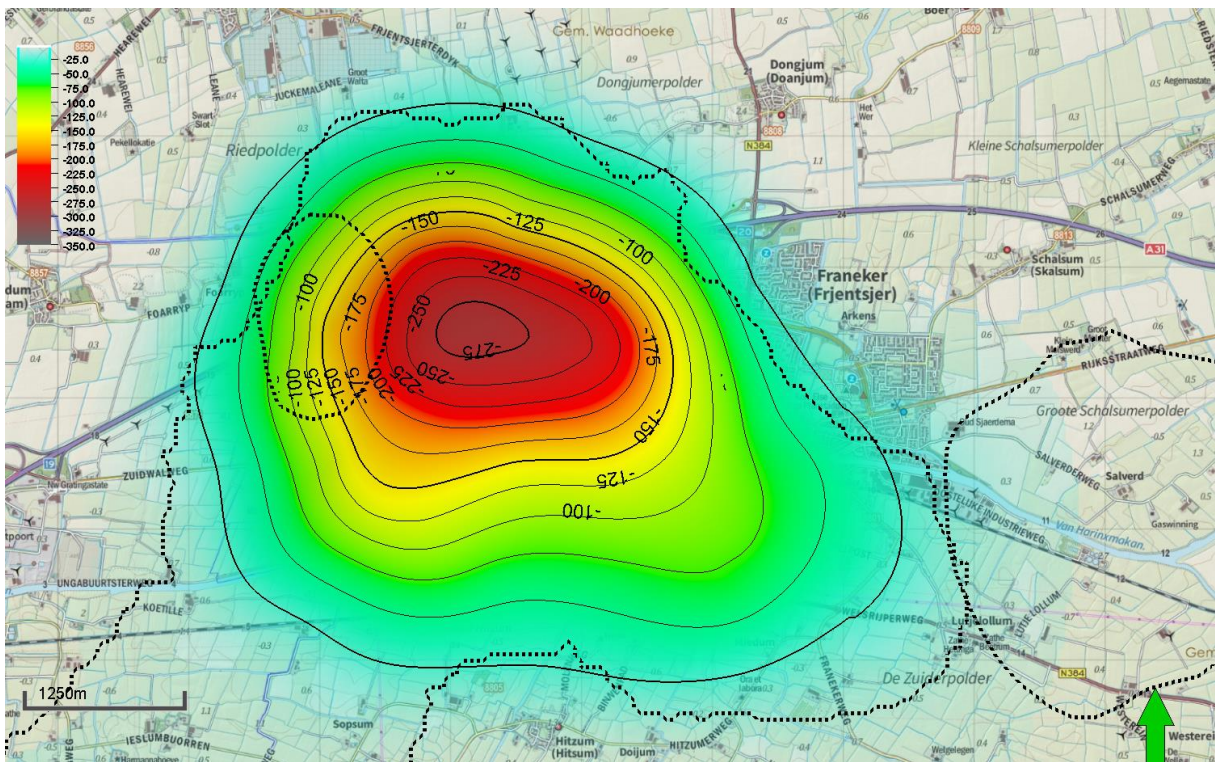
De volgende waterpassing vindt naar verwachting plaats in 2021.



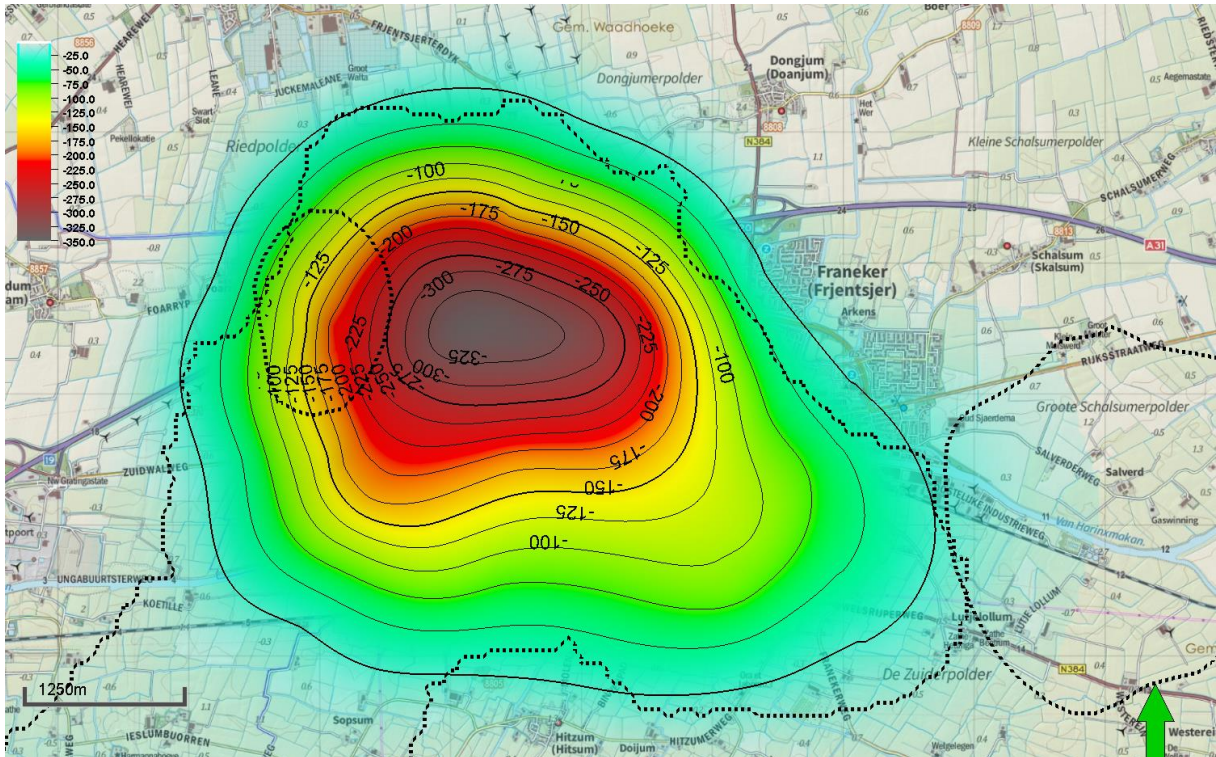
Figuur 10-11 Bodemdalingvooruitzichten op de peilmerken van Figuur 10-6. Links in Herbaijum, rechts bij Franeker. De toekomstige zoutdaling wordt verwaarloosbaar geschat op deze locaties.



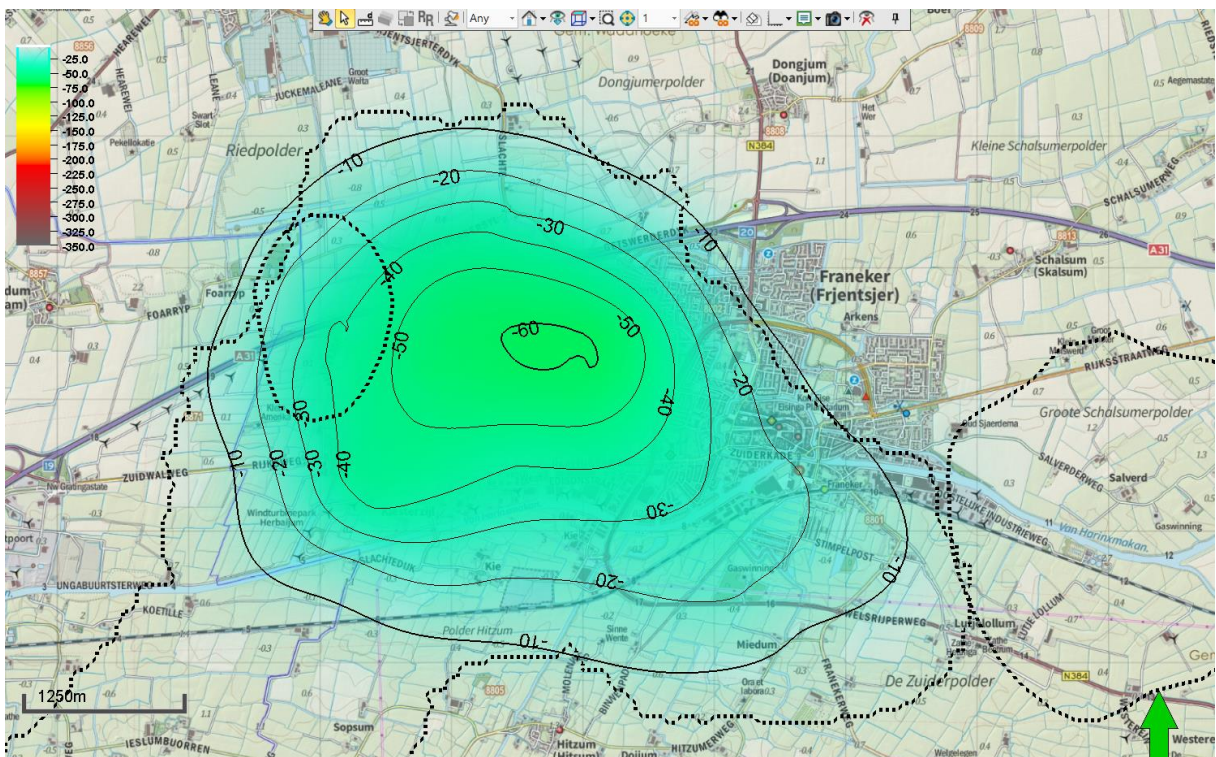
Figuur 10-12 Bodemdalingsvooruitzichten op de peilmerken van Figuur 10-7. Links bij HRL-04, rechts bij HRL-07. De toekomstige zoutdaling wordt verwaarloosbaar geschat op deze locaties.



Figuur 10-13 Gasdaling 1988-2018, in mm. Op het diepste punt wordt ~29 cm gasdaling geschat. Contourinterval 25 mm. De omtrekken van de gasvoorkomens zijn gestippeld weergegeven.



Figuur 10-14 Gasdaling 1988-2050, in mm. Op het diepste punt wordt ~35 cm gasdaling verwacht. Contourinterval 25 mm.



Figuur 10-15 Gasdaling 2018-2050, in mm. Op het diepste punt wordt nog ~6 cm gasdaling verwacht. Contourinterval 10 mm.

11 Bijlage: Meetplan ‘Harlingen-101/Kimswerd’

11.1 Voorkomen

Het meetplan ‘Harlingen-101/Kimswerd’ meet de bodemdaling t.g.v. de winning uit het voorkomen Harlingen-101. De productie uit dit Vlieland zandsteen (ook wel Onderkrijt genoemd) voorkomen vond plaats van 1996-2005.

11.2 Metingen

De uitgevoerde metingen in dit meetplan, dat overlapt met dat van Leeuwarden-West (Figuur 10-2), zijn weergegeven in Tabel 10-1. De waterpassing geeft geen heel duidelijk beeld van de dalingskom. Er zijn een relatief groot aantal peilmerken die, met name in de periode 1996-2006 een afwijkende daling te zien geven.

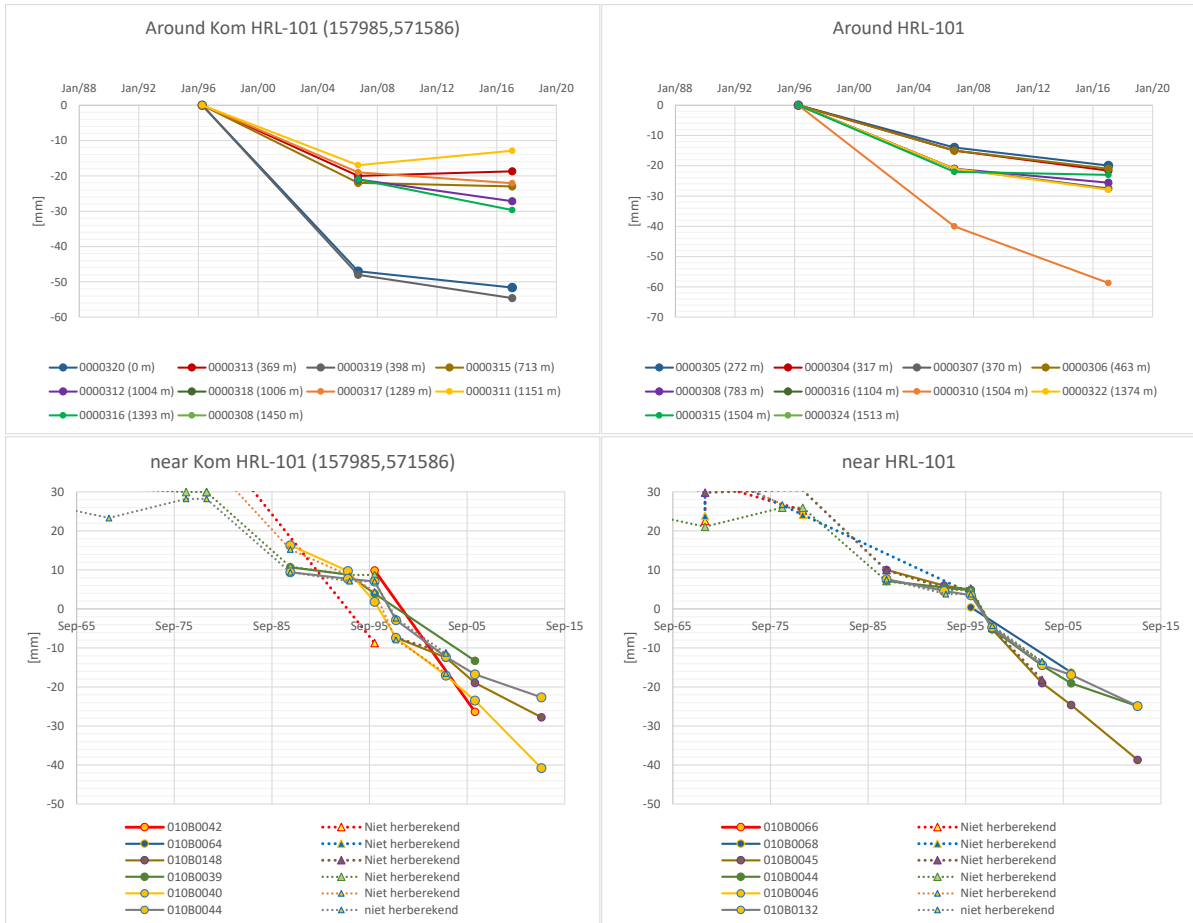
11.3 Belangrijkste conclusies

T.o.v. de vorige waterpassing, in 2006, is er in 2017 nog enkele mm extra daling te zien. Dat geldt ook voor een aantal van de peilmerken die in de periode 1996-2006 een grote daling lieten zien (zie bijv. Figuur 11-1, links). De geringe daling na 2006 is, gezien het na-ijl-effect, conform verwachting.

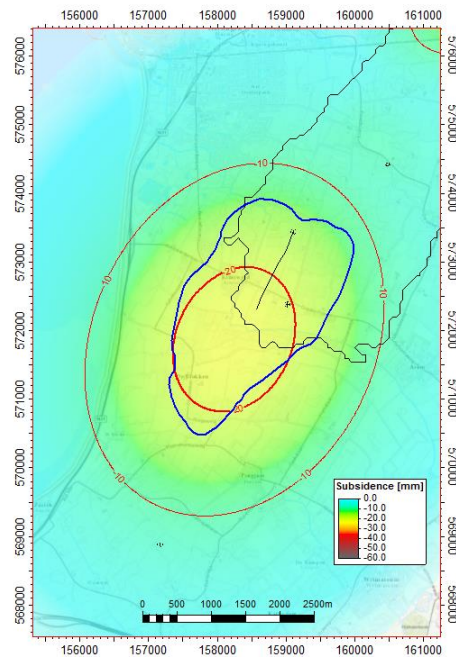
Het diepste punt van de kom wordt geschat op 3.7 cm. Er wordt een autonome daling van 0.7 mm/j in rekening gebracht (vergelijk Leeuwarden-West, en zie Figuur 11-1 en Figuur 7-1). Dat geeft 2.3 cm voor de gasdaling.

11.4 Prognoses

Er wordt nauwelijks nog meetbare toekomstige gas-daling in dit gebied verwacht omdat de productie al meer dan 10 jaar gestopt is. Wel zal de autonome daling zich voortzetten.



Figuur 11-1 Daling van de peilmerken in het diepste punt van de HRL-101 dalingskom (links) en bij de putlocatie (rechts), mm. De spreiding in peilmerk-gedrag (bijv. '0000310' in het rechterplaatje) is duidelijk. De grafieken boven komen uit het meetregister (ref. 36), de grafieken onder uit de RWS-database (ref. 9). Die laatste laten zien dat de peilmerken al daalden voor de gaswinning begon (1996), dus dat een significant deel van de daling autonoom is.



Figuur 11-2 Geschatte bodemdaling op 1-1-2018 in het Harlingen-101 gebied, mm. Het voorkomen is zichtbaar in blauw. In de noordoosthoek is net de rand van de Harlingen-Bovenkrijt dalingskom te zien.

12 Bijlage: Meetplan ‘Leeuwarden-Oost/Oosterend’

12.1 Voorkomens

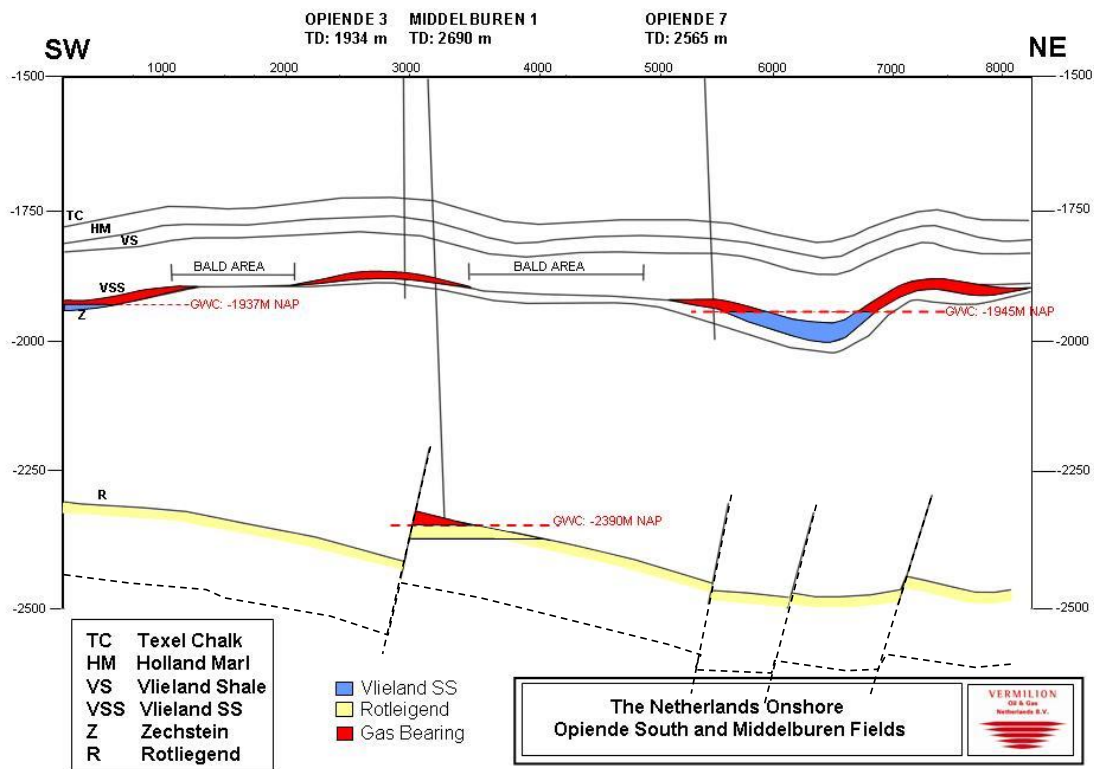
Het meetplan ‘Leeuwarden-Oost/Oosterend’ bestrijkt een reeks voorkomens die produceren sinds de jaren 70. In 2018 zijn ook de voorkomens Tietjerksteradeel en Suawoude erin opgenomen. Het overgrote deel van die productie ligt voor de meeste voorkomens al jaren in het verleden; de putten produceren weliswaar nog steeds, maar met lage productiesnelheden. Voor zover er meer recente winningen zijn (bijvoorbeeld het voorkomen Eernewoude) zijn de volumes i.h.a. een stuk kleiner dan die van de historische voorkomens.

De voorkomens in dit meetplan zijn in drie categorieën te verdelen.

1. Voorkomens in de Vlieland zandsteen. De Vlieland zandsteen is relatief dun, en kent weinig breuken. Bodemdalingen door deze gaswinning zijn in dit gebied rond de 5 cm.
2. Voorkomens in de Rotliegend zandsteen met een kleine gaskolom. De Rotliegend is weliswaar relatief dik in deze regio, maar bij de voorkomens in deze categorie is alleen het uiterste bovendeel gevuld met gas. Dat leidt tot een geringe drukdaling, en dus tot weinig bodemdaling.
3. Voorkomens in de Rotliegend zandsteen met grote gaskolom. Deze voorkomens hebben naar verhouding veel bodemdaling. Het betreft hier Tietjerksteradeel-Rotliegend en Suawoude-Noord.

De Vlieland velden liggen ondieper dan de Rotliegend velden, en deels er recht boven (een voorbeeld is te zien in Figuur 12-1).

De voorkomens in dit gebied liggen dicht bij elkaar, deels overlappen ze elkaar. Omdat winningen vaak kort na elkaar gestart zijn, is het gevolg dat de bijdragen van individuele voorkomens moeilijk te scheiden zijn. Dat geldt met name voor de splitsing tussen Vlieland en Rotliegend voorkomens, die boven elkaar liggen (Figuur 12-1). Er is ook onzekerheid over de toewijzing van bodemdaling aan aangrenzende voorkomens binnen één formatie, maar dat heeft minder impact op de totale bodemdaling: als de begrenzing tussen twee velden anders zou liggen dan nu ingeschat is, gaat de bodemdaling van het ene veld omhoog, die van het andere omlaag, maar blijft het totaal gelijk.



Figuur 12-1: Geologische doorsnede door de voorkomens Opeinde-Zuid en Middelburen als illustratie van de boven elkaar liggende gasvoerende zones in het Leeuwarden-Oost gebied. De begrenzingen tussen de velden in de Vlieland formatie zijn gebieden waar de zanddikte nul is ("bald area"). Ook is te zien dat de Rotliegend voorkomens alleen in het bovenste stukje gasvoerend zijn. De uitzonderingen zijn in dit opzicht alleen TID en SUW-N. [De figuur is sterk verticaal uitvergroot.]

12.2 Metingen

Het meetplan 'Leeuwarden-Oost/Oosterend' is in 2018 voor het laatst gewaterpast (ref. 43). Naast dit meetregister is er ook naar de data van Rijkswaterstaat gekeken (ref. 9), die dit gebied ook in 2018 gewaterpast heeft. De Rijkswaterstaat (RWS) waterpassingen (ref. 9) zijn geodetisch wat anders opgezet, en hebben een lagere ruimtelijke resolutie. Ze zijn dus alleen als ondersteunende informatie gebruikt (zie hfst. 6), bijvoorbeeld om een indicatie te krijgen van bodemdaling op enige afstand van de gaswinningen.

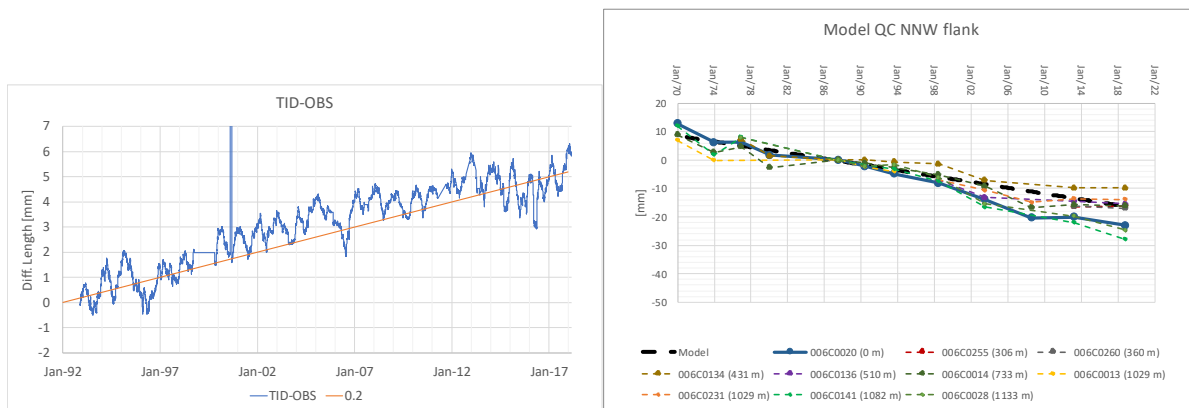
Zoals genoemd, gaan een groot deel van de winningen terug tot (begin) jaren 70. In de jaren 70 waren de standaarden voor bodemdalingmetingen niet dezelfde als nu. Bovendien zijn niet alle peilmerken die toen aanwezig waren, nog steeds bruikbaar (gebouwen zijn bijvoorbeeld gesloopt). Tenslotte zijn er in dit gebied ook een aantal natuurgebieden en meren. Dat maakt dat de dichtheid van bodemdalingsinformatie in dit gebied lager is dan elders.

12.3 Belangrijkste conclusies

In de grafieken hieronder zijn dalingsdata op een aantal locaties weergegeven om een indicatie te geven (de bron is steeds ref. 43, met soms wat data uit ref. 9).

De gemeten daling bij peilmerken moet gecorrigeerd worden voor autonome daling om de daling ten gevolge van gaswinning te kunnen onderscheiden. Die is in dit gebied, ook door de

lange onderzoeksperiode (~50 jaar) significant. Bij de analyse blijkt dat de autonome bodemdaling in het westen groter is dan die in het oosten: in het westen wordt de autonome daling geschat op 0.5 mm/j, in het oosten wordt de autonome daling op 0.2 mm/j geschat. Naast observaties aan peilmerken ver van de gaswinning verwijderd, is er op de TID-200 locatie een ondiepe compactie observatieput aanwezig met een diep gefundeerd anker op 400 meter. Deze put meet een autonome daling van 0.2 mm/j. Dit past in de meer algemeen geobserveerde trend dat in Friesland de autonome daling naar het noorden en westen groter wordt (vgl. Leeuwarden-West, bijlage hfst. 10, en Figuur 7-1). Om redenen van eenvoud is voor het hele meetplan één waarde gebruikt, van 0.3 mm/j. Dit resulteert in een onderschatting van de autonome daling van hooguit 9 mm, of overschatting van 5 mm, over 45 jaar (1974, start productie, tot 2019).



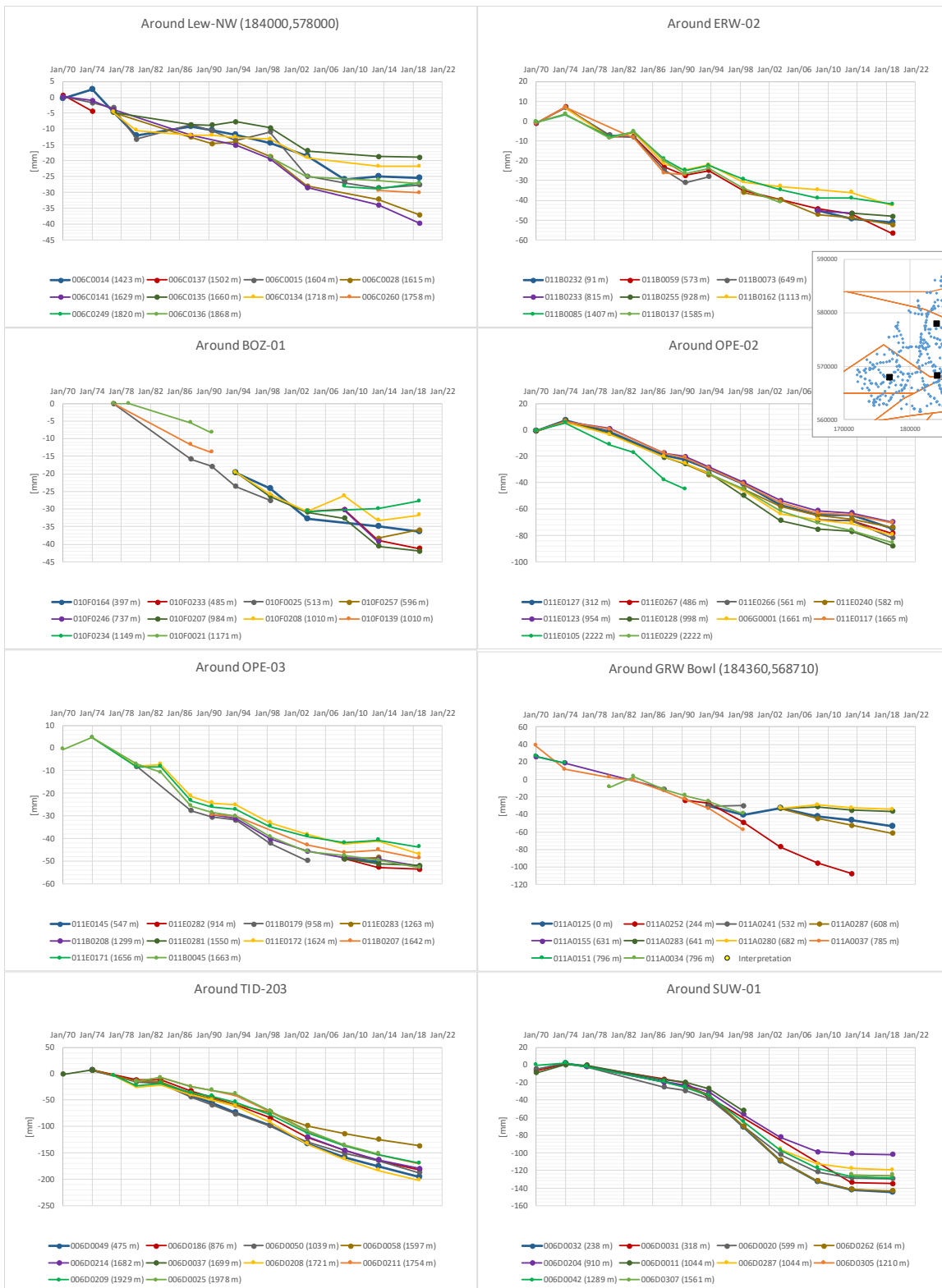
Figuur 12-2 Voorbeelden van autonome daling in het LEW-O meetplan. Links de data uit de observatieput die op 0.2 mm/j wijst (van 0-400 m diep), rechts peilmerken rond een locatie in het westen die rond de 0.5 mm/j uitkomt.

Uit deze data blijkt een bodemdaling in het gebied van het Leeuwarden-Oost/Oosterend meetplan van 6-9 cm in het oosten, en 3-6 cm in het westen. Boven Tietjerksteradeel/Suawoude is een daling van ongeveer 18-20 cm gemeten. Aan de randen van het meetplan in het oosten is er overlap met dalingskommen van NAM-voorkomens (m.n. Ureterp; ref. 15).

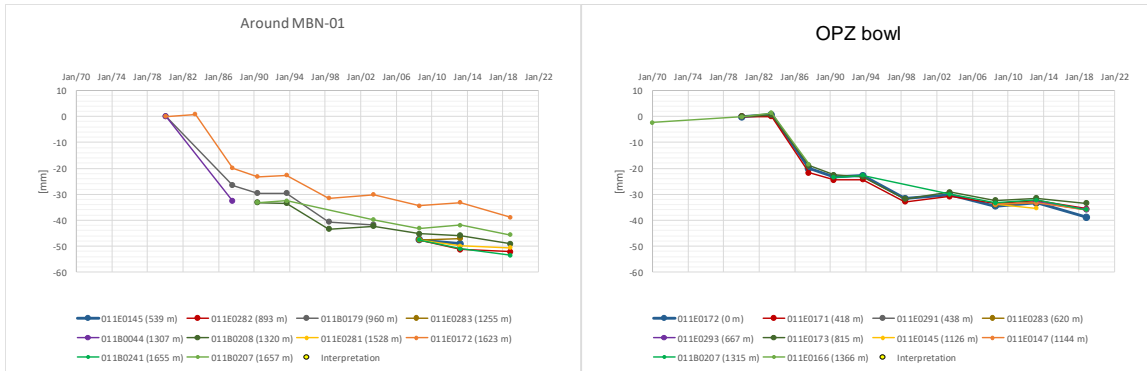
Omdat er ook heterogeniteiten in de ondiepe bodemopbouw zitten, vertonen de bodemdalingmetingen redelijk wat “ruis”, i.e. lokaal (en ondiep) veroorzaakte variaties. De geschatte onnauwkeurigheid in dit meetplan is dus relatief hoog, ruim 1 cm, als gevolg van die grotere verschillen tussen naast elkaar gelegen peilmerken, en door opzet & leeftijd van het meetplan, als boven besproken.

Bij calibratie van de modellen aan de metingen is bij deze voorkomens vooral naar de tijdsafhankelijkheid gekeken (par. 2.5.3). Voor elk peilmerk is de voor dat peilmerk relevante tijdperiode meegenomen. Ook samenstellingseffecten zijn meegenomen.

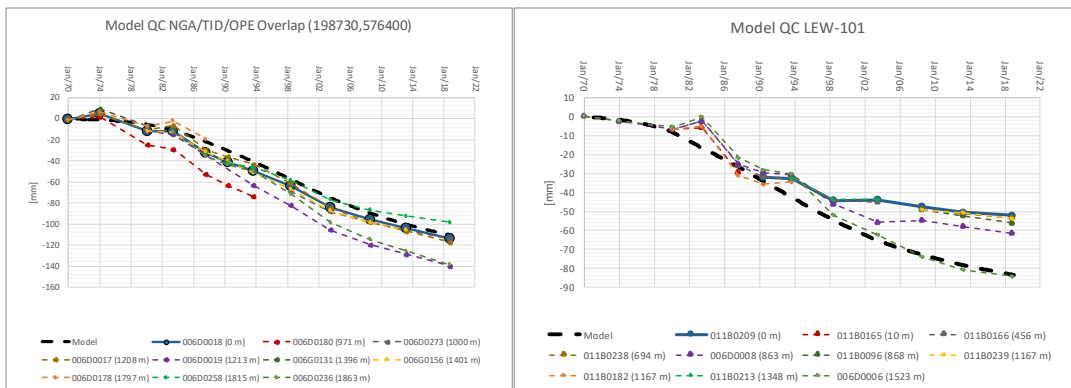
De overeenstemming tussen metingen en model is imperfect zowel in ruimte als tijd. Mogelijke oorzaken zijn gelegen in de dataset, zoals boven beschreven, maar ook in ondergronds-onzekerheden, zowel in gesteente-parameters, als in de precieze vorm en dikte van de voorkomens. Door de vele overlappende deelkommen is het niet mogelijk om de parameters van de individuele voorkomens precies te matchen.



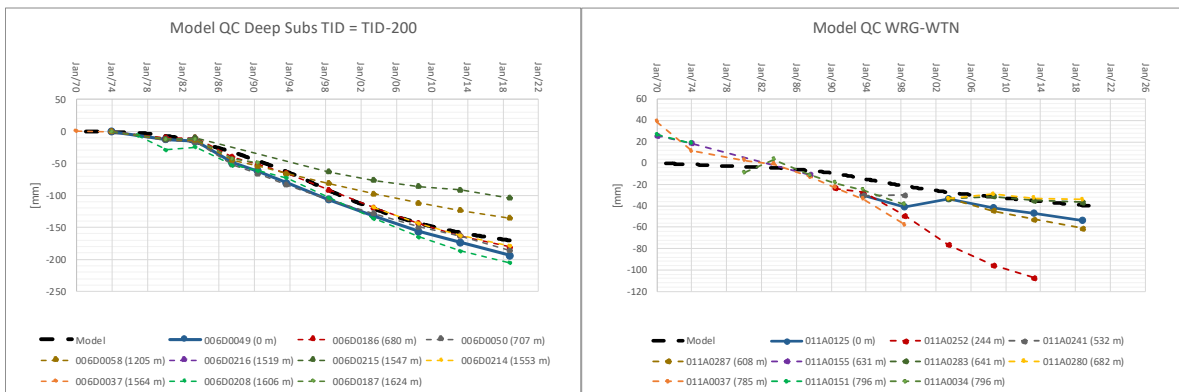
Figuur 12-3 Voorbeelden van dalingsdata in het Leeuwarden-Oost gebied. (De locatie van de punten is op de inzet weergegeven.) De bron van de data is de 2018 meting van Vermilion, aangevuld met data van Rijkswaterstaat (ref. 9). De grafiek van GRW laat duidelijk zien hoe geen van de peilmerken over de volledige periode aanwezig was, en er dus aannames gemaakt moeten worden om een schatting van de daling te maken. [Verticale schalen in mm, zijn niet steeds gelijk.]



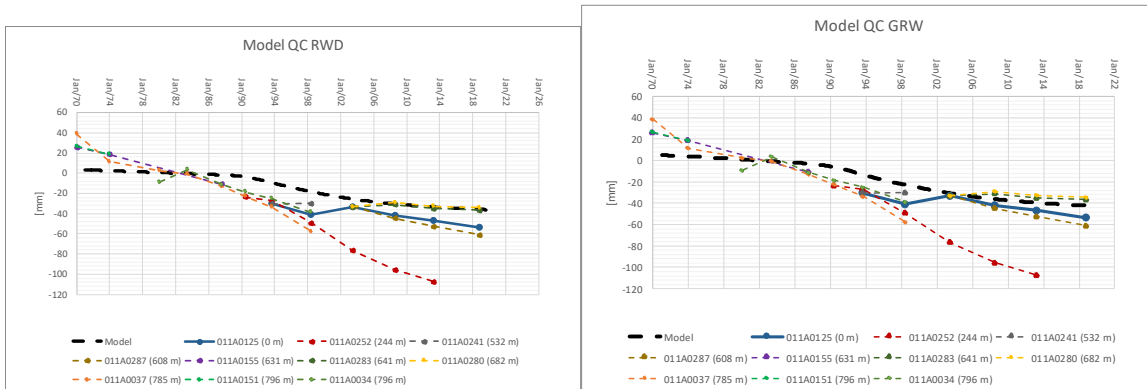
Figuur 12-4 Voorbeelden van dalingsdata in het Leeuwarden-Oost gebied. (De locatie van de punten is op de inzet weergegeven.) De bron van de data is de 2018 meting van Vermilion, aangevuld met data van Rijkswaterstaat (ref. 9). [Verticale schalen in mm, zijn niet steeds gelijk.]



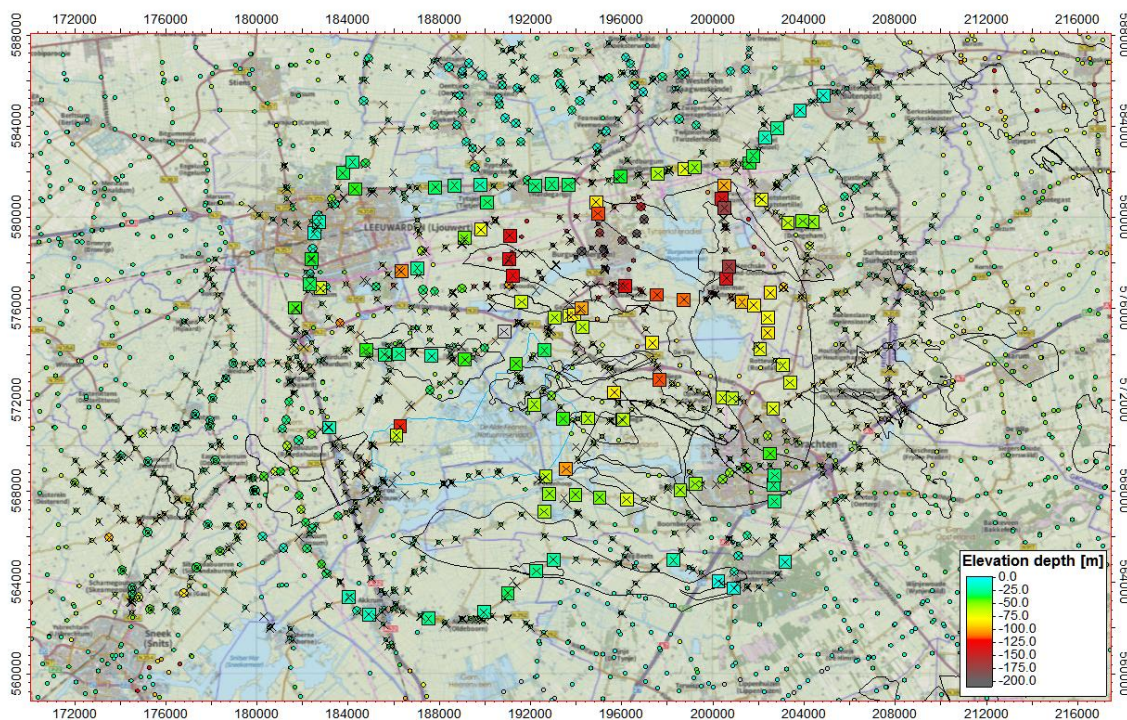
Figuur 12-5 Voorbeelden van model-calibratie. Links betreft het een punt (006D0018) tussen NGA en SUW, met bijdragen uit beide voorkomens. De modellijn is de dikgetrokken gestippelde lijn. De punten naar het noorden laten iets meer daling zien omdat ze dichterbij SUW liggen. Rechts betreft het een punt boven het LEW-101 voorkomen, waar in feite de grootste bijdrage van NGA komt, een Vlieland voorkomen dat zich boven het Rotliegend voorkomen LEW-101 bevindt (vgl. Figuur 12-1). [Verticale schalen verschillen.]



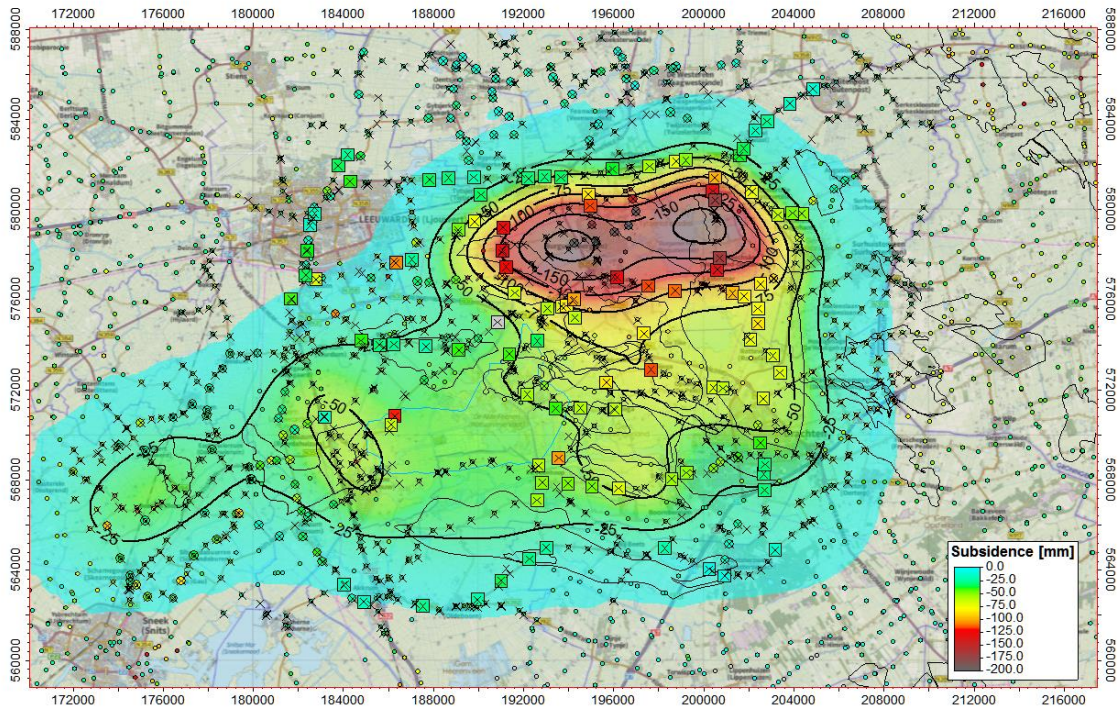
Figuur 12-6 - Voorbeelden van model-calibratie. Links betreft het een punt bij het diepste punt in LEW-O, bij de TID-200 locatie. Rechts gaat het om een punt in het westen van het meetnet, waar autonoom en gasdaling moeilijk helder te scheiden zijn. [Verticale schalen verschillen.]



Figuur 12-7 - Voorbeelden van model-calibratie in het westen van het meetnet, waar autonoom en gasdaling moeilijk helder te scheiden zijn. [Verticale schalen verschillen.] Hier is de productie in 1988 begonnen (GRW startte in 1982, maar had in de eerst jaren een lage productiesnelheid).



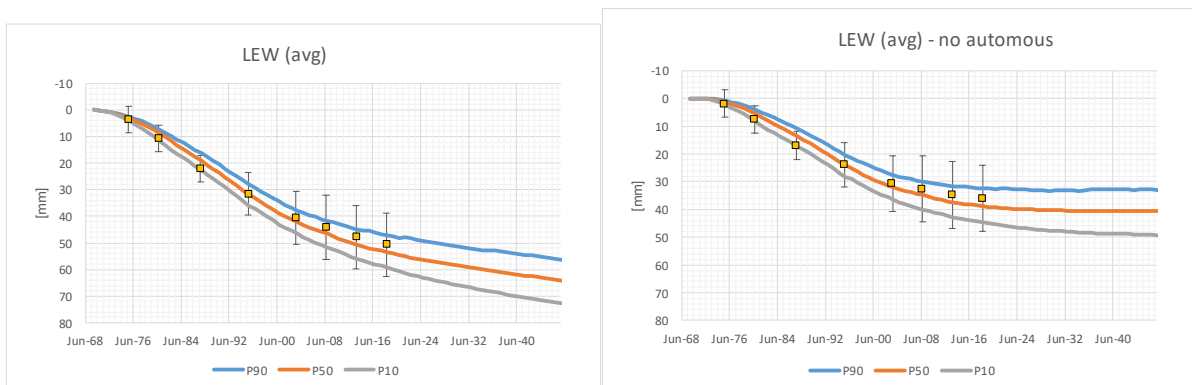
Figuur 12-8 Overzicht van de dalingsmetingen in het Leeuwarden-Oost gebied, mm. RWS-data als kleine cirkels, data uit het meetplan Leeuwarden-Oost/Oosterend als vierkanten waar geldig 1970-2018. Kruisjes geven de punten uit het meetplan waar geen data over de volle periode (1970-2018) beschikbaar is.



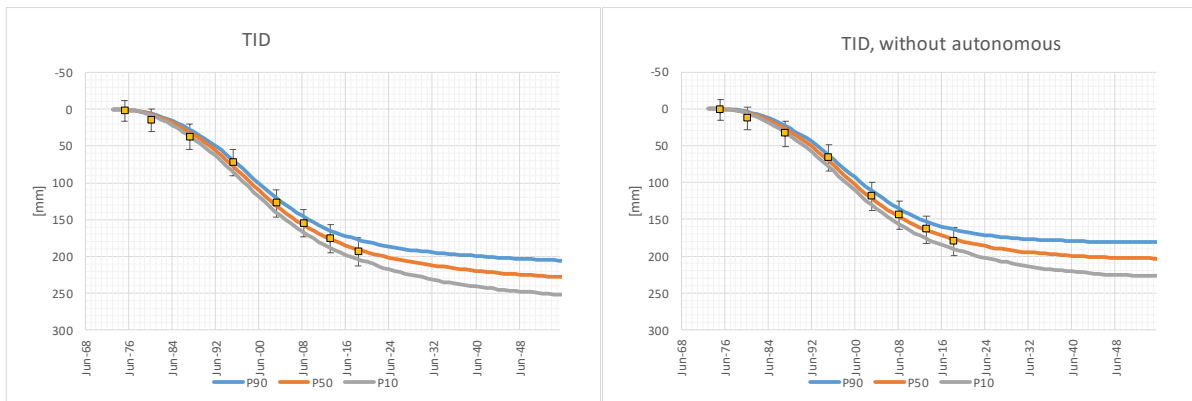
Figuur 12-9 Overzicht van de geschatte gasdaling 1970-2018 in het Leeuwarden-Oost gebied door gaswinningen van Vermilion, mm. Vermilion metingen als vierkanten, RWS-data als kleine cirkels; contouren in blauw 20, 40, 60... mm. De NAM-voorkomens Ureterp, Marum, etc., zijn niet meegenomen; daarom is er geen overeenstemming te verwachten aan de oostrand van het getoonde gebied (ruwweg ten oosten van de lijn X-RD = 202000).

12.4 Prognoses

In de figuur hieronder is een voorbeeld gegeven van een dalingsprognose, in dit geval voor het Leeuwarden voorkomen. Voor andere locaties zal de vorm van de curves vergelijkbaar zijn (omdat de productiecurves vergelijkbaar zijn), met dien verstande dat de verticale schaal steeds anders is.



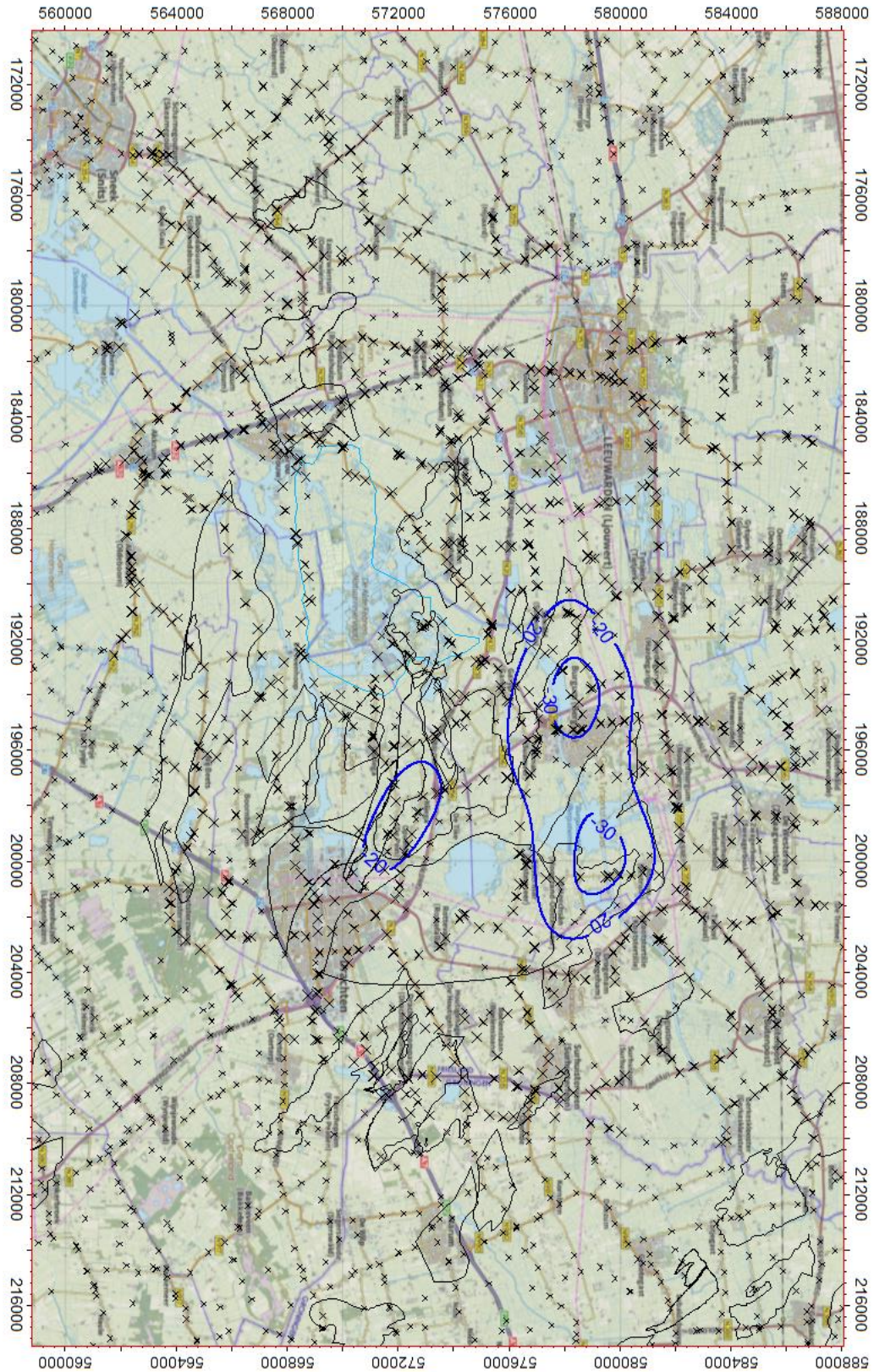
Figuur 12-10 Links: gemeten (gemiddelde over voorkomen) en berekende totale bodemdaling voor het Leeuwarden (LEW) voorkomen, bij voortzetting van de (dalende) productie vanuit het huidige depletiegebied. Er is rekening gehouden met autonome daling (zie tekst), de rechtergrafiek geeft de geschatte gasdaling. Het overgrote deel van de toekomstige gasdaling is na-ijldaling t.g.v. gasproductie uit het verleden. Daling in mm.



Figuur 12-11 Links Gemeten (gemiddelde over voorkomen) en berekende totale bodemdaling voor het Tietjerksteradeel (TID, zowel Rotliegend als Vlieland) voorkomen, bij voortzetting van de (dalende) productie vanuit het huidige depletiegebied. Er is rekening gehouden met overlap met Suawoude, en met autonome daling (zie tekst), de rechtergrafiek geeft de geschatte gasdaling. Het overgrote deel van de toekomstige gasdaling is na-ijldaling t.g.v. gasproductie uit het verleden. Daling in mm.

De nog verwachte daling in de Vlieland voorkomens is minder dan 2 cm. De nog verwachte productie is zeer gering in verhouding tot de productie in het verleden, maar er is onzekerheid over het tijdsverloop van de daling door onvolkomenheden in de dataset.

De nog verwachte gasdaling boven de Tietjerksteradeel/Suawoude voorkomens (samengesteld Vlieland/Rotliegend) is minder dan 5 cm , bij voortzetting van de (dalende) productie vanuit het huidige depletiegebied. De nog verwachte productie is zeer gering in verhouding tot de productie in het verleden, maar er is onzekerheid over het tijdsverloop van de daling door onvolkomenheden in de dataset. Daarbovenop wordt ongeveer 0.3 mm/j autonome daling verwacht. In totaal geeft dat tot 2050 minder dan 6 cm. Die verwachting is consistent met die van de NAM (ref. 15).



Figuur 12-12 Geschatte toekomstige gasbodemdaling (P50) in het Leeuwarden-Oost gebied, door gaswinningen van Vermilion. Contouren in blauw: 20, 30, ... mm. Het grootste deel van de toekomstige gasdaling is na-ijldaling t.g.v. gasproductie uit het verleden.

13 Bijlage: Meetplan ‘Langezwaag’

13.1 Voorkomen

Winning uit Langezwaag vindt plaats sinds 2013. Het overgrote deel van de productie komt uit de Vlieland zandsteen, die hier ter plekke zeer dun is (enkele m), met kleine bijdragen uit de Zechstein-2 Carbonaat.

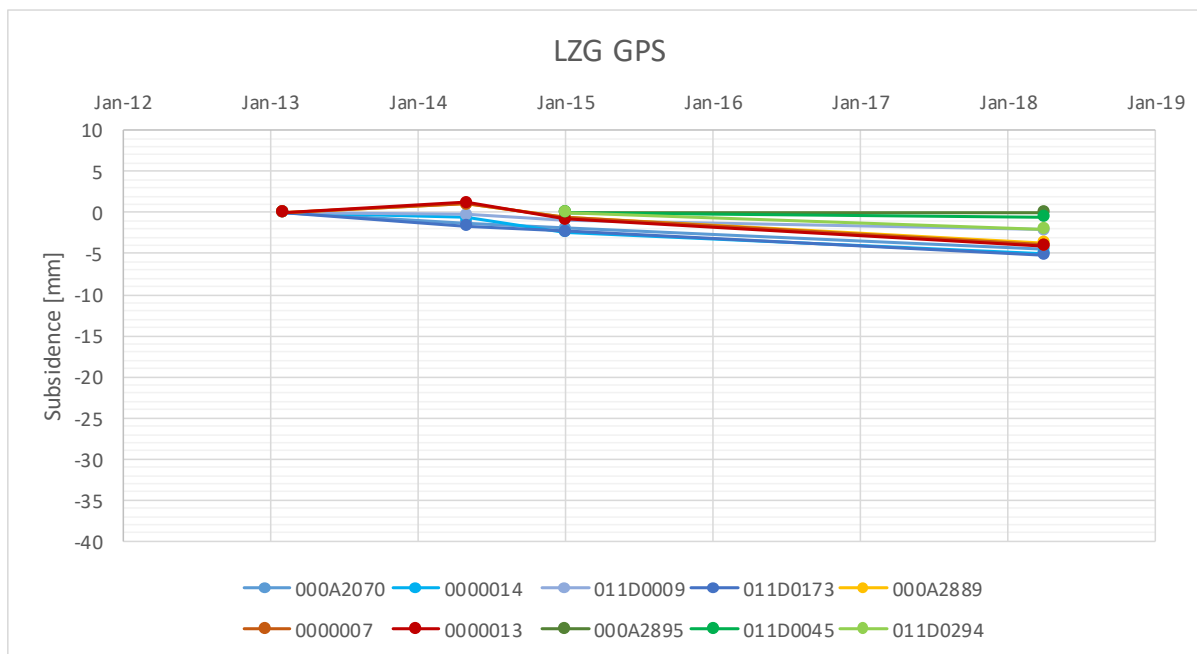
13.2 Metingen

In het kader van het meetplan ‘Langezwaag’ is een GPS-meting uitgevoerd in 2018, en een waterpassing in 2016.

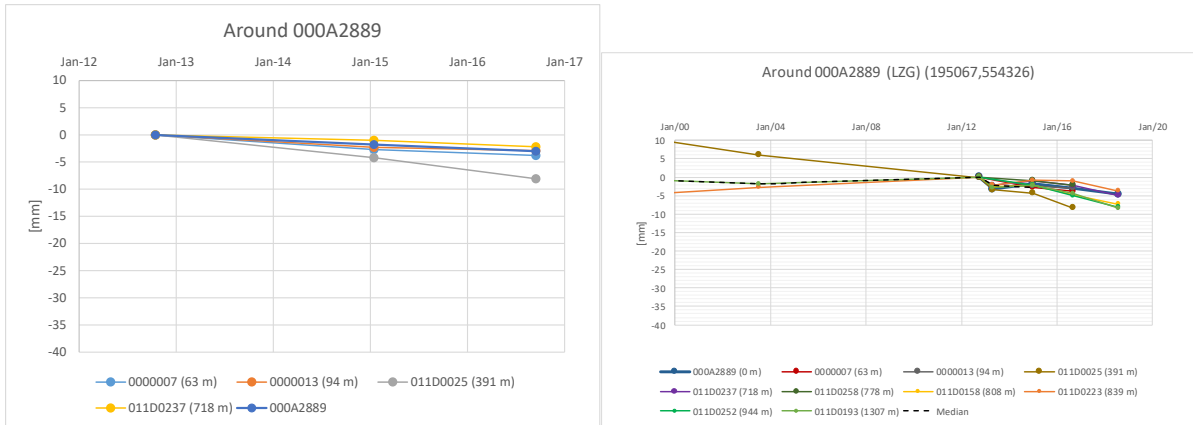
Rijkswaterstaat heeft in 2018 een waterpassing in Noord-Nederland uitgevoerd, waaronder ook in een groot deel van dit gebied. De Rijkswaterstaat (RWS) waterpassingen (ref. 9) zijn geodetisch wat anders opgezet, en hebben een lagere ruimtelijke resolutie. Ze zijn dus alleen als ondersteunende informatie gebruikt (zie hfst. 6).

13.3 Belangrijkste conclusies

De conclusie uit een analyse van de GPS- en waterpas-metingen is dat niet zeker is dat er een dalingskom te zien is. De meetwaarden zitten aan de rand van de meetnauwkeurigheid (typisch 0.2-0.5 cm), en de komvorm is niet eenduidig zichtbaar. Als er een dalingskom is, dan heeft die een diepte van 0.2-0.5 cm. Dit is conform de verwachtingen: de bodemdaling door winning uit de Vlieland zandsteen is gering omdat de gesteentelaag zo dun is, de bodemdaling door winning uit de Zechstein is gering omdat in die laag het gas maar uit een zeer beperkt gebied geproduceerd wordt.



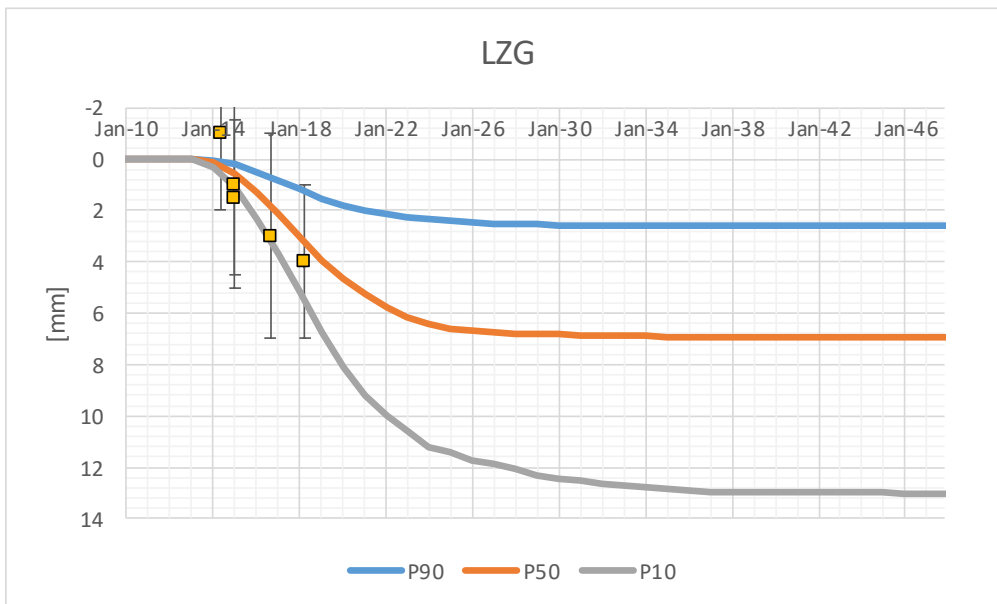
Figuur 13-1 Grafische weergave GPS-metingen. Een positieve waarde is een bodemstijging. Data uit ref. 45.



Figuur 13-2 Links: Peilmerkดาลingen rond de Langezwaag locatie (000A2889), uit ref. 46. Dalingen van 0.2-0.4 cm worden gemeten, vergelijkbaar met de meetonnauwkeurigheid. (011D0025 lijkt niet stabiel). Data uit ref. 46. Het peilmerk 000A2889 is diep gefundeerd, de anderen niet. De rechtergrafiek geeft dalingen uit de RWS-database (tot iets verder in het verleden).

13.4 Prognoses

Voor het voorkomen is een probabilistische schatting uitgevoerd, die vervolgens in de kaarten is verwerkt. De verwachting is dat de bodemdaling boven LZG onder de 2 cm blijft.



Figuur 13-3 Verwachte bodemdaling Langezwaag na metingen in 2016 en 2018. Er is geen significante afwijking t.o.v. eerdere verwachtingen.

14 Bijlage: Meetplan 'Oldelamer'

14.1 Voorkomen

Uit het voorkomen Oldelamer wordt sinds 1993 geproduceerd via de put OLR-01, sinds 1999 via de put OLR-02. Productie ligt (tijdelijk) stil sinds 2013 vanwege de druk in de pijpleiding naar Garijp. Het voorkomen Oldelamer is verdeeld over de Vlieland zandsteen en de Zechstein-2 Carbonaat, die hier met elkaar in contact staan.

14.2 Metingen

Voor het meetplan Oldelamer (OLR) is eind 2016 een waterpassing uitgevoerd.

Door RWS is dit gebied in 2014 gemeten. Die data wordt alleen als ondersteunende informatie gebruikt (hfst. 6).

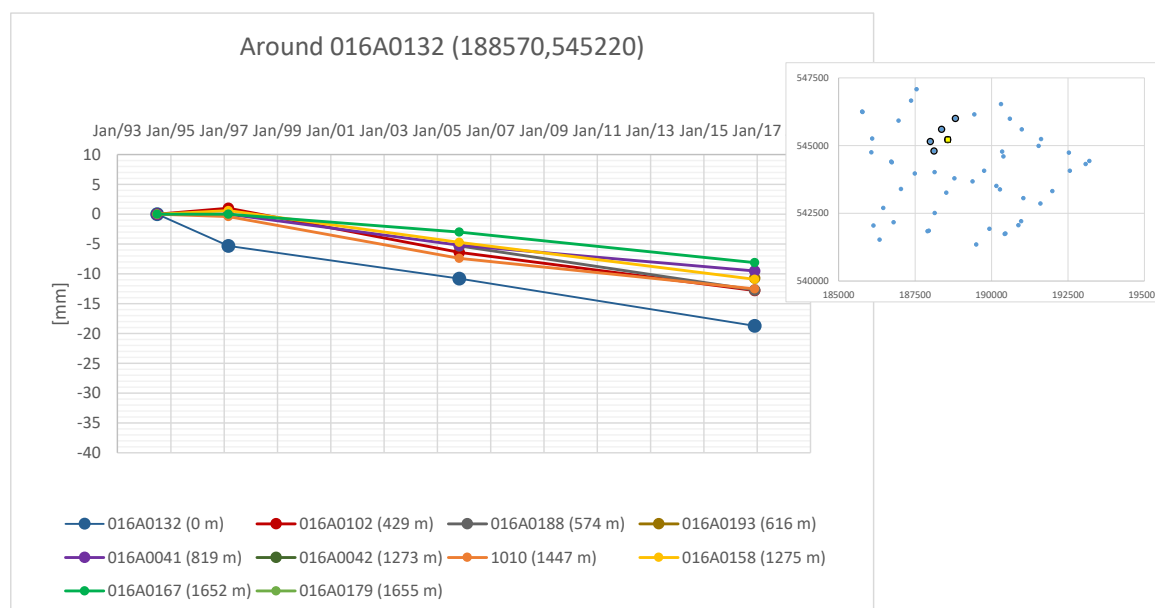
14.3 Belangrijkste conclusies

De data in het meetplan vertoont redelijk veel 'ruis', i.e. de coherentie tussen de dalingen in aangrenzende peilmerken is relatief laag. Ook is het mogelijk dat het aansluitpunt enkele mm's daling heeft vertoond. Dat is meegenomen in de schatting van de diepste daling, net als met het feit dat waarschijnlijk geen van de waterpaspunten precies op het diepste punt ligt.

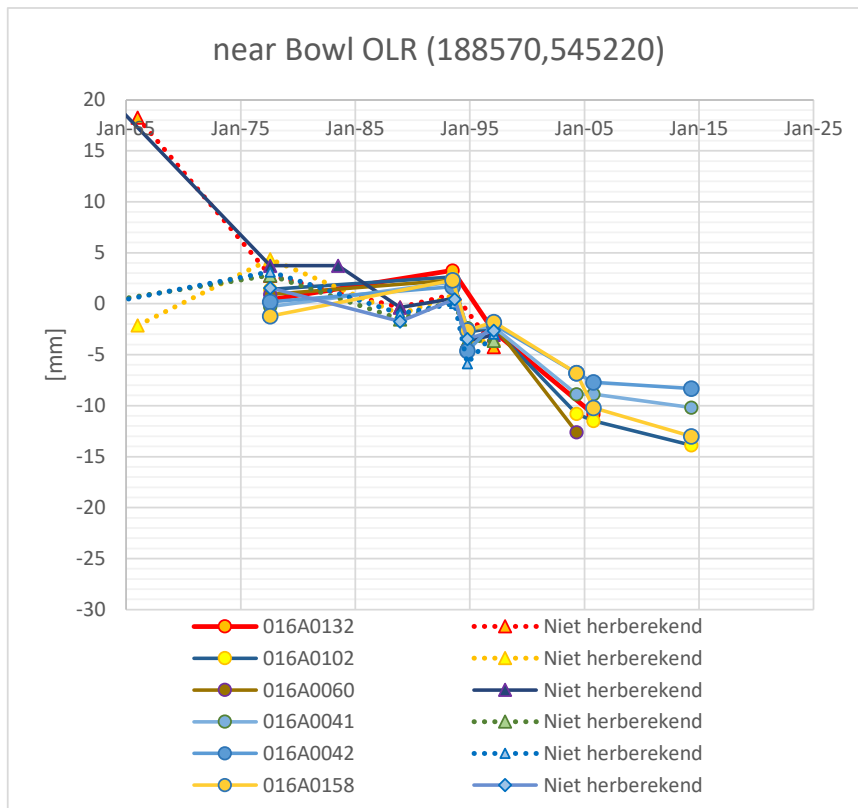
De geschatte onnauwkeurigheid in dit meetplan is relatief hoog, ruim 1 cm, als gevolg van de grotere verschillen tussen naast elkaar gelegen peilmerken.

Ook de RWS-database, waarmee we verder terug kunnen kijken in de tijd (zij het met iets minder ruimtelijke resolutie) geeft hetzelfde beeld. Duidelijk is daarop ook te zien dat sommige peilmerken ook dalen voor de gaswinning begon (Figuur 14-2).

Uiteindelijk wordt een daling van 1 cm tot 2 cm geschat over de periode 1994-2017, uitgaande van de verleden winning uit OLR-01 en OLR-02.



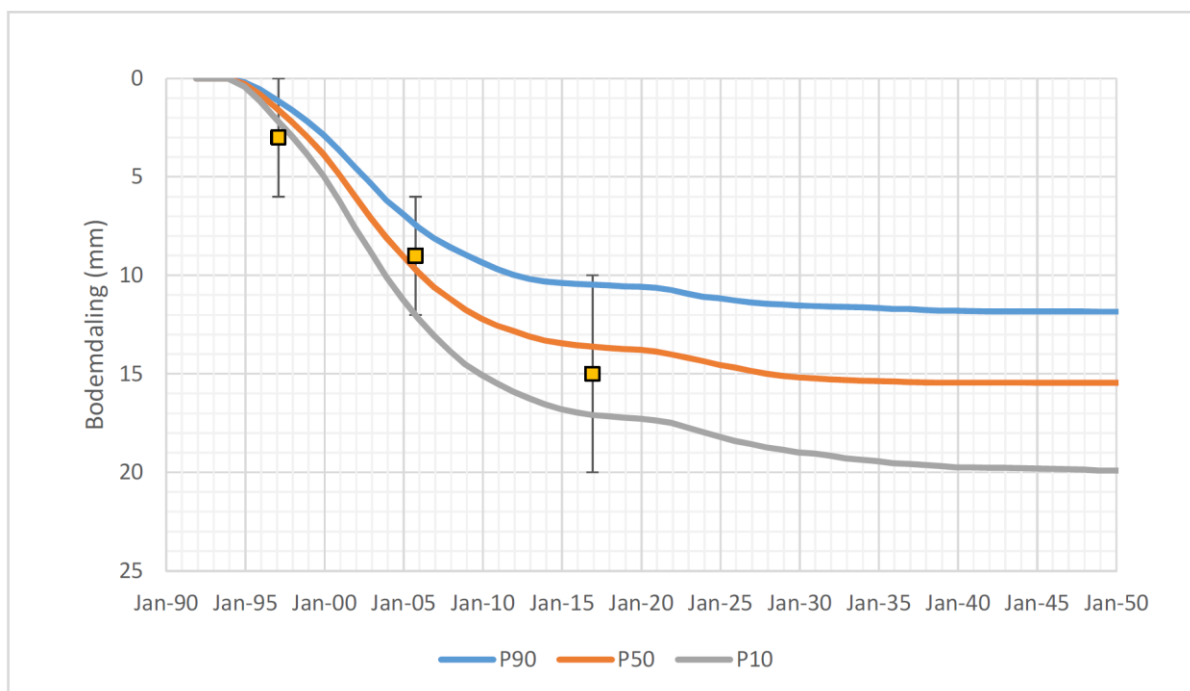
Figuur 14-1 Peilmerken waar de diepste dalingen gezien worden (de inzet geeft de locatie van de weergegeven punten in het meetplan). Het peilmerk 16A132 vertoont in de jaren 1993-1997 afwijkend gedrag, en daalde ook al voordat de gaswinning begon (Figuur 14-2).



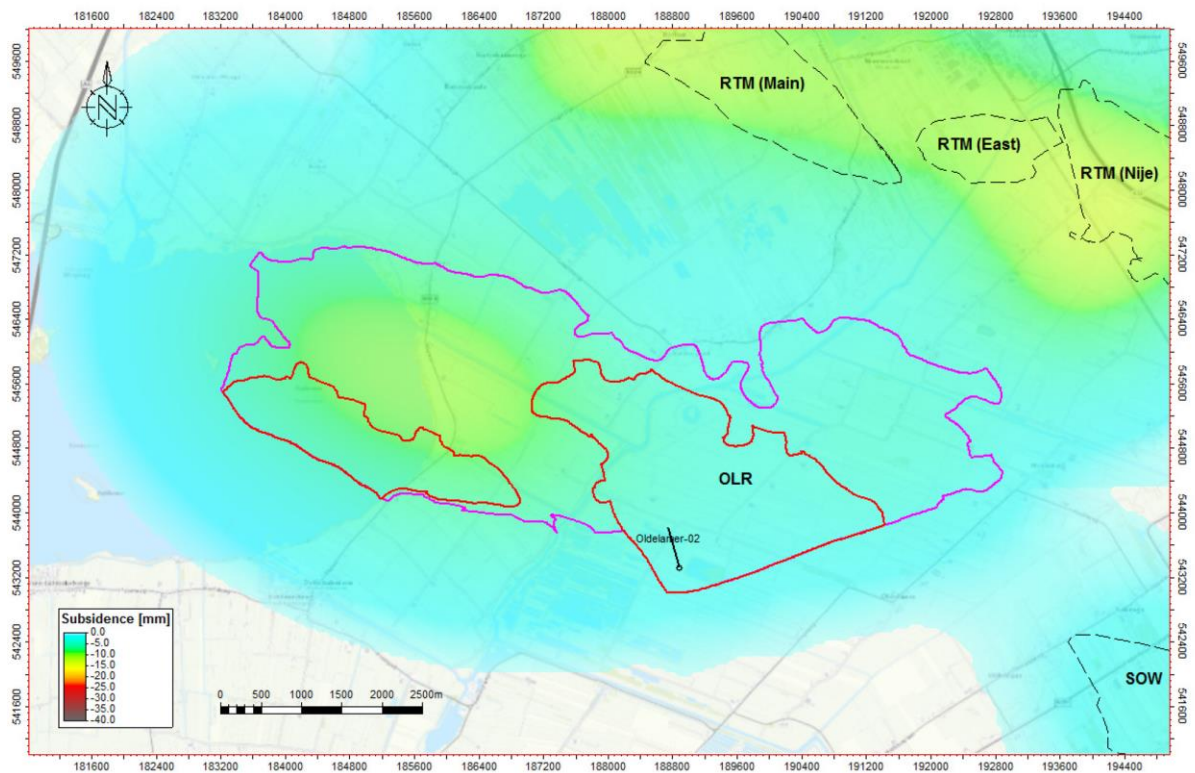
Figuur 14-2 Peilmerken rond dezelfde locatie als hierboven, nu data uit de RWS/Geoweb NAP-database (ref. 9). De winning is begonnen in 1993.

14.4 Prognoses

In een nieuw winningsplan (ref. 48) wordt een aftakking gepland naar een blok ten westen van het eigenlijke Oldelamer veld. Dit zal naar verwachting niet leiden tot een dieper kom, maar vooral tot een bredere kom. Dit is verwerkt in de prognose kaarten.



Figuur 14-3 Model-tijdsverloop gecalibreerd aan de data op het diepste punt van de kom, De nieuwe boring (ref. 48) is ten westen van dit punt; hier is vooral de historische daling van belang.



Figuur 14-4 Toekomstige verwachte samengestelde bodemdaling (P10) (na 2018) rondom het Oldelamer voorkomen, in millimeters (ref. 48). Omdat de contourafstand 2 cm is, en de bodemdaling minder dan dat.

15 Bijlage: Meetplannen ‘Sonnega-Weststellingwerf’, ‘Blesdijke’ en ‘De Blesse’

15.1 Voorkomens

Het ‘De Blesse’ voorkomen (BLS) is ontdekt door de BLS-01 put. Productie in ‘BLS is begonnen in 1999. In 2007 werd de BLS-02 put geboord, en ook uit die put vond productie plaats. Productie lag stil sinds 2013 vanwege de druk in de pijpleiding naar Garijp. In 2020 is de productie uit BLS-02 hervat.

Productie in ‘Blesdijke’ (BLD) is ontdekt door de BLD-01 put in 2008. Productie is in 2009 begonnen. Productie ligt (tijdelijk) stil sinds 2013 vanwege de druk in de pijpleiding naar Garijp. Het Sonnega/Weststellingwerf voorkomen (SOW), ten NW van Blesdijke, begon productie in 2015. Er is één put, SOW-02. Het plan is een put te boren (BLD-01-ST) tussen BLD-01 en BLS-01 in, om het daar aanwezige gas dat op dit moment onvoldoende efficiënt geproduceerd wordt, beter aan te spreken.

15.2 Metingen

Een waterpassing van ‘De Blesse’ is eind 2019 uitgevoerd, ook boven Blesdijke en Sonnega-Weststellingwerf is in 2015. Rijkswaterstaat heeft in het gebied in 1994, 2004 en 2014 metingen gedaan. Er is overlap met de waterpassingen rond Vinkega (het oostelijke deel van de De Blesse kom is op dat meetnet ook zichtbaar; hoofdstuk 16), en die metingen zijn in de analyse meegenomen.

De originele BLS en BLD/SOW meetnetten hadden verschillende aansluitpunten. Bij het samenvoegen, en bij de analyse van de resultaten is speciale aandacht besteed aan de potentiële impact van het referentiepunt.

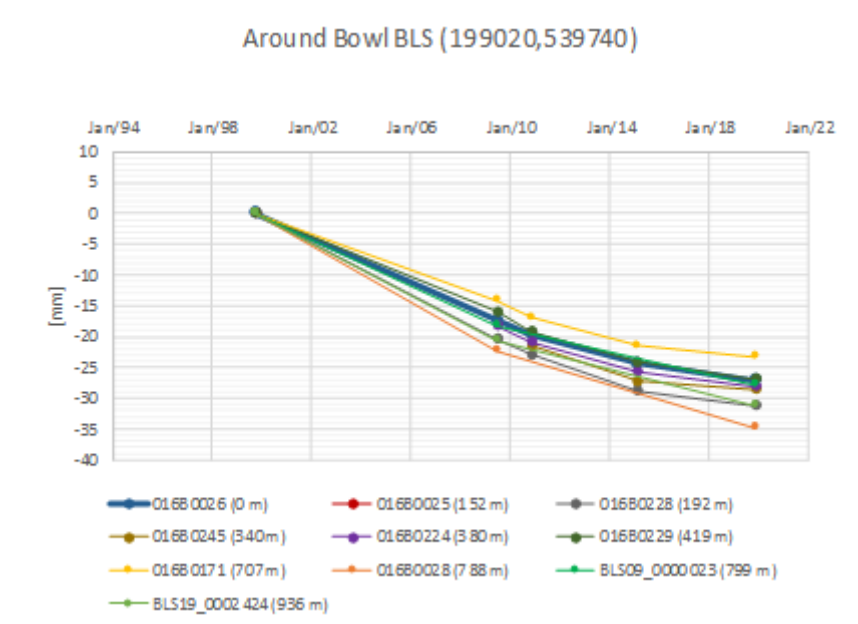
Tabel 15-1 Uitgevoerde metingen (W: waterpassing), gesplitst naar voorkomen. De jaren waarin Rijkswaterstaat (RWS) metingen in het gebied heeft gedaan, zijn ook weergegeven, al zijn die alleen in een ondersteunende rol meegenomen (zie hoofdstuk 6).

	Vermilion			RWS
	BLS	BLD	SOW	
1994				W
1999	W			
2004				W
2009	W			
2010		W		
2014				W
2015		W		
2019	W			

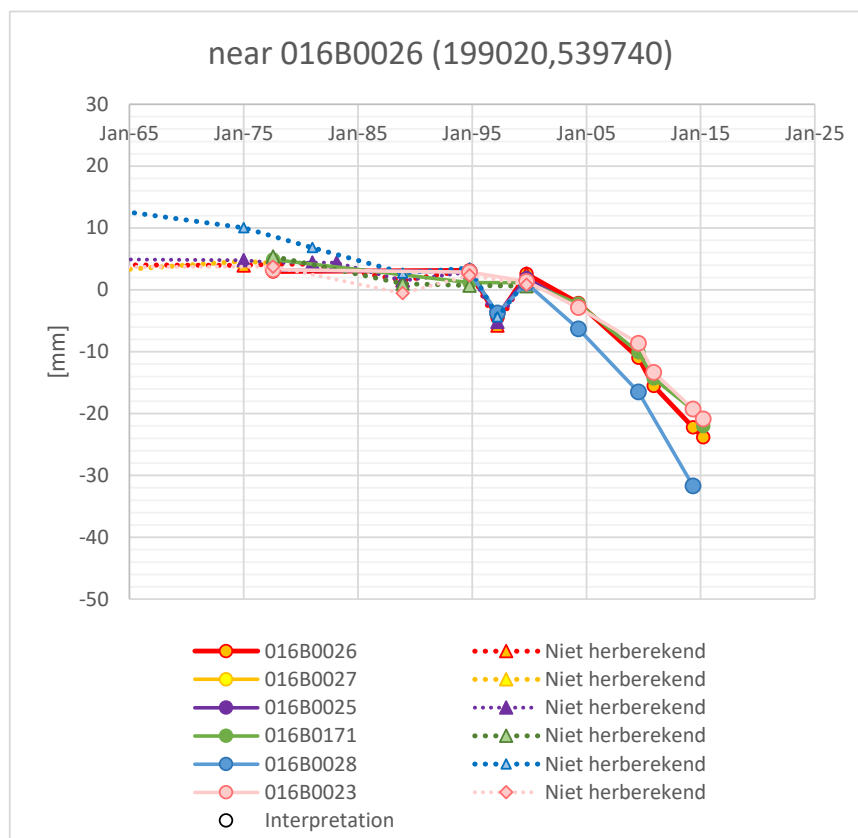
15.3 Belangrijkste conclusies

V.w.b. Blesdijke is de gemeten bodemdaling minder dan 2 cm, voornamelijk doordat de rand van de De Blesse kom zich tot daar uitstrekt. Boven De Blesse zelf is de gemeten daling eind 2019 ongeveer 3.5 cm. Boven Sonnega-Weststellingwerf is geen duidelijke kom zichtbaar, en dat was door de geringe dikte van de Vlieland zandsteen ter plekke ook niet verwacht.

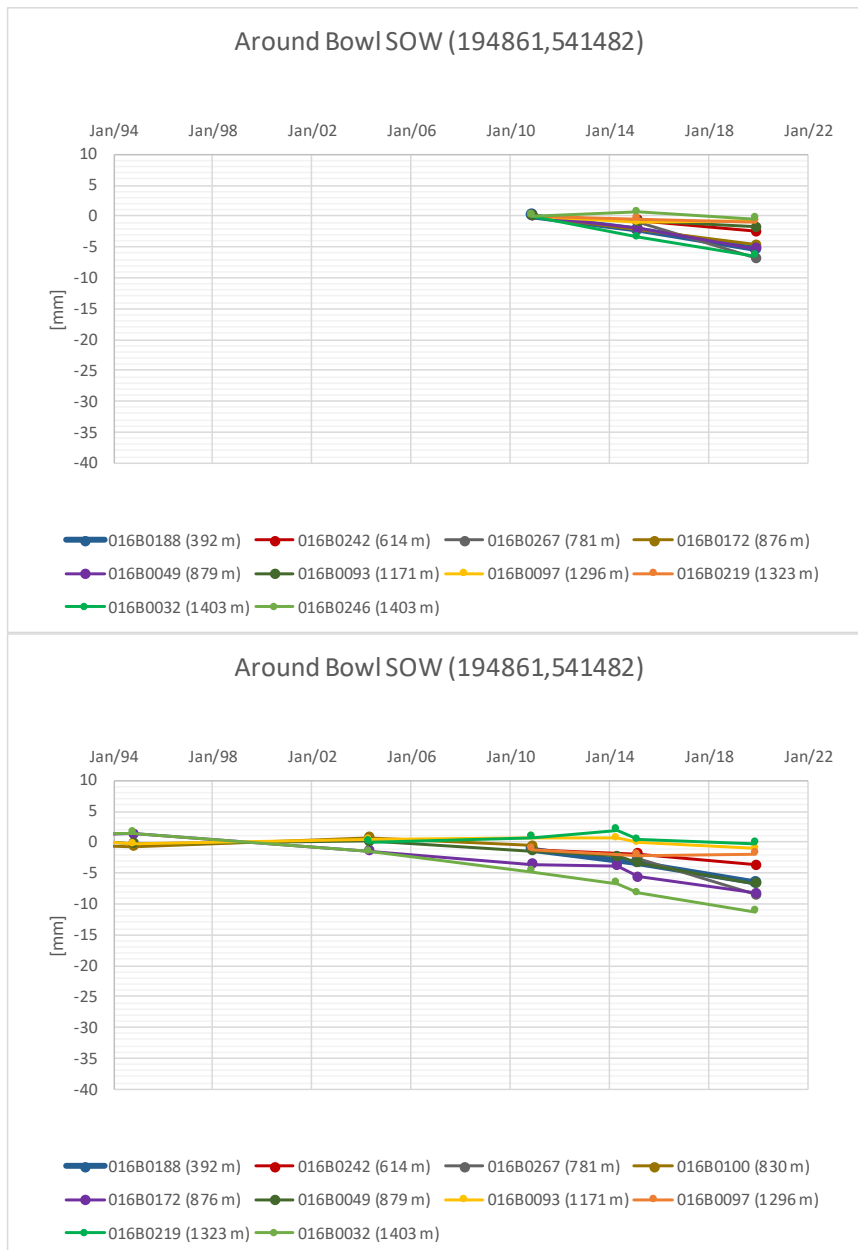
Autonome bodemdaling speelt in dit gebied, afgezien van individuele peilmerken, geen grote rol.



Figuur 15-1 Peilmerkdaling rond het diepste punt van BLS



Figuur 15-2 Bodemdaling op hetzelfde punt als hierboven, maar nu uit de RWS-database (ref. 9). Het begin van de gaswinning is duidelijk zichtbaar. Het blauwe punt lijkt als enige ook al daling te vertonen vóór 1999, mogelijk is daar een stabiliteits-issuе.

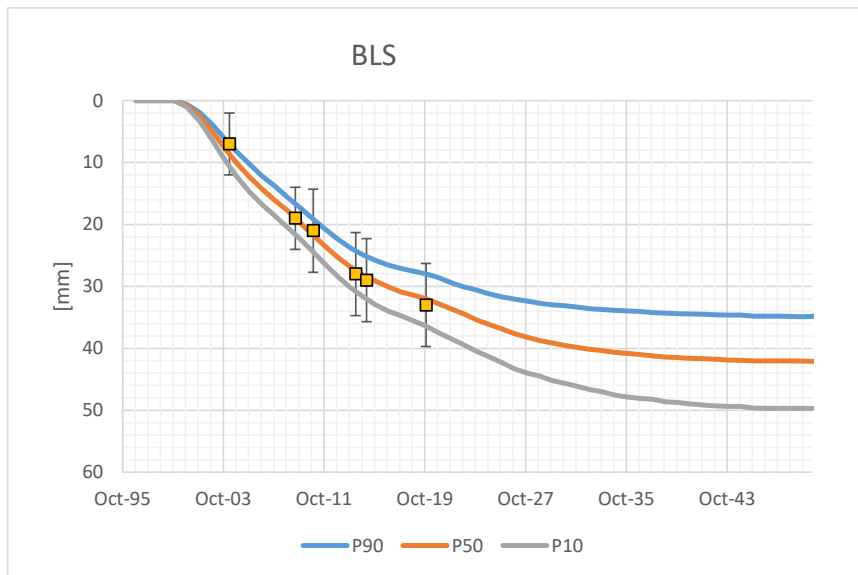


Figuur 15-3 Bodemdalingmetingen boven en rond het voorkomen SOW. De bovenste grafiek laat de metingen uit het Vermilion meetregister zien, bij de onderste zijn ook RWS data betrokken. De eerste Vermilion metingen zijn uit 2010 (t.b.v. gaswinning uit BLD). De meetnauwkeurigheid is ~ 5 mm. Er is geen significant effect zichtbaar door de winning in SOW (begonnen in 2015). De oostelijke peilmerken laten wat daling door BLD-BLS zien (de winning uit BLS begon in 1999).

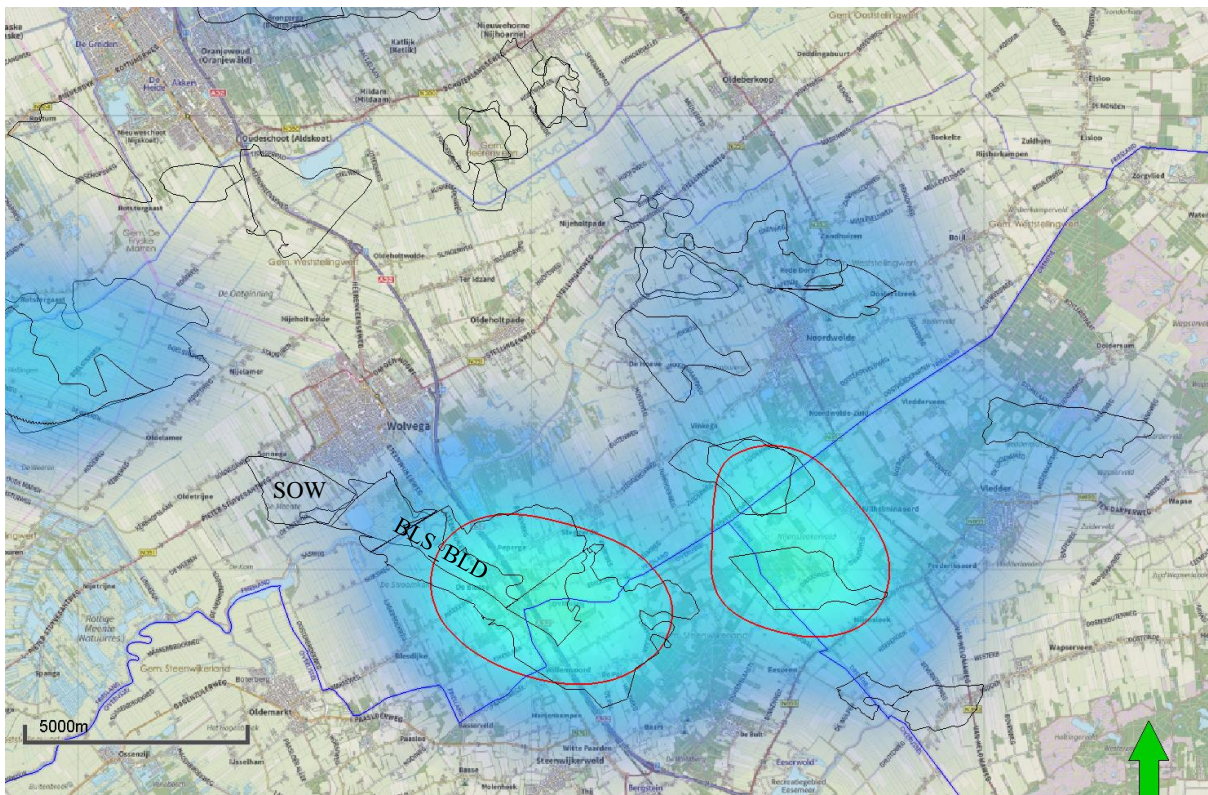
15.4 Prognoses

Voor elk van de voorkomens is een probabilistische schatting uitgevoerd, die vervolgens in de kaarten is verwerkt. De verwachting is dat de bodemdaling boven BLS tot 5 cm kan oplopen.

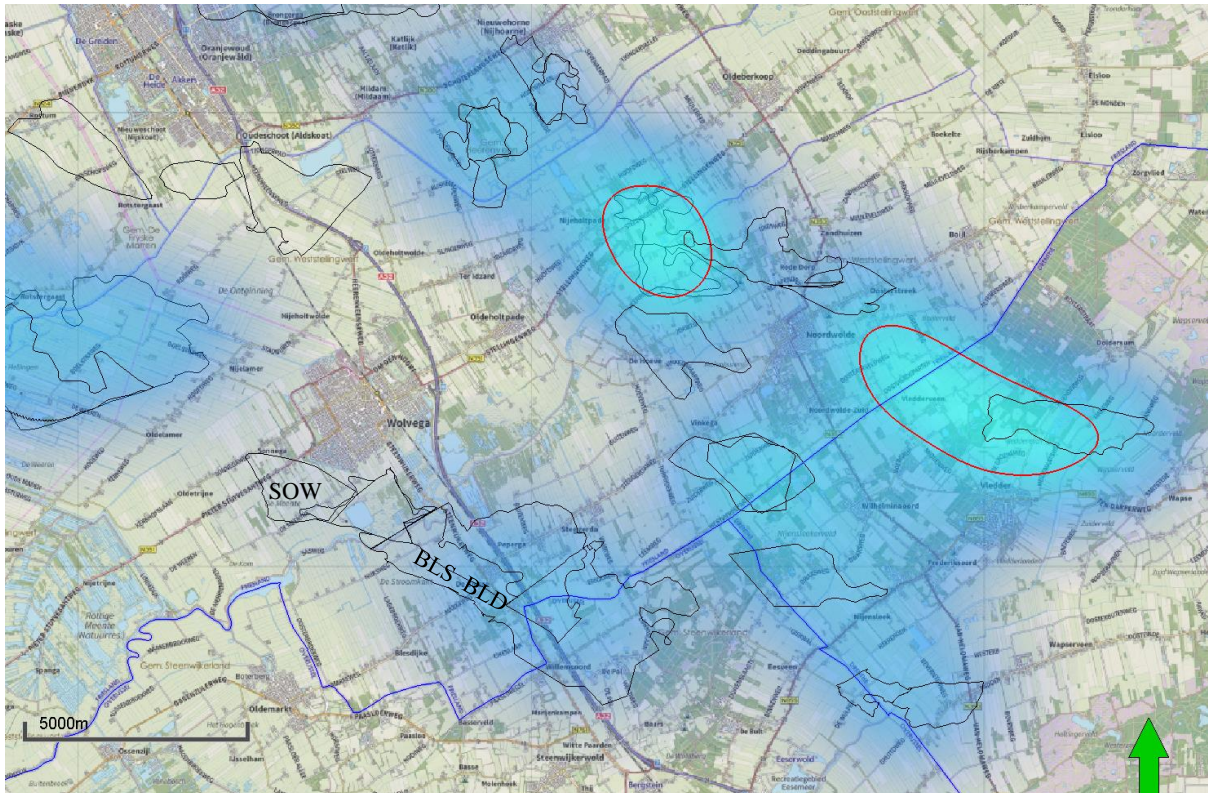
Er is voor de toekomstverwachtingen uitgegaan van hervatting van de winning uit BLS en van een succesvolle boring BLD-01-ST.



Figuur 15-4 Gecalibreerde dalingsverwachting van BLS in het diepste punt, gecalibreerd aan de metingen. Hier zijn punten, gededuceerd uit de RWS/NAP-database, toegevoegd in rood. Merk op dat het punt waar de diepste toekomstige daling wordt verwacht niet precies samenvalt met het punt waar de diepste historische daling is.



Figuur 15-5 Huidige bodemdaling (vanaf 1-1-2020, rondom voorkomen De Blesse – Blesdijke en Sonnga-Weststellingwerf op basis van modelberekening. Contouren op 2 cm.



Figuur 15-6 Toekomstige maximale (P10) bodemdaling (vanaf 1-1-2020), rondom voorkomen De Blesse - Blesdijke, op basis van modelberekening. Contouren op 2 cm. Het diepste punt boven de Blesse is minder dan 2 cm.

16 Bijlage: Meetplannen ‘Diever-Nijensleek-Eesveen’ en ‘Noordwolde-Weststellingwerf-Vinkega-De Hoeve’

16.1 Metingen

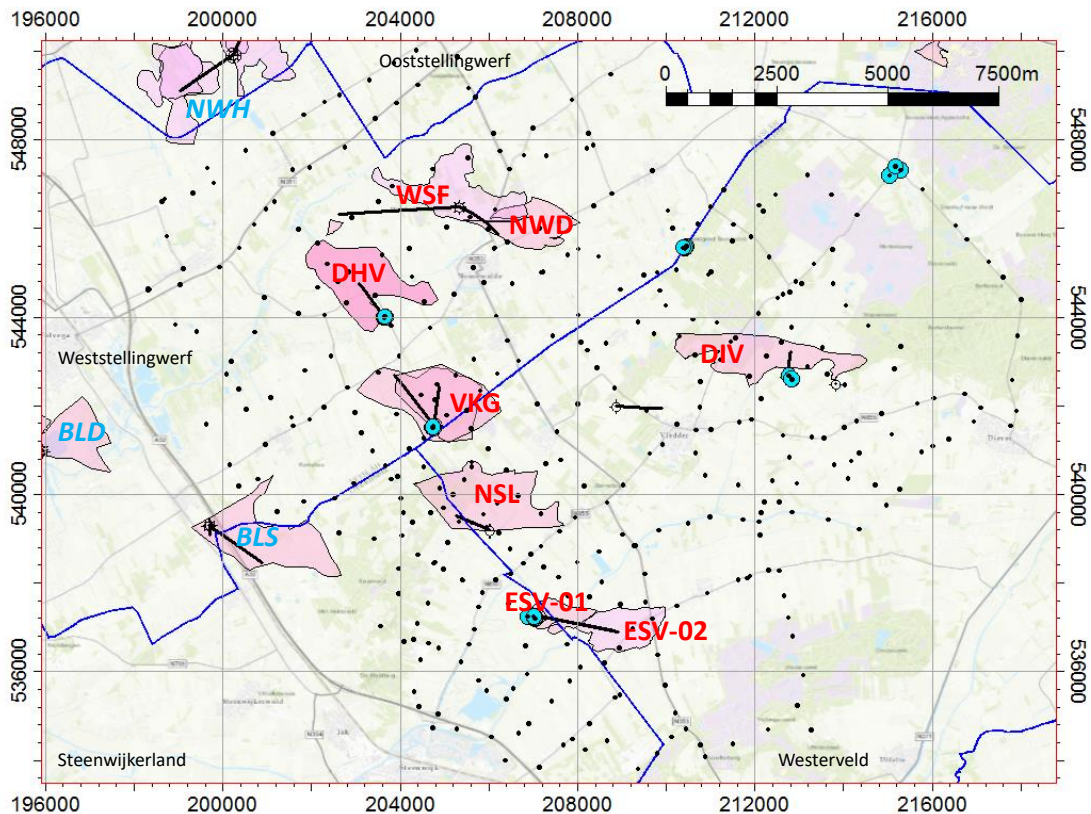
In 2017 en begin 2018 zijn waterpasmetingen uitgevoerd in Zuidoost-Friesland en West-Drenthe, en Noord-Overijssel, om de bodemdaling door gaswinning uit de voorkomens Noordwolde, Weststellingwerf, Vinkega, De Hoeve, Nijensleek, Eesveen en Diever te monitoren. De waterpassingen zijn in twee delen uitgevoerd, het eerste deel van Noordwolde tot Nijensleek, en het tweede deel van Nijensleek tot Diever. De twee delen overlappen, en hebben hetzelfde aansluitpunt, zodat een gedeelde analyse kan worden uitgevoerd. De twee deel-meetnetten zijn ontstaan door samenvoeging van eerdere meetnetten Noordwolde-Weststellingwerf, Vinkega-De Hoeve, Nijensleek-Eesveen en Diever.

Naast waterpassingen zijn er ook GPS-metingen gedaan in 2019 in Vinkega, De Hoeve en Diever (ref. 53). De eerstvolgende GPS meting zal in 2020 plaatsvinden.

Eind 2019 heeft er een waterpassing boven De Blesse/Blesdijke plaatsgevonden. Dat meetnet overlapt deels met dat van Vinkega, en het westelijke deel van de Vinkega kom ligt in dit meetnet. Deze meting is meegenomen bij de analyse.

Tabel 16-1 Uitgevoerde metingen (W: waterpassing; G: GPS), gesplitst naar voorkomen. De jaren waarin Rijkswaterstaat (RWS) metingen in het gebied heeft gedaan, zijn ook weergegeven, al zijn die alleen in een ondersteunende rol meegenomen (zie hoofdstuk 6).

	WSF	NWD	DHV	VKG	NSL	ESV	DIV	RWS
1994								W
1997	W	W						
2000					W			
2004								W
2006	W	W						
2008					W			
2011	W	W	W, G	W, G				
2012			G	G				
2014			G	G				W
2015					W	W	W, G	
2016							G	
2017	W	W	W, G	W, G	W	W	W	
2018						G	G	
2019			G	G		G	G	



Figuur 16-1: Overzicht meetpunten uit de meetregisters: waterpaspunten in zwart, GPS-punten in blauw. De voorkomens die besproken worden zijn aangegeven in rood, omliggende voorkomens in blauw. De blauwe lijnen zijn gemeentegrenzen. De westrand van het meetnet overlapt De Blesse (BLS) waar de winning in 1999 begon.

16.2 Voorkomens

Uit het voorkomen Vinkega wordt sinds 2011 gas geproduceerd. Die productie vindt plaats voornamelijk uit de Rotliegend zandsteen, m.b.v. twee putten, VKG-01 en VKG-02, vanaf dezelfde locatie. Sinds begin 2018 ligt de productie (tijdelijk) stil.

Het voorkomen Nijensleek ligt net ten zuiden van Vinkega. Daar vond van 2000-2006 gas winning plaats, door één put, NSL-01, uit de Vlieland zandsteen. Tegenwoordig wordt die put gebruikt voor injectie van productiewater.

De deelvoorkomens Eesveen-01 en -02 zijn respectievelijk sinds 2015 en 2018 in productie, beide met 1 put. Deze deelvoorkomens bevinden zich in de Rotliegend.

Het voorkomen Noordwolde produceert met één put, NWD-01, uit de Vlieland zandsteen, sinds 1998.

Het voorkomen Weststellingwerf wordt door één put geproduceerd. Van 1998-2005 was dat uit WSG-01 uit de Zechstein-carbonaat. Die put is recent van een aftakking voorzien, en naar verwachting zal binnenkort de productie uit WSG-01-S1 starten, uit het westelijk deel van hetzelfde voorkomen.

Het voorkomen De Hoeve produceert uit de Zechstein-carbonaat, sinds 2012, na een korte initiële productie uit de Rotliegend.

16.3 Belangrijkste conclusies

De hoofdconclusies van de analyses van deze metingen, inclusief die van de GPS meting van 2019, zijn:

- Autonome bodemdaling speelt in dit gebied, afgezien van individuele peilmerken, geen grote rol.
- Er is geen eenduidige aanwijzing voor bodemdaling t.g.v. productie in het Noordwolde voorkomen (gestart in 1997). Mogelijk is er 0.5 cm daling, maar dit is (zeker over zo'n lange periode) aan de rand van de meetnauwkeurigheid. Er is geen duidelijke komvorm zichtbaar.
- Weststellingwerf produceerde van 1997 tot 2005. Er is geen eenduidige aanwijzing voor bodemdaling t.g.v. productie uit het Weststellingwerf voorkomen. Mogelijk is er 0.5 cm daling, maar dit is (zeker over zo'n lange periode) aan de rand van de meetnauwkeurigheid. Er is geen duidelijke komvorm zichtbaar.
- Er is geen eenduidige aanwijzing voor bodemdaling t.g.v. productie in het De Hoeve voorkomen (gestart in 2012). Mogelijk is er 0.5 cm daling, maar dit is (vanwege overlap met de Vinkega dalingskom) aan de rand van de meetnauwkeurigheid. Er is, mede ook door de overlap met Vinkega, geen duidelijke komvorm.
- De winning uit Nijensleek vond plaats van 2000 tot 2006, uit de Vlieland zandsteen. In 2011 was een daling van 1.5-2 cm te zien, met een afvlakkend profiel. Er was een duidelijke komvorm te zien.

Nu de meetregisters samengevoegd zijn, is te zien dat er van 2011-2017 opnieuw daling heeft plaatsgevonden. Omdat er geen productie was in Nijensleek, en vóór 2015 ook niet in Eesveen, kan deze daling alleen door Vinkega veroorzaakt zijn.

De gecombineerde kom heeft nu een diepte van tussen de 3 en 4 cm (er zit wat spreiding in de peilmerken op die locatie, zie Figuur 16-4).

- Boven het voorkomen Vinkega is een bodemdaling te zien met onder de 2 cm (waterpassing & GPS, gecorrigeerd naar peildatum 1-1-2020). Het diepte verloop in Vinkega is conform de verwachtingen.

De signatuur van daling door Vinkega is ook boven Nijensleek ten noorden van Eesveen-01 te zien. Er is, met andere woorden, een duidelijke komvorm te zien die zich uitstrekt tot boven Nijensleek. Die komvorm door de winning in Vinkega is in overeenstemming met de aanname dat het naburige, watervoerende, Rotliegend breukblok ook depleteert. Dit breukblok ligt deels onder het gasvoorkomen Nijensleek, wat tot overlappende kommen leidt (Figuur 16-5). Er is geen interactie tussen de voorkomens zelf, omdat ze zich in verschillende structuren, en grotendeels in verschillende formaties bevinden.

Bij de berekening van bodemdaling uit dit gebied is rekening gehouden met diktevariëaties: de Rotliegend wordt vanuit Vinkega dunner naar het zuiden (Eesveen) en oosten (Diever).

- Er was in de periode 2015-2019 geen meetbare bodemdaling eenduidig door winning uit het deelvoorkomen Eesveen-01. Omdat de winning pas eind 2015 gestart is, en de verwachte eindhaling gering, was dat ook niet verwacht.

Voor Eesveen-02 was de waterpassing 2017 een nulmeting. Bij de boring is geen depletie geconstateerd. De kommen die elders wel gesignaleerd zijn (VKG, NSL), reiken niet tot boven dit deelvoorkomen, Dus is er geen bodemdaling door winning uit andere voorkomens boven dit deelvoorkomen. De GPS meting bij ESV-01 ligt niet recht boven de Eesveen-02 kom.

De rand van de bodemdalingskom van Vinkega overlapt aan de zuidrand met die van Eesveen. Met die overlap is rekening gehouden (Figuur 16-5).

- Bij het voorkomen Diever is nog geen significante bodemdaling waargenomen. Mogelijk is er een daling van minder dan 1 cm te zien op de GPS-meting 2019, maar dit is aan de rand van de meetnauwkeurigheid. Een komvorm is niet zichtbaar in de waterpassing 2017. Omdat de winning pas eind 2015 gestart is, was dat ook niet verwacht. De bodemdalingmetingen te Diever geven dus geen aanleiding de verwachtingen te wijzigen (zie Figuur 16-10).

De nauwkeurigheid van de metingen is ongeveer 0.5-1 cm.

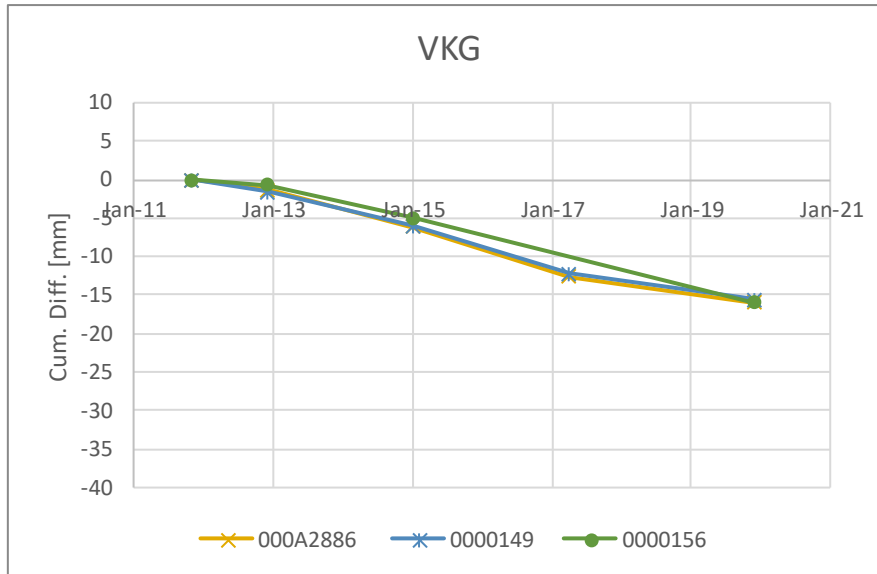
De hierboven besproken calibraties leiden tot een goede overeenstemming tussen model en metingen.

16.4 Prognoses

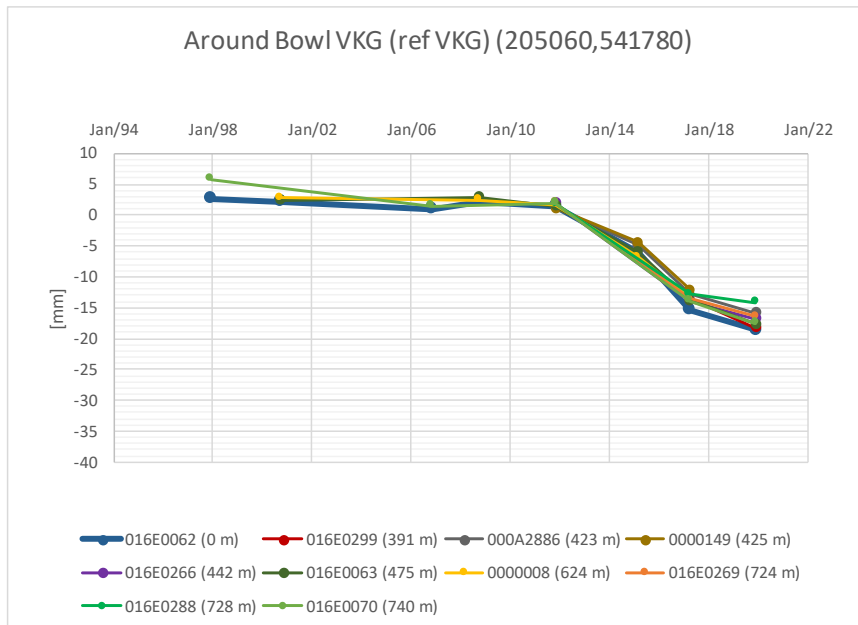
Voor elk van de voorkomens is een probabilistische schatting uitgevoerd, die vervolgens in de kaarten is verwerkt.

De GPS meting gaf geen aanleiding die kaarten materieel te veranderen.

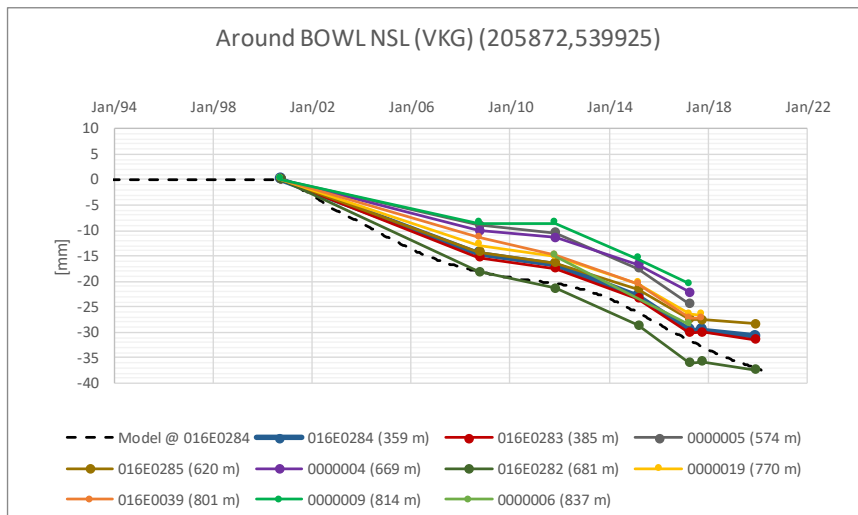
Voor de toekomstverwachtingen is de winning uit de boring WSF-01-S1 meegenomen.



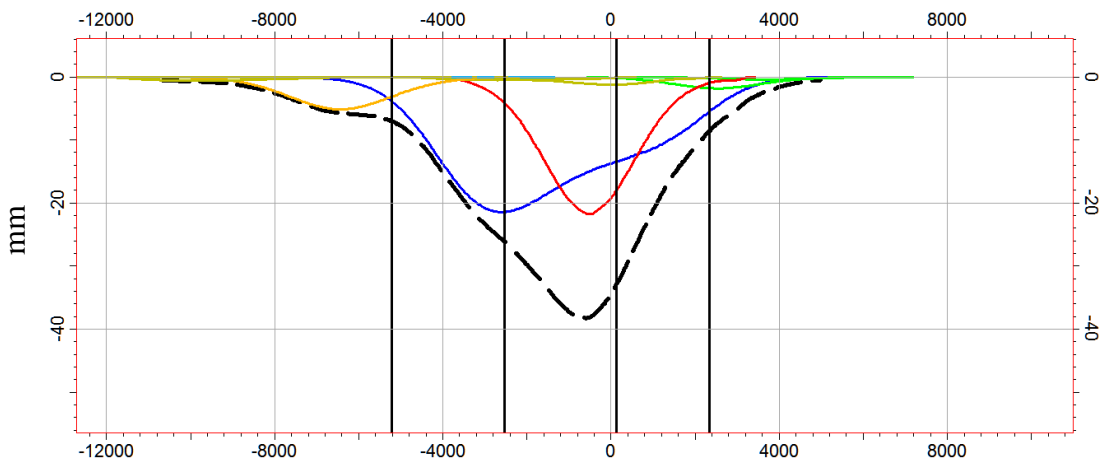
Figuur 16-2 GPS meetresultaten op de Vinkega locatie. Die is niet precies op het diepste punt van de Vinkega dalingskom.



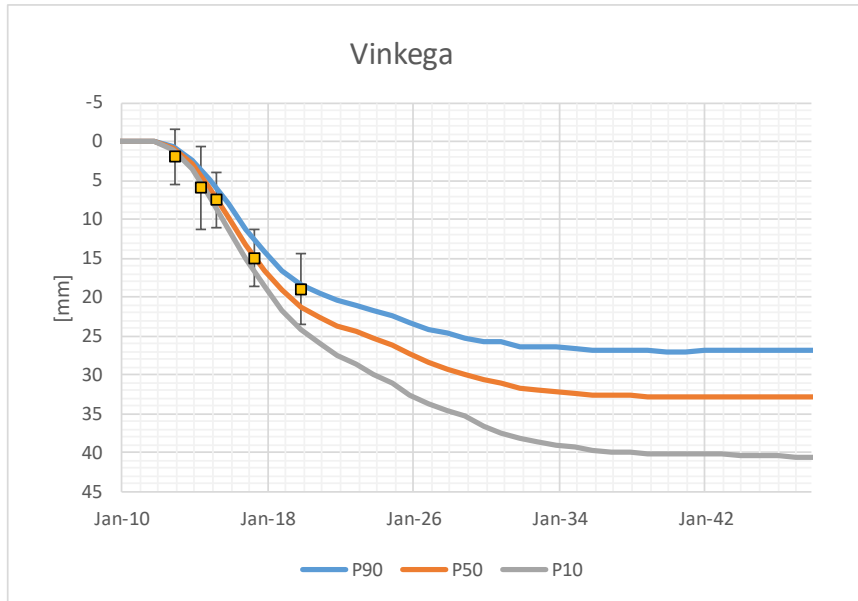
Figuur 16-3 Waterpassingsresultaten boven de Vinkega kom. De winning in VKG is medio 2011 begonnen. De waterpassing De Blesse/Blesdijke (ref. 49, hoofdstuk 15) is meegenomen, de punten in 2019 komen uit die meting.



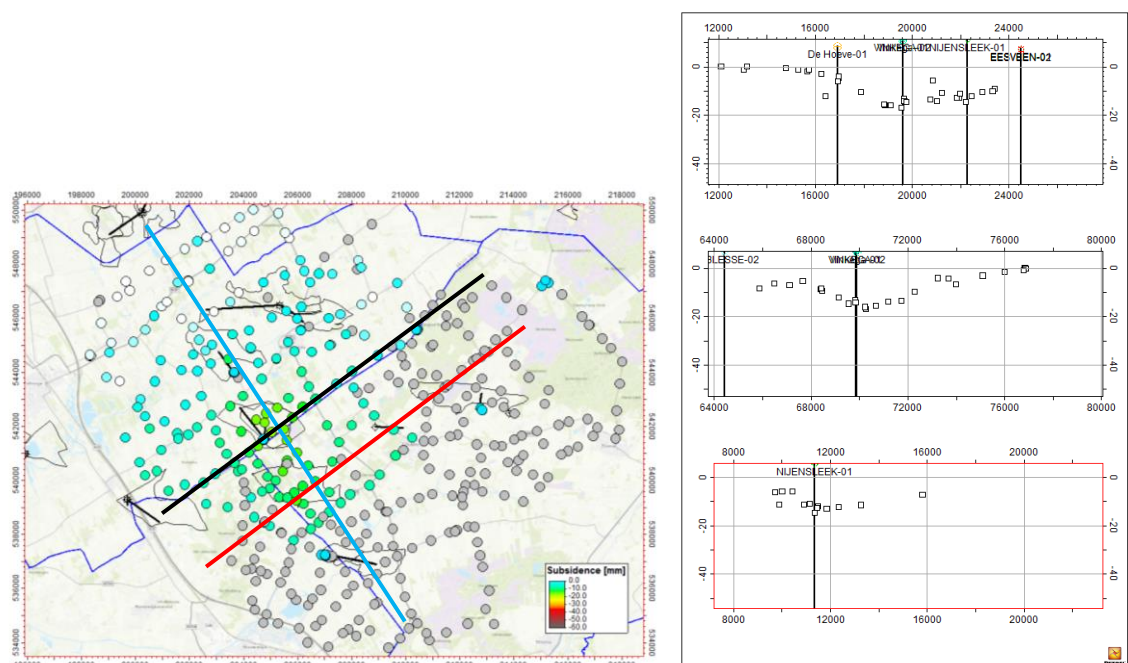
Figuur 16-4 Waterpassingsresultaten rond het diepste punt van de gecombineerde NSL-VKG kom, vergeleken met het model (dikke gestippelde lijn). In het model is de invloed van Vinkega meegenomen, zoals te zien is aan de daling na 2011. De waterpassing De Blesse/Blesdijke (ref. 49, hoofdstuk 15) is meegenomen, de punten in 2019 komen uit die meting.



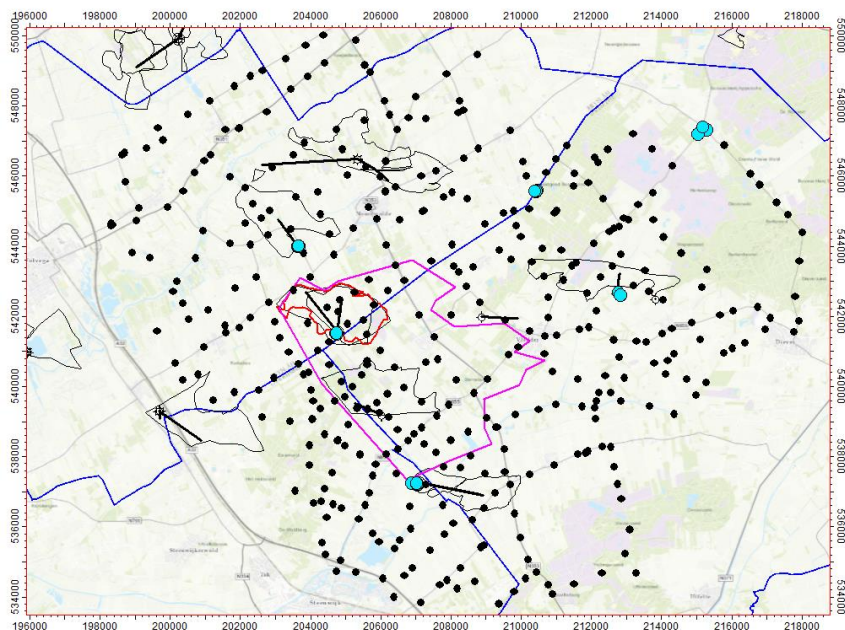
Figuur 16-5 Noord-zuid doorsnede met daarop de geschatte individuele dalingskommen (model 1-1-2020), en de samengestelde kom (zwart). De kom van VKG (blauw) en de oude kom van NSL (rood) zijn duidelijk zichtbaar. ESV is groen, DHV oranje. De verticale zwarte lijnen geven bij benadering de putlocaties weer (v.l.n.r. DHV, VKG, NSL, ESV).



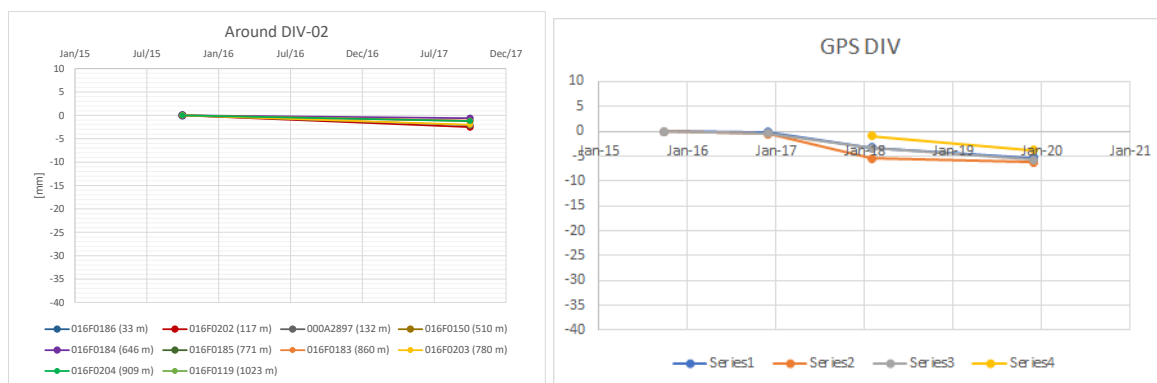
Figuur 16-6 Heralibratie van de Vinkega dalingskrommen aan de metingen (GPS en waterpassing). Hier is als startpunt de start van de Vinkega winning gekozen (2011).



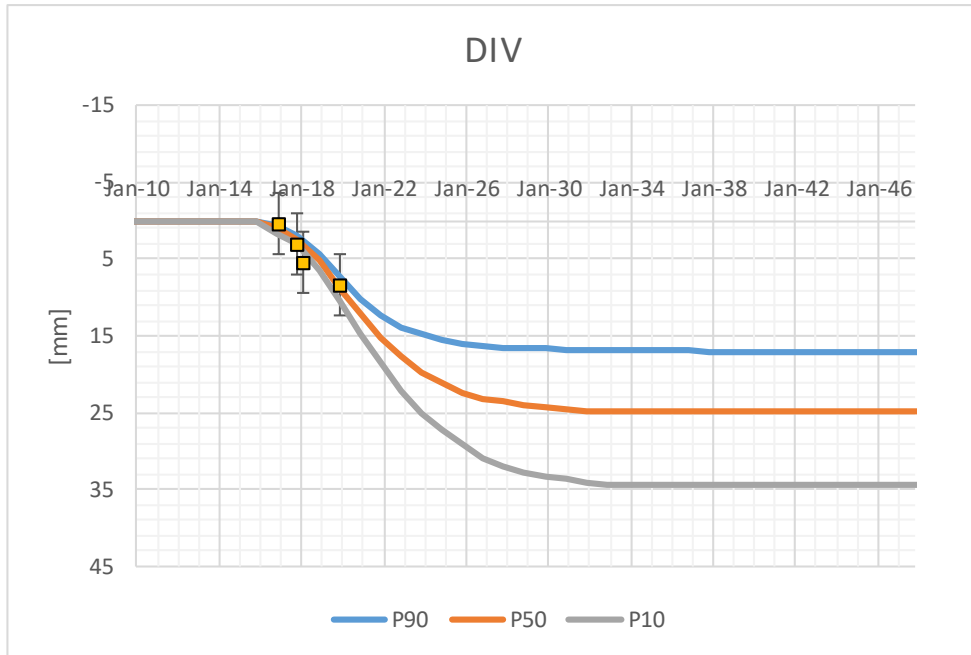
Figuur 16-7 Bodemdaling 2011-2017 in mm, voor dat deel van de meetplannen waar in die jaren een meting is gedaan. Overige punten in grijs. Drie cross-sections (sterk verticaal uitvergroot, verticaal in mm; van boven naar beneden: blauw NW→ZO, zwart, rood ZW→NO. Een duidelijke kom is boven Vinkega en Nijensleek te zien. In deze periode produceerde Vinkega (vanaf 2011) en Eesveen & Diever (vanaf 2015). Omdat Nijensleek niet produceerde in deze periode (gestopt in 2006) is het waargenomen effect het gevolg van gaswinning uit Vinkega.



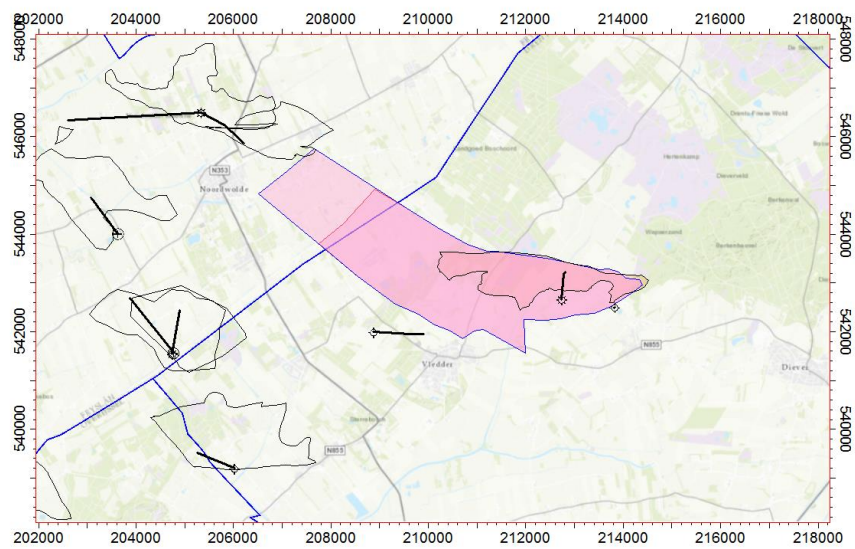
Figuur 16-8 Geschatte vorm van het depletie gebied Vinkega (in paars) o.b.v. de waterpassing 2017. De vorm is gebaseerd op de Rotliegend structuur. Te zien is hoe het depletiegebied onder Nijensleek door naar het zuidoosten reikt.



Figuur 16-9 Waterpas- (links) en GPS-data (rechts) bij Diever. Rechts in blauw referentiepunt Boijl, in oranje Diever (ref. 53).



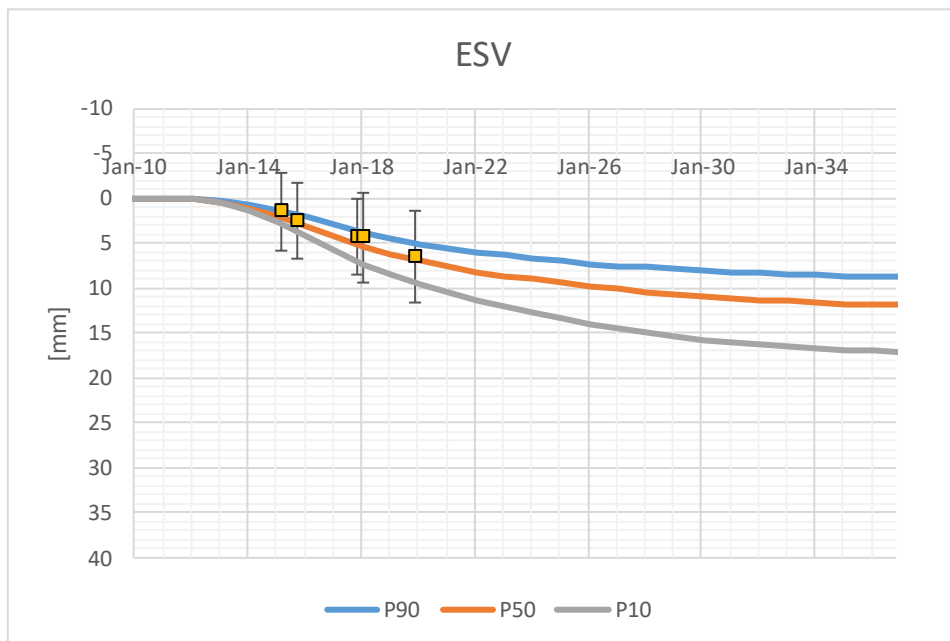
Figuur 16-10 Heralibratie van de Diever dalingskrommen aan de metingen (GPS en waterpassing)



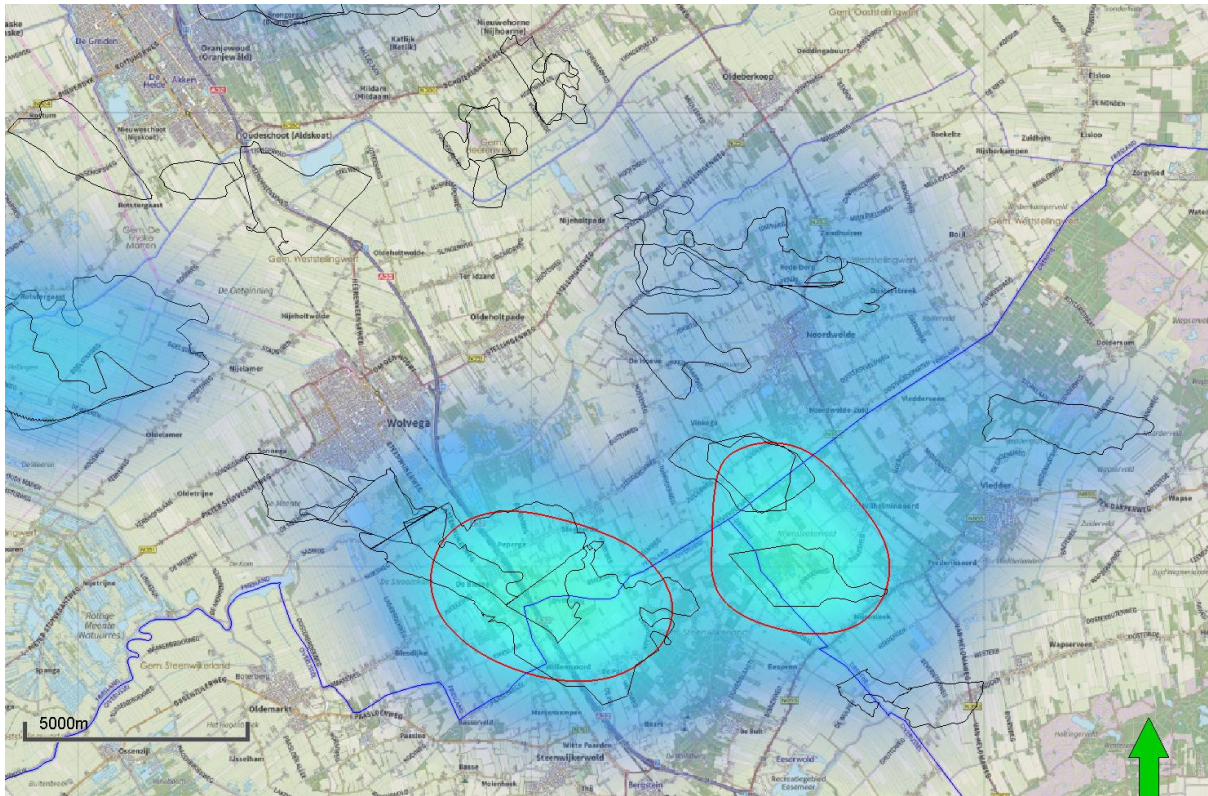
Figuur 16-11 Naar analogie met Vinkega, wordt voor Diever rekening gehouden met een mogelijk depleterend watervoerend buurblok..De vorm van het gebied volgt de Rotliggend breukstructuur.



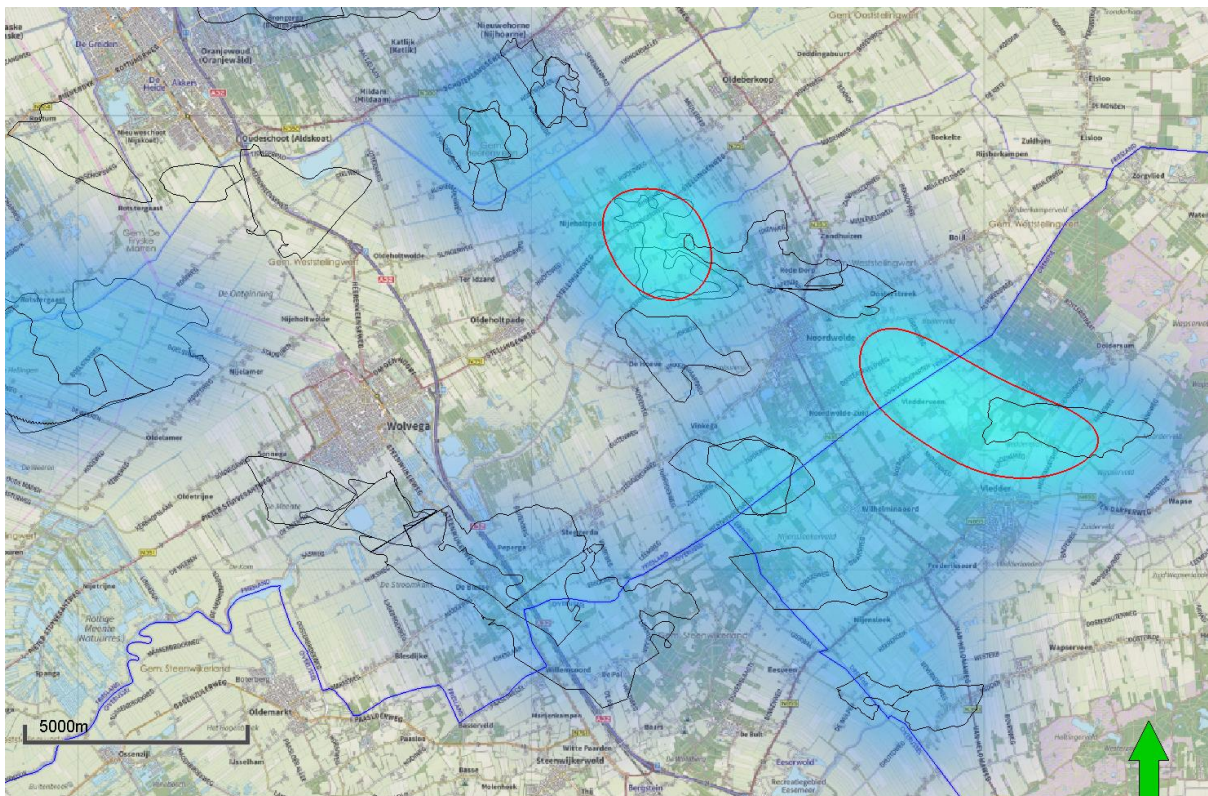
Figuur 16-12 Resultaten van de GPS meting op de Eesveen locatie (rechtsonder; de GPS metingen zijn daar in 2018 begonnen). De andere drie grafieken geven de waterpassingen weer op de Eesveen locatie (linksonder), en de geschatte diepste punten van de Eesveen-01 en Eesveen-02 dalingskommen..



Figuur 16-13 De waterpassing boven het Eesveen voorkomen laat geen significante daling zien, maar dat was ook niet verwacht. Zoals in de tekst besproken, en te zien in Figuur 16-5, en in de kaart hieronder, Figuur 16-14, overlapt de rand van de Vinkega dalingskom met die van Eesveen. Dat is verdisconteerd: van de verwachte daling is iets meer dan een derde t.g.v. Vinkega, en twee derde (ten hoogste 1 cm) door Eesveen



Figuur 16-14 Op basis van aan de metingen gecalibreerde modellen geschatte huidige (1-1-2020) daling door gaswinning. Contourafstand is 2 cm.



Figuur 16-15 Op basis van aan de metingen gecalibreerde modellen geschatte toekomstige daling (na 1-1-2020). Contourafstand is 2 cm.

17 Bijlage: Meetplan ‘Grolloo’

17.1 Voorkomen

Uit het voorkomen Grolloo vindt winning plaats sinds 2009, uit het Carboon, door 1 put (GRL-01).

17.2 Metingen

Er zijn tot nu in het kader van het meetplan twee waterpassing uitgevoerd, de laatste in de eerste helft van 2019 (ref. 54). De eerstvolgende waterpassing door Vermilion wordt in 2029 uitgevoerd.

Er is ook naar de data in de Rijkswaterstaat database (ref. 9) gekeken. Een dekkende waterpassing is door RWS (met de NAM) in 2018 uitgevoerd onder andere in dit gebied. De Rijkswaterstaat (RWS) waterpassingen zijn alleen als ondersteunende informatie te gebruiken (zie hfst. 6).

17.3 Belangrijkste conclusies

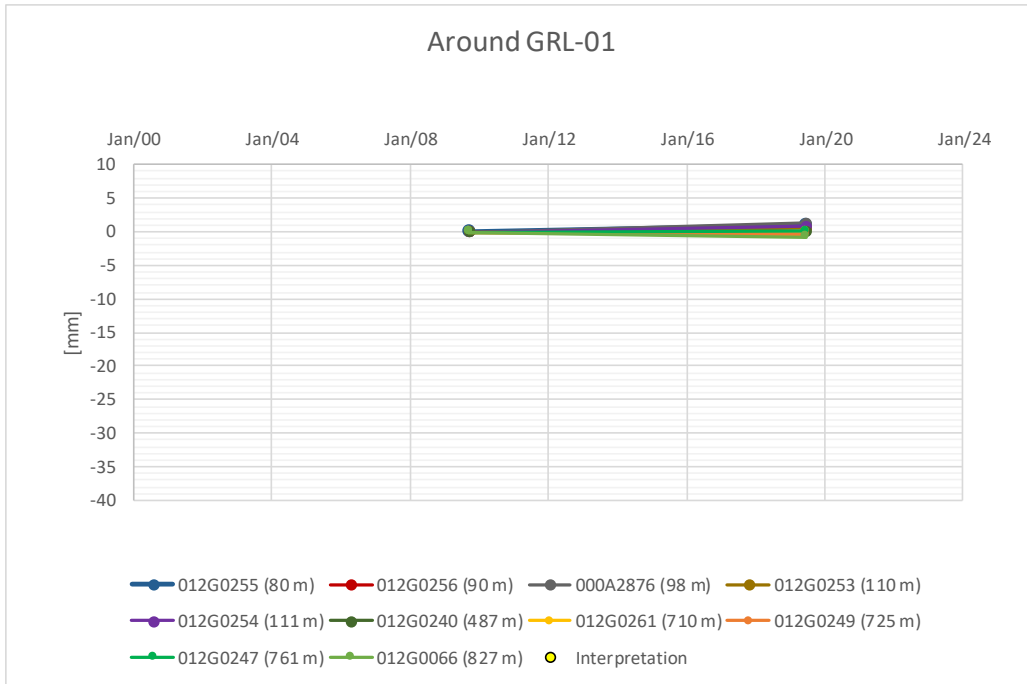
Op de waterpassing is geen bodemdaling(skom) zichtbaar. Ook op de RWS metingen is geen bodemdaling waarneembaar t.g.v. gaswinning in Grolloo.

17.4 Prognoses

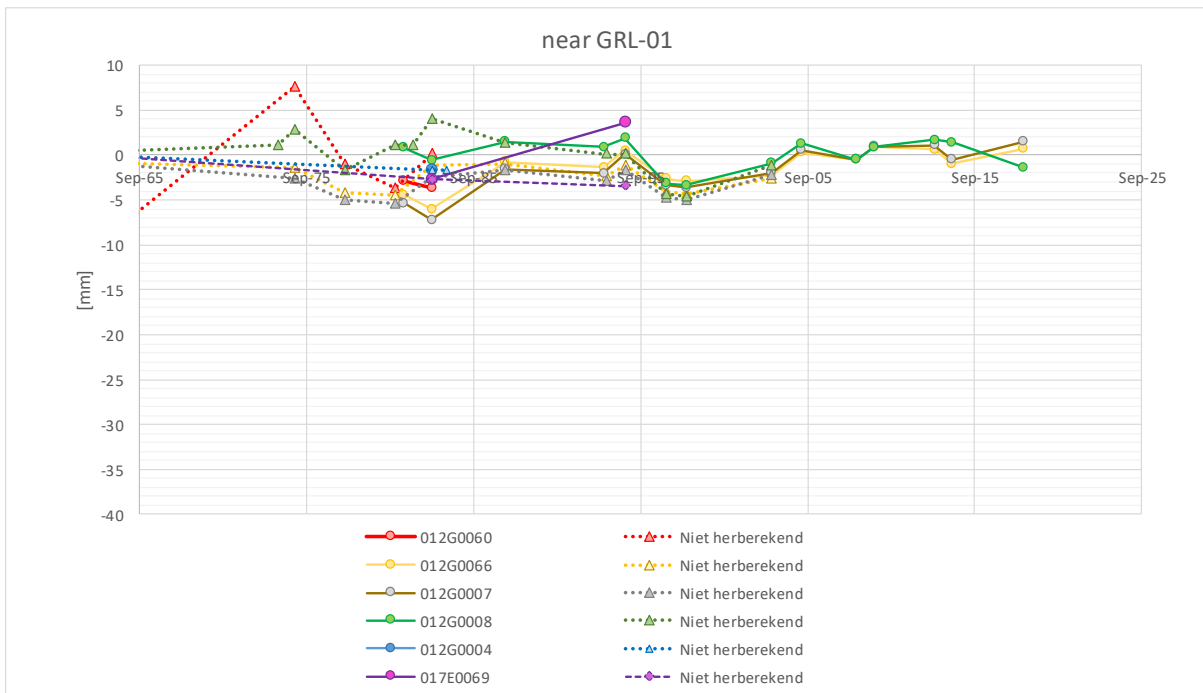
In het vigerende winningsplan voor Grolloo wordt uitgegaan van minder dan 1.4 cm bodemdaling. Er is geen reden om die verwachting te wijzigen.

Tabel 17-1 Uitgevoerde metingen (W: waterpassing). De jaren waarin Rijkswaterstaat (RWS) metingen in het gebied heeft gedaan, zijn ook weergegeven, al zijn die alleen in een ondersteunende rol meegenomen (zie hoofdstuk 6),

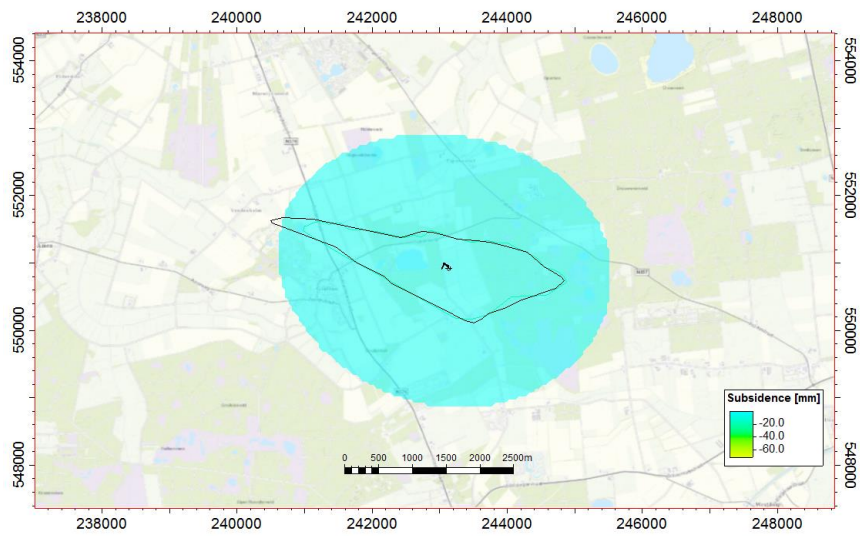
Year	VEN	RWS
1994		W
2009	W (nul)	
2014		W
2019	W	



Figuur 17-1 Peilmerkgedrag uit waterpassing 2019, rond de locatie van GRL-01 (ref. 54). Daling is net waarneembaar.



Figuur 17-2 Peilmerkgedrag uit RWS-database rond de locatie van GRL-01 (ref. 9). Er is niet significant meer daling na 2009 dan daarvoor (de winning begon in 2009). (Gestippelde lijnen zijn RWS-data van voor de NAP herziening.)



Figuur 17-3 Kaart voorkomen Grollo, met geschatte toekomstige daling. Omdat de verwachte daling zo klein is, worden geen contouren getoond.

18 Bijlage: Meetplan ‘Geesbrug’

18.1 Voorkomen

De winning uit het voorkomen Geesbrug (GSB) vindt plaats sinds 2009.

18.2 Metingen

In het kader van het meetplan Geesbrug worden zowel waterpassingen als GPS metingen gedaan. De meest recente waterpassing vond plaats in 2019. De meest recente GPS meting was 2018.

Tabel 18-1 Uitgevoerde metingen (W: waterpassing; G: GPS. De jaren waarin Rijkswaterstaat (RWS) metingen in het gebied heeft gedaan, zijn ook weergegeven, al zijn die alleen in een ondersteunende rol meegenomen (zie hoofdstuk 6). De RWS waterpassing in 2014 is samen met de NAM uitgevoerd.

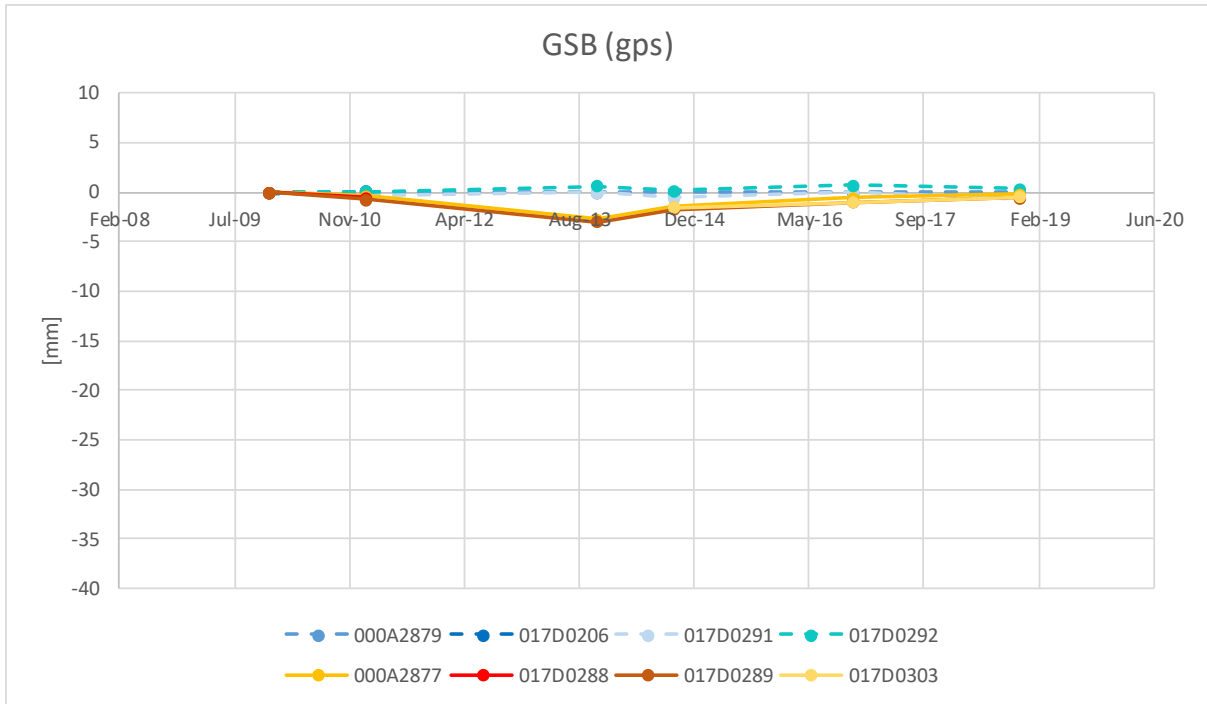
Year	VEN	RWS
1994		W
2009	W (nul), G (nul)	
2011	G	
2013	G	
2014	G	W
2018	G	
2019	W	

18.3 Belangrijkste conclusies

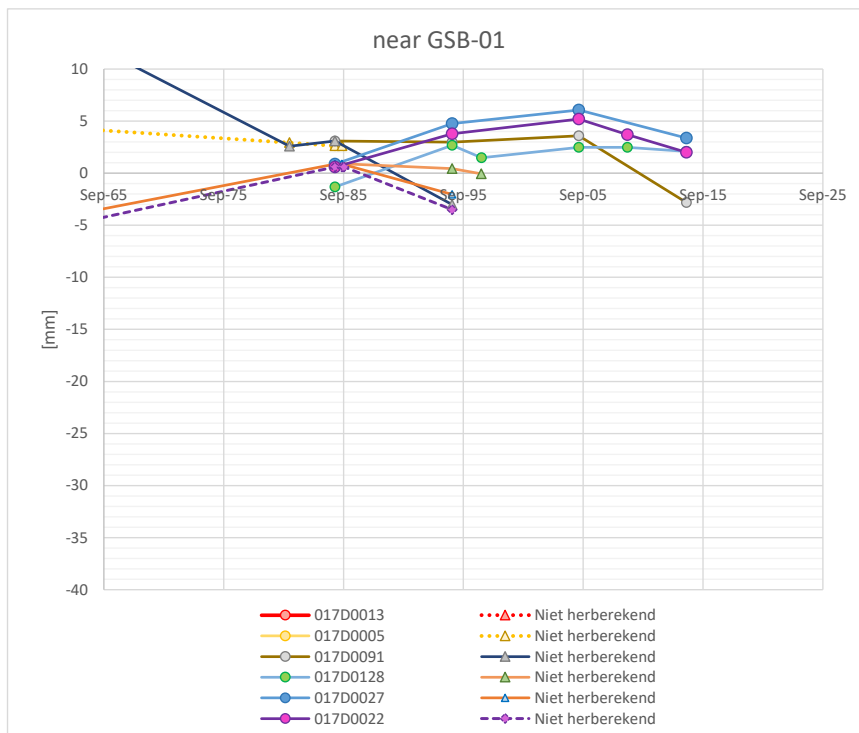
Er is geen direct aan GSB te koppelen bodemdaling te zien. Er is wel bodemdaling te zien, maar die is in ruimte noch in tijd aan Geesbrug te relateren. Het voorkomen grenst aan NAM voorkomens (Dalen, Oosterhesselen). Mogelijk is het die bodemdaling die te zien is.

18.4 Prognoses

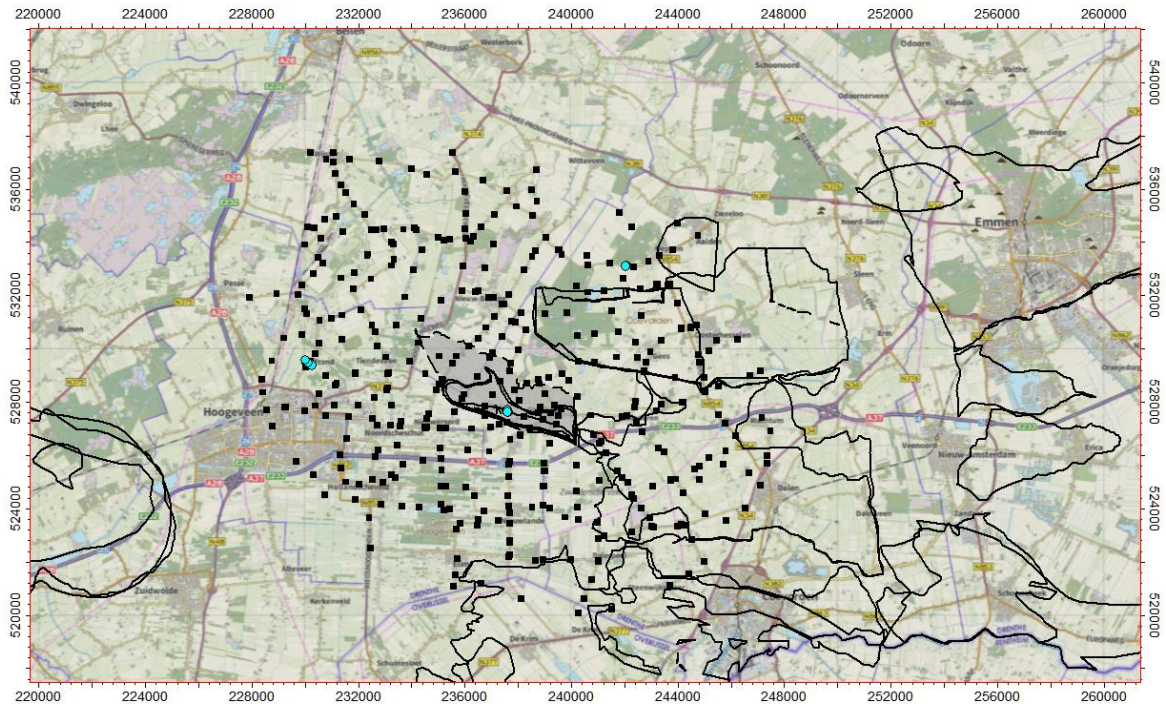
Het vigerende winningsplan heeft een bodemdaling van ten hoogste 6 cm. Gezien het deel van de productie dat al gerealiseerd is, is het waarschijnlijk aan te nemen dat dit een overschatting is. Er is voor gekozen de schatting van de einddaling gelijk te houden, gezien het karakter van het veld (lage doorlatendheid, Carboon).



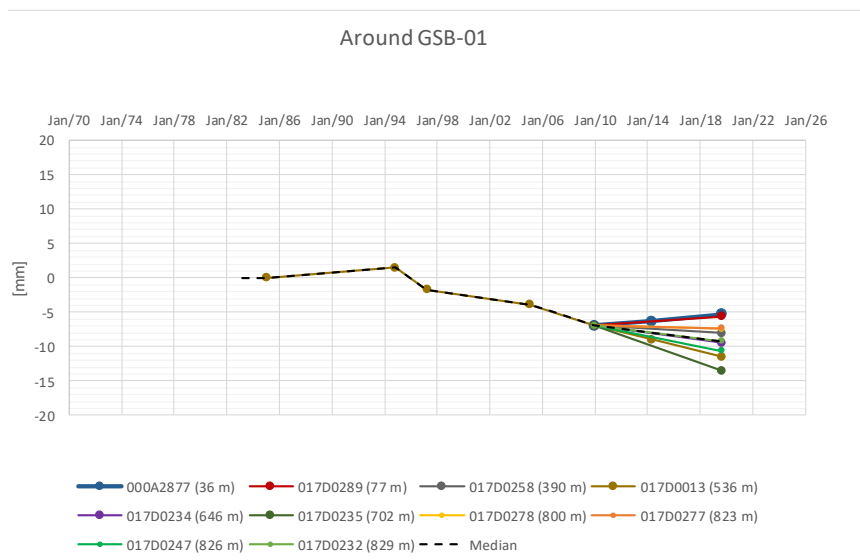
Figuur 18-1 Bodemdaling Geesbrug uit GPS-metingen. GSB-punten in oranje, aansluitpunt (Stuifzand) in blauw. Data uit ref. 56). De punten rond Meppen zijn niet getoond, want liggen in het invloedsgebied van de NAM winning Oosterhesselen.



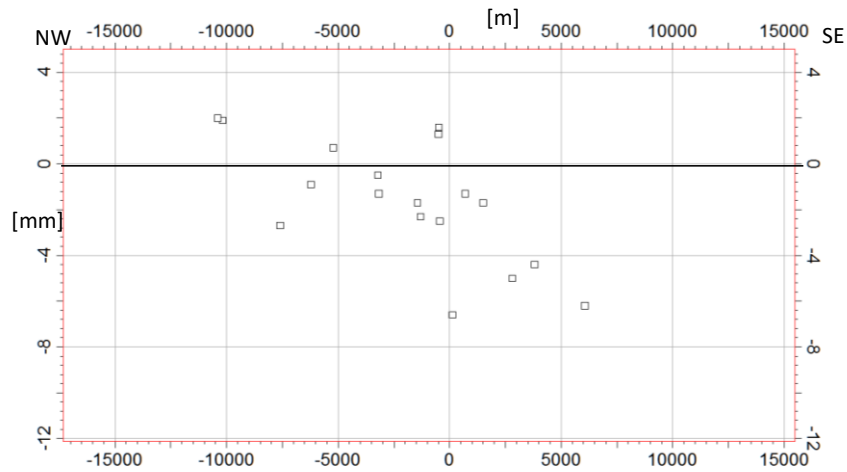
Figuur 18-2 Peilmerkgedrag uit RWS-database rond de locatie van GSB-01 (ref. 9). Er is niet significant meer daling na 2009 dan daarvoor. (De winning in GSB begon in 2009)



Figuur 18-3 Meetnet Geesbrug (ref.55). Het voorkomen Geesbrug (GSB) is vet/ingekleurd aangegeven. Ten zuidoosten van GSB ligt het NAM voorkomen Dalen, ten noordoosten het NAM voorkomen Oosterhesselen. In die voorkomens begon de winning eerder dan in GSB. (GPS meetpunten zijn in kleur weergegeven.)

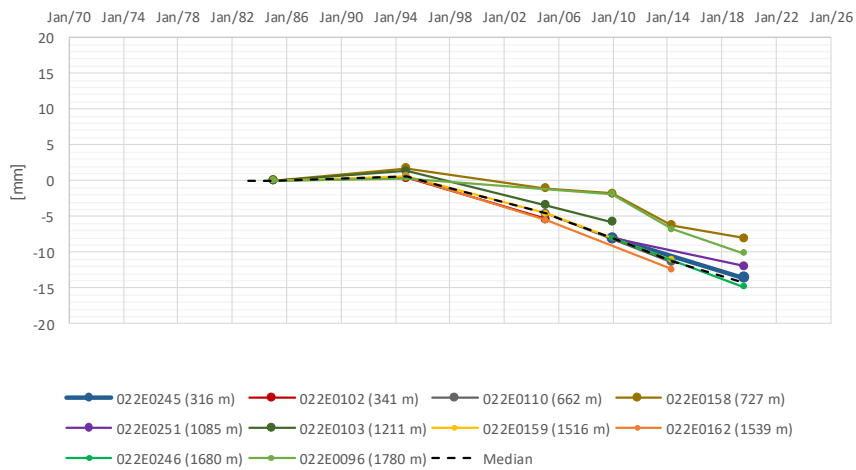


Figuur 18-4 Peilmerkgedrag uit waterpassingen-rond de locatie van GSB-01 (ref.55). Er is niet significant meer daling na 2009 dan daarvoor. De winning begon in 2009, en de data van 2009-2019 komt uit de VEN waterpassingen. Van 2009-2019 is een spreiding te zien die groter is dan de gemiddelde daling over die periode. Zie de Figuur hieronder.

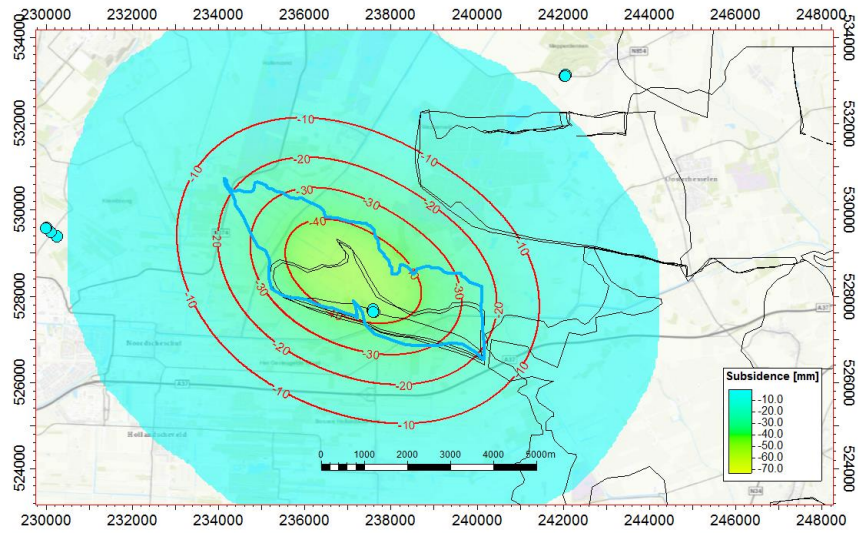


Figuur 18-5 Peilmerkgedrag uit waterpassingen-rond de locatie van GSB-01 (ref.55), van noordwest (links) naar zuidoost (rechts). De daling is klein, en vertoont een duidelijke trend.

Around SE (243000,523000)



Figuur 18-6 Peilmerkgedrag uit waterpassingen-ten zuidoosten van de locatie van GSB-01 (ref.55). Deze daling is ingezet voor 2009, en verandert niet van karakter toen de winning van GSB begon. Die daling is dus niet aan de winning uit GSB gerelateerd.



Figuur 18-7 Kaart Geesbrug. De GPS-metpunten als blauwe cirkels (ref. 56). De verwachte toekomstige daling is weergegeven [mm]. Ten noordoosten van Geesbrug liggen een aantal NAM winningen (o.a. Oosterhesselen). De daling is binnen de verwachting uit het vigerende winningsplan: op de metingen is geen daling zichtbaar.